

ქეთევან დავითაძე

ტულიუმის, პრაზეოდიუმის და ნეოდიუმის
ერთნახევრიანი სულფიდების თხელი ფირების
მიწება, ლებირება და ფიზიკური თვისებები

წარმოდგენილია დოქტორის აკადემიური ხარისხის
მოსაპოვებლად

საქართველოს ტექნიკური უნივერსიტეტი
თბილისი, 0175, საქართველო
თვე, წელი

საავტორო უფლება © წელი, დავითაძე ქეთევან, 2008

საქართველოს ტექნიკური უნივერსიტეტი

ინფორმატიკისა და მართვის სისტემების ფაკულტეტი

ჩვენ, ქვემოთ ხელისმომწერნი ვადასტურებთ, რომ გავეცანით ქეთევან
დავითაძის მიერ შესრულებულ სადისერტაციო ნაშრომს დასახელებით:
“ტულიუმის, პრაზეოდიუმისა და ნეოდიუმის ერთნახევრიანი სულფიდების თხელი
ფირების მიღება, ლეგირება და ფიზიკური თვისებები” და ვაძლევთ
რეკომენდაციას საქართველოს ტექნიკური უნივერსიტეტის “ინფორმატიკისა და
მართვის სისტემების ფაკულტეტის” სადისერტაციო საბჭოში მის განხილვას
დოქტორის აკადემიური ხარისხის მოსაპოვებლად.

თარიღი

ხელმძღვანელი: პროფესორი ზაურ ჯაბუა

რეცენზენტი: ფიზ. მათ. მეცნ. დოქტორი
ზურაბ ჯიბუტი

რეცენზენტი: ფიზ. მათ. მეცნ. დოქტორი
თამაზ ეთერაშვილი

რეცენზენტი:

საქართველოს ტექნიკური უნივერსიტეტი

2008 წელი

ავტორი: ქეთევან დავითაძე

დასახელება: “ტულიუმის, პრაზეოდიუმისა და ნეოდიუმის ერთნახევრიანი სულფიდების თხელი ფირების მიღება, ლეგირება და ფიზიკური თვისებები”

ფაკულტეტი: ინფორმატიკისა და მართვის სისტემები

ხარისხი: დოქტორი

სხდომა ჩატარდა: თარიღი

ინდივიდუალური პიროვნებების ან ინსტიტუტების მიერ ზემომოყვანილი დასახელების დისერტაციის გაცნობის მიზნით მოთხოვნის შემთხვევაში მისი არაკომერციული მიზნებით კოპირებისა და გავრცელების უფლება მინიჭებული აქვს საქართველოს ტექნიკურ უნივერსიტეტს.

ავტორის ხელმოწერა

ავტორი ინარჩუნებს დანარჩენ საგამომცემლო უფლებებს და არც მთლიანი ნაშრომის და არც მისი ცალკეული კომპონენტების გადაბეჭდვა ან სხვა რაიმე მეთოდით რეპროდუქცია დაუშვებელია ავტორის წერილობითი ნებართვის გარეშე.

ავტორი ირწმუნება, რომ ნაშრომში გამოყენებული საავტორო უფლებებით დაცული მასალებზე მიღებულია შესაბამისი ნებართვა (გარდა ის მცირე ზომის ციტატებისა, რომლებიც მოითხოვენ მხოლოდ სპეციფიურ მიმართებას ლიტერატურის ციტირებაში, როგორც ეს მიღებულია სამეცნიერო ნაშრომების შესრულებისას) და ყველა მათგანზე იღებს პასუხისმგებლობას.

რეზიუმე

იშვიათმიწა ელემენტების (იმე) შენაერთებს გააჩნიათ მთელი რიგი უნიკალური თვისებები, რაც გამოწვეულია იმეს ატომების ელექტრონული გარსის აგებულების თავისებურებებით. ცნობილია, რომ იმეს ატომებს გააჩნიათ შეუცველებლი 4f შიდა გარსი, რომლის შეცვებაც ხორციელდება თანდათან ლანთანიდან ლუბეციუმამდე. ამასთან ადგილი აქვს 4f მდგომარეობის ლოკალიზაციას, ვინაიდან 4f დონეები განლაგებულია ატომის სიღრმეში და ამდენად ისინი ეკრანირებულია გარეშე ზემოქმედებისაგან. შენაერთის წარმოქმნისას ადგილი აქვს არა 4f გარსების ურთიერთგადაფარვას, არამედ ლოკალური დონეების წარმოქმნას, რომლებიც ატომური დონეების მსგავსად იქცევიან. შესაბამისი შენაერთის თვისება დამოკიდებულია იმაზე, თუ როგორ მდგომარეობას დაიკავებს ვიწრო 4f ზონა. თუ ის მოხვდა აკრძალულ ზონაში, კრისტალი ნახევარგამტარია, თუ სავალენტო ზონაში – დიელექტრიკი, ხოლო თუ 4f ზონა გამტარებლობის ზონის ფარგლებში მოხვდა, მაშინ შენაერთი ლითონურ თვისებებს ავლენს.

იმეს ერთნახევრიანი სულფიდებს გააჩნიათ დიდი აკრძალული ზონის სიგანე და ამიტომ წარმოადგენენ პერსპექტიულ მასალებს სპექტრის ხილულ უბანში მომუშავე ოპტოელექტრონულ სელსაწყოების, პოლიკრისტალური ოპტიკური კერამიკისა და თერმოელექტრული გარდამქმნელების შესაქმნელად. იმეს ერთნახევრიანი სულფიდები ძნელდნობადი მასალებია და, ამდენად, შეუძლიათ მუშაობა მაღალ ტემპერატურაზე. მიუხედავად მათი უნიკალური თვისებებისა, ბევრი მათგანი შესწავლილი არ არის, სრულყოფილი მოცულობითი კრისტალებისა და ფირების მიღება საკმაოდ რთულ ტექნოლოგიურ ამოცანას წარმოადგენს.

მოცემული ნაშრომის ძირითად მიზანს წარმოადგენდა ტულიუმის, პრაზეოდიუმისა და ნეოდიუმის ერთნახევრიანი სულფიდების თხელი ფირების მიღება, ლეგირება და მათი ოპტიკური, ელექტროფიზიკური და მექანიკური თვისებების შესწავლა.

ტულიუმისა და პრაზეოდიუმის ერთნახევრიანი სულფიდების თხელი ფირები მიღებულ იქნა კომპონენტების ორი დამოუკიდებელი წყაროდან ვაკუუმურ-თერმული ორთქლების მეთოდით. ფუძეშრეებად გამოყენებულ იყო ნადნობი კვარცი, პოლიკრისტალური სიტალი, ლეიკოსაფირონი და მონოკრისტალური სილიციუმი. რენტგენოდიფრაქციული და ელექტრონოგრაფიული მონაცემებით დადგენილ იქნა მიღებული ფირების ფაზური შემადგენლობა და კრისტალური სტრუქტურა.

ეველაზე სრულყოფილი ფირები მიღებულ იქნა ფუძეშრის 870 K ტემპერატურაზე. ფირები შეესაბამებოდა θ ფორმას (კუბური სინგონია, სივრცული ჯგუფი $I\bar{4}3d$, სტრუქტურული ტიპი Tl_2O_3), მესრის მუდმივათი $a = 12.46 \text{ \AA}$.

პრაზეოდიუმის ერთნახევრიანი სულფიდის თხელი ფირები მიღებულ იქნა ფუძეშრის 970 K ტემპერატურაზე, ფირები შეესაბამებოდა γ ფორმას (კუბური სინგონია, სივრცული ჯგუფი $I\bar{4}3d$ სტრუქტურული ტიპი Th_3P_4), მესრის მუდმივათი $a = 8.91 \text{ \AA}$.

ნეოდიუმის ერთნახევრიანი სულფიდის თხელი ფირები მიღებულ იქნა წინასწარ სინთეზირებული შენაერთის დისკრეტული ვაკუუმურ-თერმული

აორთქლების მეთოდით აღნიშნულ ფუძეშრეებზე. სრულყოფილი კრისტალური ფირები მიღებულ იქნა ფუძეშრის 1000 K ტემპერატურაზე და შეესაბამებოდნენ γ ფორმას, $\gamma\text{-Pr}_2\text{S}_3$ -ის მსგავსად, მესრის მუდმივათი $a = 8.60 \text{ \AA}$.

მიღებული ერთნახევრიანი სულფიდების თხელი ფირების კუთრი წინადობა მაღალი იყო $\approx 10^8$ ომი·მ, რაც დამახასიათებელია Ln_2S_3 შენაერთებისათვის და მიუთითებს მიღებული შენარეთების სტექიომეტრიულ შემადგენლობასთან სიახლოვეს, რაც დადასტურდა მიღებულ ფირებზე ჩატარებული მიკროზონდფური ანალიზითაც.

მიღებული ფირების მაღალი კუთრი ელექტროწონადობა ართულებს ფოტოელექტრული თვისებების გაზომვას და მასალის გამოყენებას მთელი რიგი პრაქტიკული მიზნებისთვის. ამიტომ ჩატარებულ იქნა ფირების ლეგირება კადმიუმისა და ტყვიის ატომებით. ამასთან ტყვიის ატომებით ლეგირება განხორციელდა მინარევის შემოსაზღვრული წყაროდან დიფუზიის მეთოდით, რისთვისაც ფირებზე წინასწარ ვაკუუმურ-თერმული აორთქლების მეთოდით ვაფენდით ტყვიის ფენას და ვაწარმოებდით 900 K -ზე დიფუზიურ გამოწვას. ფირების კადმიუმით ლეგირებას ვახდენდით დახურულ მოცულობაში აირადი ფაზიდან ასევე 900 K ტემპერატურაზე. ლეგირების შემდეგ ფირებს გააჩნდათ ელექტრონული გამტარებლობა, ხოლო კუთრი წინადობა ტყვიით ლეგირებულ ფირებში 7-8 რიგით შემცირდა, ხოლო კადმიუმით ლეგირებულ ფირებში - 3-9- რიგით.

$\theta\text{-Tm}_2\text{S}_3$ -ის ფირებზე შესწავლით იქნა არეკვლისა შთანთქმის სპექტრი 1.2–5.2 ევ ენერგიათა ინტერვალში. ნაჩვენებია, რომ $\theta\text{-Tm}_2\text{S}_3$ -ის ფირების შთანთქმის კიდის ფორმირებაში მონაწილეობას იღებს პირდაპირი და არაპირდაპირი გადასვლები, შესაბამისად 1.2 ევ და 2.5 ევ-ზე.

$\gamma\text{-Pr}_2\text{S}_3$ -ის და $\gamma\text{-Nd}_2\text{S}_3$ -ის ფირების შთანთქმის კოეფიციენტის სახშირული ანალიზით შეფასებულია მათი აკრძალული ზონის სიგანე – შესაბამისად 2.8 ევ და 2.9 ევ.

$\theta\text{-Tm}_2\text{S}_3$ -ის, $\gamma\text{-Pr}_2\text{S}_3$ -ისა და $\gamma\text{-Nd}_2\text{S}_3$ -ის კადმიუმით და ტყვიით ლეგირებული ფირების ფოტოგამტარებლობის და ფოტო ემს-ს სპექტრალური და ტემპერატურული დამოკიდებულებების შესწავლამ აჩვენა, რომ ფოტომგრძნობიარობაში ძირითად როლს თამაშობენ აქცეპტორული დონეები, რომლებიც წარმოიქმნებიან კათიონურ ქვემესერში მათი კომპენსაციით კადმიუმის ან ტყვიის მინარევის შეყვანის დროს.

კადმიუმით ლეგირებულ $\theta\text{-Tm}_2\text{S}_3$ -ის-ის ფირებში შესწავლითა ფოტოგამტარებლობის ხანგრძლივდორიანი რელაქსაცია. შეფასებულია რელაქსაციური ბარიერის სიდიდე 0.12–0.28 ევ. დადგენილია ტულიუმის ვაკანსიით შექმნილი აქცეპტორული დონის იონიზაციის ენერგია.

უკანასკნელ ხანებში თხელი ფირების ოპტიკური და ელექტრული თვისებებისადმი ინტერესის პარალელურად დიდია დაინტერესება მათი მექანიკური თვისებებითაც, ვინაიდან ხშირად სათანადო ელექტროფიზიკური თვისებების მქონე ფირებს გააჩნიათ დაბალი მექანიკური სიმტკიცე, რაც ხელს უშლის მათ გამოყენებას. წინამდებარე ხაშრომში ფირების მექანიკური სიმტკიცე შესწავლით იქნა ე.წ. სრული გახეხვის მეთოდით, რომლის პრინციპი მდგომარეობს იმაში, რომ ფირების მექანიკურ სიმტკიცეზე და მათი ფუძეშრეზე მიკრობადობის ხასიათზე შეიძლება ვიმსჯელოთ იმ სამუშაოს მიხედვით, რაც აუცილებელია დაიხარჯოს ფირის ფუძეშრიდან მთლიანად გადასახეხად. ამ დროს ერთიდაიგივე სისქის ფირებზე ერთიდაიგივე

დატვირთვისას ხდებოდა მუშა სხეულის –ზამშის ფენა ალმასის პასტით – გატარება მანამ, სანამ ფირი მთლიანად არ მოშორდებოდა ფუძეშრეს. დავითვალეთ რა სრული გადახეხვისათვის საჭირო გასმათა რაიდენობა და შევადარეთ ის ეტალონს, როგორც ყველაზე დაბალი სიმტკიცის მასალას, ტულიუმის მონოანთიმონიდს, ჩატარებულმა გამოკვლევებმა DyS, θ-Tm₂S₃, γ-Pr₂S₃, θ-Yb₂S₃, γ-Nd₂S₃ ფირებზე, აჩვენეს, რომ ყველაზე მაღალი ფარდობითი მექანიკური სიმტკიცე გააჩნიათ ლეიკოსაფირონის ფუძეშრეზე დაფენილ ფირებს, ხოლო ყველაზე დაბალი – სილიციუმის ფუძეშრეზე დაფენლებს. გამოთქმულია ვარაუდი, რომ ლეიკოსაფირონის ფუძეშრეზე დაფენილი ფირების მაღალი მექანიკური სიმტკიცე დაკავშირებულია ფუძეშრესა და დაფენილი მასალების სითბური გაფართოების კოეფიციენტების სიახლოვესთან.

სამეცნიერო ლიტერატურაში არსებული მონაცემებისა და მოცემულ ნაშრომში შესრულებული შედეგებით შეიძლება აისახოს იშვიათმიწა ელემენტის ერთნახევრიანი სულფიდების თხელი ფირების პრაქტიკული გამოყენების პერსპექტივები. ისინი წარმოადგენენ დიელექტრიკებს მაღალი ოპტიკური გამჭვირვალობის უბნით. მათი ლეგირება კადმიუმით მნიშვნელოვნად ზრდის ამ მასალების ფოტომგრამბიარობას და პერსპექტიულს ხდის მათ გამოყენებას ფოტომგრამბიარე ხელსაწყოების შესაქმნელად.

ნაშრომში მიღებული შედეგები უთუოდ ხელს უწყობს იმე-ს შენაერთების შესწავლას და მყარი ტანის ფიზიკის მრავალი საკითხის ახლებურ გააზრებსა.

Abstract

შ ი ნ ა რ ს ი

შესავალი.....	17
თავი I. ლიტერალურული მონაცემების მიმოხილვა.....	23
1.1. ზოგიერთი იმე-გოგირდი სისტემის მდგომარეობის ფაზური დიაგრამები.....	23
1.2. ზოგიერთი იმე-ს მონოსულფიდების მოცულობითი კრისტალების და თხელი ფირებს მოღება და კრისტალური სტრუქტურა.....	26
1.3. ზოგიერთი იმე-ს ერთნახევრიანი სულფიდის თხელი ფირების მიღება და კრიტალური სტრუქტურა.....	28
1.4. იმე-ს ერთნახევრიანი სულფიდების ელექტროფიზიკური თვისებები.....	32
1.5. იმე-ს ერთნახევრიანი სულფიდების ოპტიკური თვისებები და ენერგეტიკული სტრუქტურა.....	33
1.6. თავი I დასკვნები.....	35
თავი II. თხელი ფირების მიღების ტექნოლოგიური, მაკონტროლებელი და ფიზიკური თვისებების შესწავლის თავისებურებები.....	38
2.1. ვაკუუმურ-თერმული აორთქლების მეთოდით ფირების მისაღები დანადგარები.....	38
2.2. ფუძეშრისათვის წაყენებული მოთხოვნები და გაწმენდის მეთოდიკა.....	44
2.3. ფირების სისქის კონტროლი.....	47
2.4. რენტგენოდიფრაქციული და ელექტრონოგრაფიული კვლევის მეთოდები.....	48
2.5. ქიმიური შემადგენლობის კვლევის მეთოდები.....	49
2.6. იშვიათმიწა იონებს ვალენტობის განსაზღვრის მეთოდიკა.....	50
2.7. ელექტროფიზიკური, ოპტიკური და ფოტოელექტრული თვისებების კვლევის მეთოდიკა.....	51
2.7.1. კუთრი წინაღობისა და პოლის მუდმივას განსაზღვრა.....	51
2.7.2. თერმო ემბ-ს განსაზღვრა.....	53
2.7.3. ოპტიკური და ფოტოელექტრული თვისებების კვლევის მეთოდიკა.....	54
თავი III. იმე-ის სულფიდების თხელი ფირების მიღების ტექნოლოგია, კრისტალური სტრუქტურა, ფიზიკური და ქიმიური ანალიზი.....	61
3.1. თხელი ფირების მიღება ვაკუუმურ-თერმული აორთქლების მეთოდით და ტექნოლოგიური თავისებურებები.....	61
3.1.1. ამაორთქლებლები. ფირის განაწილება ფუძეშრეზე	61
3.1.2. თხელი ფირების წარმოქმნის კინეტიკა და სტრუქტურა.სხვა პარამეტრის გავლენა ფირია სრუქტურაზე.....	62

3.1.3. თხელი ფირების მიღება ვაკუუმურ-თერმული აორთქლების მეთოდით	65
3.2. ტულიუმის, ნეოდიუმის და პრაზეოდიუმის ერთნახევრიანი სულფიდის თხელი ფირების მიღება, ფაზური შემადგენლობა და კრისტალური სტრუქტურა.....	68
3.2.1. ტულიუმის ერთნახევრიანი სულფიდის თხელი ფირების მიღება.....	68
3.2.2. პრაზეოდიუმის ერთნახევრიანი სულფიდის თხელი ფირების მიღება.....	72
3.2.3. ნეოდიუმის ერთნახევრიანი სულფიდის თხელი ფირების მიღება.....	74
3.3. ტულიუმის, ნეოდიუმის და პრაზეოდიუმის ერთნახევრიანი სულფიდის თხელი ფირების ლეგირება.....	79
3.3.1. მალეგირებელი ელემენტის შერჩევა	79
3.3.2. ლეგირების მეთოდის შერჩევა.....	80
3.3.3. ლეგირების ტექნოლოგია.....	82
3.4. თავი III დასკვნები.....	83
თავი IV. ოპტიკური და ფოტოელექტრული თვისებები.....	84
4.1. ტულიუმის ერთნახევრიანი სულფიდის თხელი ფირების ოპტიკური თვისებები.....	84
4.2. პრაზეოდიუმის ერთნახევრიანი სულფიდის თხელი ფირების ოპტიკური თვისებები.....	88
4.3. ნეოდიუმის ერთნახევრიანი სულფიდის თხელი ფირების ოპტიკური თვისებები.....	91
4.4. კადმიუმითა და ტყვიით ლეგირებული თხელი ფირების ელექტროფიზიკური და ფოტოელექტრული თვისებები.....	95
4.5. ხანგრძლივი რელაქსაცია კადმიუმით ლეგირებულ Tm_2S_3 -ის თხელ ფირებში.....	103
4.6. IV თავი დასკვნები.....	107
თავი V. ტულიუმის და ნეოდიუმის ერთნახევრიანი სულფიდების თხელი ფირების ფარდობითი მექანიკური სიმტკიცე	109
5.1. V თავი დასკვნა.....	114
დასკვნები.....	114
ლიტერატურა.....	117

ცხრილების ნუსხა

ცხრილი 1.1. სამარიუმისა და დისპროზიუმის ერთნახევრიანი სულფიდების კრისტალოგრაფიული მონაცემები.....	30
ცხრილი 1.2. იტერბიუმის ერთნახევრიანი სულფიდების კრისტალოგრაფიული მონაცემები.....	31
ცხრილი 3.1. ტულიუმის ერთნახევრიანი სულფიდების კრისტალოგრაფიული მონაცემები.....	70
ცხრილი 3.2. ნეოდიუმის ერთნახევრიანი სულფიდების კრისტალოგრაფიული მონაცემები.....	77
ცხრილი 5.1. ოხელი ფირების ადგეზიის გაზომვის მექანიკური მეთოდები....	110
ცხრილი 5.2 ზოგიერთი იშვიათმიწა ელემენტის სულფიდების ფუძეშრის მასალის (სილიციუმი, სიტალი, ლეიკოსაფირონი) სითბური გაფართოების პოეფიციენტები)	113

ნახაზების ნუსხა

1.1.	Yb-S ₂ ისტემის მდგომარეობის ფაზური დიაგრამა.....	24
1.2.	Dy-S სისტემის მდგომარეობის ფაზური დიაგრამა	25
1.3.	Nd-S სისტემის მდგომარეობის ფაზური დიაგრამა.....	26
1.4.	Nd ₂ S ₃ ოპტიკური ფუნქციების $\varepsilon_1(1)$, $\varepsilon_2(2)$ და ენერგიის დანაკარგების ფუნქციის $-Im\varepsilon^{-1}$ (3) სპექტრები.....	35
2.1.	ტექნოლოგიური დანადგარის გაკუუმური სისტემის სქემა.....	39
2.2.	(I) YBH 75P3 ტექნოლოგიური დანადგარის გაკუუმური კამერის მოწყობილობა (I სექტორი).....	40
2.2.	(II) YBH 75P3 ტექნოლოგიური დანადგარის გაკუუმური კამერის მოწყობილობა (I სექტორი).....	40
2.3.	იმე-ს და გოგირდის ამაორთქლებლის კონსტრუქციის სქემა.....	42
2.4.	ფუძეშრის გამახურებლის სქემატური გამოსახულება.....	43
2.5.	BUP-5 მარკის გაკუუმური პოსტის სქემატური გამოსახულება.....	44
2.6.	კუთრი წინადობისა და პოლის მუდმივას ტემპერატურაზე დამოკიდებულების შესასწავლი დანადგარის ბლოკ-სქემა.....	51
2.7.	თერმო-ემბ-ს გასაზომი დანადგარის ბლოკ-სქემა.....	53
2.8.	KCBY-2 კომპლექსის ფუნქციონალური სქემა.....	55
2.9.	ფოტოელექტრული თვისებების შესასწავლი დანადგარის ოპტიკური სქემა.....	59
2.10.	ფოტოელექტრული თვისებების შესასწავლი მოწყობილობის ელექტროგამზომი ნაწილის ბლოკ-სქემა.....	59
3.1.	θ -Tm ₂ S ₃ თხელი ფირის რენტგენოდიფრაქტოგრამა (ფუძეშრე-ლეიკოსაფირონი, $T_g=870$ K; სისქე – 2.5.მკმ).....	71
3.2.	θ -Tm ₂ S ₃ თხელი ფირის ზედაპირზე Tm (ა) და S (ბ) განაწილების გამოსახულება რენტგენის მეორად სხივებში და ფირის ზედაპირის მიკროფოტოგრაფია (გ).....	71
3.3.	γ -Pr ₂ S ₃ -ის ფირის რენტგენოდიფრაქტოგრამა (ფუძეშრე საფირონი, $T_g=950$ K, ფირის სისქე 1,6 მკმ).....	73

3.4. γ -Nd ₂ S ₃ თხელი ფირის რენტგენოფრაქტოგრამა (ფუძეშრე-ლეიკოსაფირონი, T _g =1000 K, სისქე – 2 მკმ)	78
3.5. γ -Nd ₂ S ₃ თხელი ფირის ზედაპირზე Nd(ა) და S(ბ) განაწილების გამოსახულება რენტგენის სხივებში და ფირის ზედაპირის მიკროფოტოგრაფია (გ).....	78
4.1. არეკვლის (1) და შთანთქმის სპექტრები (2) (ფუძეშრე-ლეიკოსაფირონი, T _g =870 K, სისქე – 2.5 მკმ).....	86
4.2. 0-Tm ₂ S ₃ -ის თხელი ფირის შთანთქმის კოეფიციენტის სიხშირული დამოკიდებულება არაპირდაპირი (1) და პირდაპირი (2) ზონათაშორისი ელექტრონული გადასვლებისას (ფუძეშრე-ლეიკოსაფირონი, T _g =870 K, სისქე – 2.5 მკმ).....	87
4.3. γ -Pr ₂ S ₃ -ის ფირების არეკვლის (1) და გამჭვირვალობის (2) სპექტრები (ფუძეშრე – ლეიკოსაფირონი, T _g =950 K, სისქე – 1,8 მკმ).....	88
4.4. γ -Pr ₂ S ₃ ფირების არეკვლის სპექტრალური დამოკიდებულება შთანთქმის კიდის მახლობლობაში (ფუძეშრე-ლეიკოსაფირონი, T _g =950 K, სისქე – 1,8 მკმ).....	89
4.5. γ -Pr ₂ S ₃ ფირების გამჭვირვალობის სპექტრალური დამოკიდებულება შთანთქმის კიდის მახლობლობაში (ფუძეშრე – ლეიკოსაფირონი, T _g =950 K, სისქე – 1,8 მკმ).....	89
4.6. γ -Pr ₂ S ₃ ფირების შთანთქმის კოეფიციენტის სპექტრალური დამოკიდებულება.....	90
4.7. γ -Nd ₂ S ₃ თხელი ფირის არეკვლის (1) და გამჭვირვალობისა (2) სპექტრალური დამოკიდებულებები ენერგიათა უბანში $\hbar\omega << \Delta E_g$ (ფუძეშრე-ლეიკოსაფირონი, სისქე-2,0 მკმ).....	92
4.8. γ -Nd ₂ S ₃ თხელი ფირის არეკვლის სპექტრალური დამოკიდებულება შთანთქმის კიდესთან (ფუძეშრე-ლეიკოსაფირონი, სისქე-2,0 მკმ).....	93
4.9. γ -Nd ₂ S ₃ თხელი ფირის გამჭვირვალობის სპექტრალური დამოკიდებულება შთანთქმის კიდესთან (ფუძეშრე-ლეიკოსაფირონი, სისქე-2,0 მკმ).....	94
4.10. γ -Nd ₂ S ₃ თხელი ფირის შთანთქმის კოეფიციენტის სპექტრალური დამოკიდებულება (ფუძეშრე-ლეიკოსაფირონი, სისქე-2,0 მკმ).....	94
4.11. ფგ-ის სპექტრალური დამოკიდებულება სხვადასხვა ტემპერატურებზე Tm ₂ S ₃ :Pb ფირებში.....	96

4.12. ფოტოგამტარებლობის სპექტრალური დამოკიდებულება სხვსდასხვა ტემპერატურებზე ტყვიით ლეგირებული γ -Pr ₂ S ₃ ფირისათვის.....	96
4.13. ფოტოგამტარებლობის სპექტრალური დამოკიდებულებები სხვადასხვა ტემპერატურებზე ტყვიით ლეგირებული γ -Nd ₂ S ₃ თხელი ფირისათვის.....	97
4.14. ნაზი სტრუქტურა ტყვიით ლეგირებული θ -Tm ₂ S ₃ -ის ფირის ფგ-ის სპექტრში.....	97
4.15. ფგ-ის სპექტრში ნაზი სტრუქტურა γ -Pr ₂ S ₃ -ის ტყვიით ლეგირებული ფირებისთვის 120 K ტემპერატურისას.....	98
4.16. ფგ-ის სპექტრში ნაზი სტრუქტურა γ -Pr ₂ S ₃ -ის ტყვიით ლეგირებული ფირებისთვის 120 K ტემპერატურისას.....	99
4.17. ფგ-ის სპექტრალური დამოკიდებულება სხვადასხვა ტემპერატურებზე Tm ₂ S ₃ :Cd ფირებში.....	100
4.18. ფოტოგამტარებლობის სპექტრალური დამოკიდებულება სხვსდასხვა ტემპერატურებზე კადმიუმით ლეგირებული γ -Pr ₂ S ₃ ფირისათვის.....	100
4.19. ფოტოგამტარებლობის სპექტრალური დამოკიდებულებები სხვადასხვა ტემპერატურებზე კადმიუმით ლეგირებული γ -Nd ₂ S ₃ თხელი ფირისათვის.....	101
4.20. ფოტო-ემბ-ს სპექტრალური დამოკიდებულება Tm ₂ S ₃ :Pb და Tm ₂ S ₃ :Cd ფირებში შესაბამისად 122 K და 113 K ტემპერატურებზე.....	101
4.21. ტყვიით (1) და კადმიუმით (2) ლეგირებულ ფირებში ფოტო-ემბ-ს სპექტრალური დამოკიდებულება.....	102
4.22. ფგ-ის კინეტიკა T=110 K დროს ($\lambda=470$ ნმ, J=150 მვტ/სმ ²) (პუნქტირი შევსაბამება განათების შეწყვეტას).....	104
4.23. რელაქსაციის (1) და ფგ-ის სტაციონარული მნიშვნელობის დადგენის (2) მახასიათებლები. ნგ-ის რელაქსაციური მრუდები T=115 K (3), T=125 K (4)	105
4.24. ფგ (1) და ნგ (2) დამოკიდებულება გამოსხივების ინტენსივობაზე 110 K დროს ($\lambda =470$ ნმ)	106
4.25. ფგ-ის (1) და ნგ-ის (2) სპექტრი 120 K ტემპერატურაზე (ფგ ნირმირებულია ფოტონების ერთიდაიგივე რაოდენობაზე J=0,065 მვტ/სმ ²)	107

5.1. ფირების ფარდობითი მექანიკური სიმტკიცის გასაზომი დანადგარის სქემა.....	111
5.2. სილიციუმის, სიტალისა და ლეიკოსაფირონის ფუძეშრეზე მიღებული ზოგიერთი იმპ-ს ანთიმონიდებისა და სულფიდების თხელი ფირების ფარდობითი მექანიკური სიმტკიცე.....	112

მადლიერება

უღრმეს მადლობას ვუხდი სამუშაოს ხელმძღვანელს, პროფ. გ. ჯაბუას, საკვლევი თემის დასმის, სამუშაოს ჩატარების მიმართ ყოველდღიური ინტერესისა და მიღებული შედეგების დამუშავებასა და გაფორმებაში გაწეული წვლილისათვის, დოც. ლ.გლურჯიძეს, პროფ. ა. გიგინეიშვილს და პროფ. გ.ქუთელიას ოპტიკური, ელექტროფიზიკური და რენტგენოდიფრაქციული და ელექტრონოგრაფიული კვლევების ჩატარებასა და შედეგების დამუშავებაში დახმარებისათვის. ასევე მადლობას ვუხდი უფ.მეცნ.თანამ. გ.მაზმიშვილს რენტგენული მოკროზონდური ანალიზის ჩატარებისათვის, დოც. დ.გზირიშვილს, გეცნიერ თანამშრომლებს თ.ლოჩოშვილს და მ.სტამატელს, რომლებთანაც მჭიდრო თანამშრომლობით შესრულდა ნაშრომი.

შ ე ს ა ვ ა ლ ი

იშვიათმიწა ელემენტების (იმე) შენაერთები ხასიათდებიან მთელი რიგი უნიკალური ფიზიკური თვისებებით. მათ ფუძეზე შექმნილია ეფექტური ლუმინოფორები, მასალები დისკრეტული და პოლიგრაფიული ინფორმაციის ჩასაწერად, პოლიკრისტალური ოპტიკური კერამიკა, მრავალი ლაზერული მასალა, დიელექტრიკები ელექტრონული სტრუქტურისათვის, თერმოელექტრული გარდამქმნელები და ა.შ.. იმე-ს სულფიდები ძნელადღნობადი მასალებია, ამდენად მათ შეუძლიათ მუშაობა მაღალ ტემპერატურებზე. თავიანთი ელექტრული თვისებებით ისინი წარმოადგენენ დიელექტრიკებს, ნახევრადლითონებს და ნახევარგამტარებს. როგორც წესი, იმე-ს შენაერთებს გააჩნიათ აბსოლუტური მნიშვნელობით გიგანტური ეფექტები, ხშირად კი პრინციპულად ახალი და უნიკალური თვისებები. უკანასკნელი ათი წლის განმავლობაში იმე-ს შენაერთებისადმიმთელ მსოფლიოში სულ უფრო მზარდი ინტერესი შეიმჩნევა, რასაც ადასტურებს თუნდაც ის ფაქტი, რომ მხოლოდ 2008 წელს დაგეგმილია ამ მასალებისადმი მიძღვნილი სამი საერთაშორისო კონფერენცია ალაბამაში (აშშ), დრეზდენში (გერმანია) და კარპაჩში (პოლონეთი). საინტერესო და უნიკალური თვისებების გარდა, ინტერესი გამოწვეულია მოპოვებული იმე-ის რაოდენობის ზრდით, მაღალი სისუფთავის მიღწევით და, რაც არა ნაკლებ მნიშვნელოვანია დირებულების შემცირებით.

იმე-ის შენაერთების თვისებების უნიკალობას იწვევს იმე-ის ატომების ელექტრონული გარსის აგებულების თავისებურებები. როგორც ცნობილია, იმე-ს ატომებს გააჩნიათ შეუგსებელი 4f შიდა გარსი, რომლის შევსებაც ხორციელდება თანდათან La-დან Lu-მდე. ამასთან ადგილი აქვს 4f მდგომარეობის არსებით ლოკალიზაციას, რაც გამოწვეულია იმით, რომ 4f დონეები განლაგებულია ატომის სიდრმეში და ამდენად ისინი ეპრანირებულია გარეშე ზემოქმედებისაგან $5S^2P^6$ ელექტრონებით. შენაერთის წარმოქმნისას ადგილი აქვს არა 4f გარსების ურთიერთ გადაფარვას (ვინაიდან 4f გარსის რადიუსი – 0,3 Å, ატომებს შორის მანძილის მხოლოდ

10%-ს შეადგენს), არამედ $\sim 10^{28}$ ზ $^{-3}$ კონცენტრაციის ლოკალური დონეების წარმოქმნას, ეს უკანასკნელი კი ატომური დონეების მსგავსად იქცევიან [1].

შესაბამისი შენაერთების თვისება დამოკიდებულია იმაზე, თუ როგორ მდგომარეობას დაიკავებს ვიწრო 4f ზონა. თუ ის მოხვდა აკრძალულ ზონაში, კრისტალი ხასიათდება ნახევარგამტარის თვისებებით. თუ 4f ზონა განთავსდა სავალენტო ზონაში, მაშინ მასალა დიელექტრიკია, ხოლო თუ 4f ზონა მოხვდა გამტარებლობის ზონის ფარგლებში, მაშინ შენაერთი ლითონურ თვისებებს ავლენს.

იმე-ს ერთნახევრიან ჰალკოგენიდებს გააჩნიათ დიდი აკრძალული ზონის სიგანე და ამიტომ წარმოადგენენ პერსპექტიულ მასალებს საექტრის ხილულ უბანში მომუშავე ოპტოელექტრონული ხელსაწყოების შესაქმნელად. უნდა შევნიშნოთ, რომ ჰალკოგენიდების ფიზიკური თვისებები დამოკიდებულია მათში კომპონენტების რაოდენობრივ თანაფარდობაზე და იმე-ს იონის ვალენტობაზე. ასე მაგალითად, სამვალენტიანი იმე-ს მონოჰალკოგენიდები და 3:4 თანაფარდობის შენაერთები წარმოადგენენ ლითონებს, ორვალენტიანი იმე-ს მონოჰალკოგენიდები – ნახევარგამტარებს, ერთნახევრიანი იმე-ს ჰალკოგენიდები კი – დიელექტრიკებს.

იმე-ის ჰალკოგენიდები, გარდა პრაქტიკული გამოყენებისა, საინტერესო მასალებია თეორიული შესწავლის თვალსაზრისითაც, ვინაიდან ეს ხელს უწყობს მყარი ტანის ფიზიკის მრავალი საკითხის ახლებურად გააზრებას.

იმე-ს ჰალკოგენიდების ფიზიკური თვისებების ყოველმხრივი შესწავლა და პრაქტიკული მიზნებისთვის გამოყენება მნიშვნელოვნადაა დამოკიდებული ამ მასალების სრულყოფილი მოცულობითი კრისტალების და თხელი ფირების მიღების ტექნოლოგიის დამუშავებაზე. მნიშვნელოვან უურადღებას იქცევენ თხელფიროვანი ობიექტები, ვინაიდან თანამედროვე მიკროელექტრონიკის განვითარება მოითხოვს განსაკუთრებული თვისებების მქონე ფიროვანი ობიექტების ტექნოლოგიის საფუძვლების დამუშავებას. თხელი ფირების სხვადასხვა საფენებზე მომზადების პრობლემის გადაწყვეტა დაკავშირებულია მათი ფიზიკური თვისებების შესწავლასთან, ფირების ქიმიური და ფიზიკური შემადგენლობის, კრისტალური სტრუქტურისა და მათი სრულყოფის ხარისხთან კავშირში. საინტერესოა ის ფაქტიც, რომ თხელფიროვანი ობიექტების თვისებები შეიძლება განსხვავდებოდეს

შესაბამისი მოცულობითი ობიექტების თვისებებისაგან და ამჟამად მათი შედარება ხელს უწყობს მასალის თვისების უფრო ღრმად შესწავლას, რაც ხშირად პერსპექტიულს ხდის მათ პრაქტიკულ გამოყენებას.

ყოველივე ზემოთქმული საშუალებას გაძლევს გამოვიტანოთ დასკვნა, რომ იმე-ს პალკოგენიდების, რომლებსაც მიეკუთვნება სულფიდები, სრულყოფილი თხელი ფირების მიღების ტექნოლოგიის დამუშავება და მათი ფიზიკური თვისებების შესწავლა წარმოადგენს საინტერესო სამეცნიერო-ტექნიკურ ამოცანას.

უდავოა, თუ რამდენად საიმედოა მოცემული შენაერთის ექსპერიმენტულად დადგენილი თვისებები, დამოკიდებულია საკვლევი მასალის სრულყოფაზე, ხოლო ეს უკანასკნელი, ცხადია, განპირობებულია მასალის მიღების ტექნოლოგიის დამუშავების ხარისხით. თხელფიროვანი ობიექტების ფიზიკური თვისებები თავისი სპეციფიურობის გამო ძალიან მგრძნობიარება როგორც შემადგენლობის, ისე კრისტალური მესრის სრულყოფის მიმართ. სულფიდების თხელი ფირების მიღბის ტექნოლოგია სუსტადაა დამუშავებული, ზოგ შემთხვევაში კი შესაბამისი მასალა სამეცნიერო ლიტერატურაში საერთდ არ არის მოცემული.

მოცემული ნაშრომის ძირითად მიზანს წარმოადგენდა ტულიუმის, ნეოდიუმისა და პრაზეოდიუმის ერთნახევრიანი სულფიდების თხელი ფირების მიღება და ფიზიკური თვისებების გამოკვლევა ოპტიმალური ტექნოლოგიური რეჟიმებისა და ძირითადი ფიზიკური პარამეტრების დადგენის მიზნით, რისთვისაც ნაშრომში დასმულია და გადაწყვეტილია შემდეგი ამოცანები:

1. ტულიუმის, ნეოდიუმის და პრაზეოდიუმის ერთნახევრიანი სულფიდების თხელი ფირების მიღების ტექნოლოგიის დამუშავება სხვადასხვა ფუძეშრეზე;

2. ფირების ფაზური შემადგენლობისა და კრისტალური მესრის სრულყოფის გამოკვლევა ტექნოლოგიური რეჟიმების პარამეტრებთან დამოკიდებულებით;

3. Tm, Nd და Pr ერთნახევრიანი სულფიდების ფირების მაღეგირებელი ელემენტების და ლეგირების მეთოდიკის შერჩევა, ლეგირების პროცესის ჩატარება;

4. Tm-ის, Nd-ის და Pr-ის ერთნახევრიანი სულფიდების ოპტიკური თვისებების შესწავლა;

5. კადმიუმისა და ტიკნის ატომებით ლეგირებული Tm-ის, Nd-ის და Pr-ის ერთნახევრიანი სულფიდების ოპტიკური და ფოტოელექტრული თვისებების შესწავლა.

6. მიღებული ფირების ფარდობითი მექანიკური სიმტკიცის შესწავლა.

ნაშრომის მეცნიერული სიახლე მდგომარეობს შემდეგში:

1. პირველადაა დამუშავებული Tm-ის, Nd-ის და Pr-ის ერთნახევრიანი სულფიდების თხელი ფირების მიღების ტექნოლოგია სხვადასხვა ფუძეშრეზე;

2. პირველადაა შესწავლილი Tm-ის, Nd-ის და Pr-ის ერთნახევრიანი სულფიდების თხელი ფირების ლეგირების შესაძლებლობა. დამუშავებულია ამ ფირების Cd-სა და Pb-ის ატომებით ლეგირების მეთოდიკა;

3. პირველადაა შესწავლილი Tm-ის, Nd-ის და Pr-ის ერთნახევრიანი სულფიდების თხელი ფირების ოპტიკური თვისებები;

4. პირველადაა გამოკვლეული Tm-ის, Nd-ის და Pr-ის ერთნახევრიანი სულფიდების თხელი ფირების Cd-სა და Pb-ის ატომებით ლეგირებული ფირების ელექტროგამტარებლობა და ფოტოელექტრული თვისებები;

5. პირველადაა შესწავლილი Tm-ის, Nd-ის და Pr-ის ერთნახევრიანი სულფიდების თხელი ფირების ფარდობითი მექანიკური სიმტკიცის დამოკიდებულება ფუძეშრის ტემპერატურაზე ფირების მიღების პროცესში და შესწავლილია სხვადასხვა ფუძეშრეზე მიღებული ფირების ფარდობითი მექანიკური სიმტკიცე.

ნაშრომის პრაქტიკული დირექტულება. დისერტაციაში დამუშავებული Tm-ის, Nd-ის და Pr-ის ერთნახევრიანი სულფიდების სრულყოფილი თხელი ფირების მიღების ტექნოლოგია სხვადასხვა ფუძეშრეზე შედარებით მარტივი და ეფექტური ვაკუუმურ-თერმული აირთქლების მეთოდით შეიძლება გამოყენებულ იქნას შესაბამისი მიკროელექტრონული ხელსაწყოების დასამზადებლად. მიღებული ფირების Cd-სა და Pb-ის ატომებით ლეგირების შედეგად მიღწეული მაღალი ფოტომგრძნობიარობა პერსპექტიულს ხდის მათ ფოტომგრძნობიარე ხელსაწყოებში გამოყენებას.

პირველად შესწავლილი ელექტრული, ოპტიკური და ფოტოელექტრული თვისებები ხელს უწყობს იმე-ის შენაერთებში მიმდინარე ფიზიკური პროცესების კანონზომიერებისა და ბუნების შესახებ არსებული წარმოდგენების უკეთ გააზრებას, ხოლო მრავალი პირველად მიღებული

ექსპერიმენტის შედეგი შეიძლება გამოყენებულ იქნას შესაბამისი დარგის ცნობარებში.

ნაშრომის აპრობაცია. წარმოდგენილი ნაშრომის ძირითადი შედეგები მოხსენებული იყო 2007 წლის საერთაშორისო კონფერენციაზე “Spin electronics:novel physical phenomenon and materials”.

პუბლიკაცია. დისერტაციის მასალებზე გამოქვეყნებულია 6 ნაშრომი.

დისერტაცია შედგება შესავლის, 5 თავის, დასკვნებისა და ციტირებული ლიტერატურის ნუსხისაგან. ნაშრომის საერთო მოცულობა შეადგენს 109 გვერდს. მათ შორის ნაბეჭდი გვერდი, 47 ილუსტრაცია, 6 ცხრილი, 78 ციტირებული ლიტერატურა.

პირველ თავში მოცემულია იმ ლიტერატურის კრიტიკული მიმოხილვა, რომელიც ეხება ჩვენთვის საიტერესო სულფიდების მიღების ტექნოლოგიას, ფაზური მდგომარეობის დიაგრამებს, კრისტალურ სტრუქტურას და ფიზიკურ თვისებებს. სამეცნიერო ლიტერატურის მიმოხილვის საფუძველზე ჩამოყალიბებულია ნაშრომის მიზანი და საფუძვლები.

მეორე თავში აღწერილია ფირების ტექნოლოგიური, მაკონტროლებელი და ფიზიკური თვისებების შესასწავლი დანადგარები და გაზომვის მეთოდიკა. კერძოდ, ვაკუუმურ-თერმული აორთქლების მეთოდით ფირების მისაღები დანადგარები, ფუძეშრეებისადმი წაყენებული მოთხოვნები, მათი გაწმენდის მეთოდიკა და ფირების სისქის კონტროლი, ფირების რენტგენოგრაფიული კვლევის მეთოდი, ოპტიკური და ფოტოელექტრული თვისებების შესასწავლი მოწყობილობა-დანადგარები.

მესამე თავი დათმობილი აქვს ვაკუუმურ-თერმული დაფენის მეთოდით ფირების მიღების პროცესის თეორიას და განხილულია ისეთი საკითხები. როგორიცაა ნივთიერების აორთქლება, ფირის განაწილება ფუძეშრეზე, ფირების წარმოქმნის კინეტიკა და სტრუქტურა, სხვადასხვა პარამეტრის გავლენა ფირების სტრუქტურაზე. კრიტიკულადაა შეფასებული ვაკუუმურ-თერმული აორთქლების მეთოდით შენაერთის ფირების მიღების სახესხვაობები.

თავის მეორე ნაწილი დათმობილი აქვს Tm-ის, Nd-ის და Pr-ის ერთნახევრიანი სულფიდების თხელი ფირების მიღების აღწერას, ფაზური შემადგენლობისა და კრისტალური სტრუქტურის სესტავლას.

მესამე ნაწილში აღწერილია Tm-ის, Nd-ის და Pr-ის ერთნახევრიანი სულფიდების თხელი ფირების მალეგირებელი ელემენტებისა და ლეგირების მეთოდების შერჩევა. აქვე მოყვანილია ლეგირების ტექნოლოგიური რეჟიმები.

მეოთხე თავი დათმობილი აქვს Tm-ის, Nd-ის და Pr-ის ერთნახევრიანი სულფიდების თხელი ფირების ოპტიკური თვისებების შესწავლას, კადმიუმისა და ტყვიის ატომებით ლეგირებული ფირების ფოტოელექტრული თვისებების კვლევის მონაცემებს. განხილულია კადმიუმთ ლეგირებული ტულიუმის ერთნახევრიანი სულფიდია თხელ ფირში ფოტოგამტარებლობის ხანგრძლივდობიანი რელაქსაციის მოვლენა.

მეხუთე თავი დათმობილი აქვს Tm-ის, Nd-ის და Pr-ის ერთნახევრიანი სულფიდების თხელი ფირების ფარდობითი მექანიკური სიმტკიცის გაზომვის შედეგებს.

ნაშრომში ჩატარებული სამეცნიერო კვლევის მიღებული შედეგები განხოგადოებულია დასკვნით ნაწილში.

ნაშრომის ბოლოს მოყვანილია ციტირებული ლიტერატურა.

I თავი

ლიტერატურული მონაცემების მიმოხილვა

მოცემულ თავში მიმოხილულია სამეცნიერო ლიტერატურაში არსებული მონაცემები, რომლებიც ეხება ზოგიერთი იმე-ის ჩვენთვის საინტერესო სულფიდების მიღების ტექნოლოგიას, მათ ფაზურ შემადგენლობას, კრისტალურ სტრუქტურას, ფიზიკურ და მექანიკურ თვისებებს. განხილულია ვაკუუმურ-თერმული აორთქლების მეთოდით თხელი ფირების მიღებასთან დაკავშირებული საკითხები.

წინამდებარე ნაშრომი მთლიანად ეხება იმე-ს სულფიდების თხელი ფირების მიღებას და ფიზიკური თვისებების კვლევას, მაგრამ, მიუხედავად ამისა, ჩვენთვის საინტერესო ნივთიერების შესახებ არსებული სამეცნიერო-ლიტერატურული მონაცემების მიმოხილვისას შევეხეო არა მარტო თხელ ფირებს, არამედ მოცულობით ობიექტებსაც და ეს შეიძლება იმით აიხსნას, რომ აღნიშნული ნაერთების თხელი ფირების უმრავლესობა ჩვენს მიერ პირველადაა მოღებული და, ამრიგად, სამეცნიერო ლიტერატურაში შესაბამისი ინფორმაცია არ მოიპოვება. აქედან გამომდინარე, ამ ფირების თვისებები შესაძლებელია შევადაროთ მხოლოდ მოცულობითი კრისტალებისათვის არსებულ მონაცემებს. გათვალისწინებულია ისიც, რომ ზოგჯერ თხელი ფირების თვისებები განსხვავდება მოცულობითი ობიექტების თვისებებისაგან. ასეთი შედარება ხელს უწყობს მასალის ბუნებაში ღრმად ჩაწერომას.

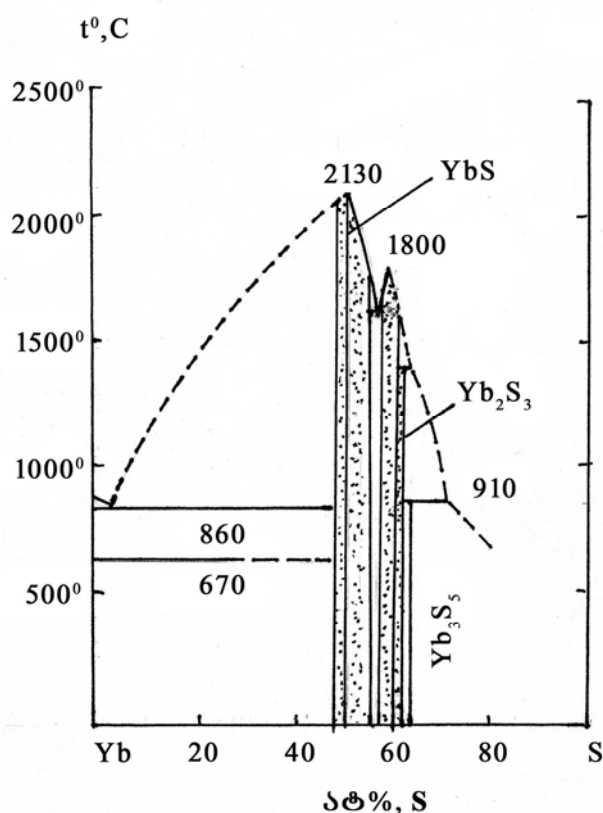
1.1. ზოგიერთი იგე-გოგირდი სისტემის მდგრადირეობის ფაზური დიაგრამები

იმე-ის ნახევარგამტარული თვისებების მქონე შენაერთებიდან ბოლო ხანს განსაკუთრებული ყურადღება ეთმობა სულფიდებს, რომელთა შორისაც გვხვდება როგორც ნახევარგამტარული, ისე ლითონური გამტარებლობის ტიპის მქონე მასალები. მაგრამ ექსპერიმენტალურად თვისებების

დამოკიდებულება იმე-ის სულფიდების შემადგენლობისგან სუსტადა შესწავლილი. ასეთი მდგომარეობა შექმნილია იმის გამო, რომ არ არსებობს საიმედო მონაცემები სხვადასხვა მეთოდით მიღებული სულფიდების ფაზურ და ქიმიურ შემადგენლობაზე.

მოცულობითი და თხელფიროვანი ობიექტების მიღების ტექნოლოგიის დამუშავებისას განსაკუთრებულად საყურადღებოა ე.წ. მდგომარეობის დიაგრამის ცოდნა. მდგომარეობის დიაგრამა გრაფიკულად აღწერს წონასწორობაში მყოფ ფაზებს ცვლადი პარამეტრების (შემადგენლობა, წნევა, ტემპერატურა) კომბინაციებისას.

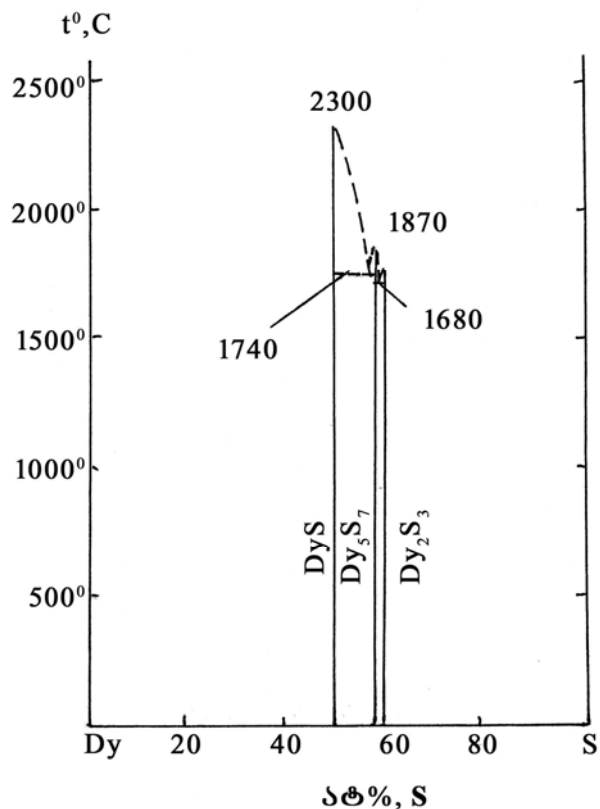
შედარებით კარგადაა შესწავლილი იმე-გოგირდის ტემპერატურა-შემადგენლობის მდგომარეობის დიაგრამები, თუმცა არც ეს არაა შესწავლილი ყველა შესაძლო სისტემისთვის.



ნახ. 1.1 Yb-S სისტემის მდგომარეობის ფაზური დიაგრამა.

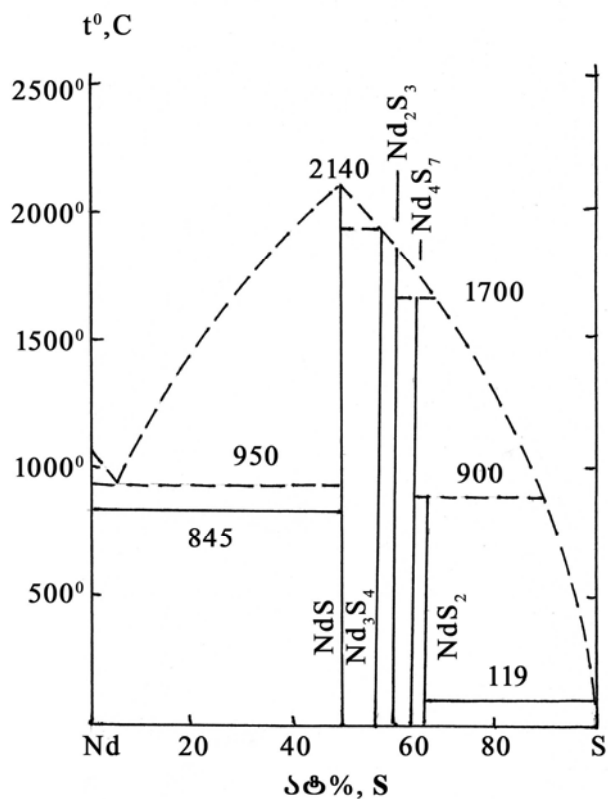
ნახ.1.1-1.3-ზე მოყვანილია Yb-S, Dy-S და Nd-S სისტემების მდგომარეობის ფაზური დიაგრამები [2].

Yb-S სისტემაში (ნახ.1.1) იდენტიფიცირებულია ოთხი შენაერთი YbS , Yb_3S_4 , Yb_2S_3 და Yb_3S_5 , რომელთაგან ორი YbS და Yb_3S_4 კონგრუენტულად დნება შესაბამისად 2130°C და 1809°C – ზე



ნახ. 1.2. Dy-S სისტემის მდგომარეობის ფაზური დიაგრამა.

Dy-S სისტემაში (ნახ.1.2.) არსებობს სამი DyS , Dy_5S_7 და Dy_2S_3 შენაერთი, რომელთა დნობის ტემპერატურებია 2300°C , 1870°C და 1790°C . ყველა ეს შენაერთი დნება კონგრუენტულად.



ნახ. 1.3. Nd-S სისტემის მდგომარეობის ფაზური დიაგრამა.

Nd-S სისტემაში (ნახ.1.3.) დაფიქსირებულია ხუთი შენაერთი: NdS, Nd₃S₄, Nd₅S₇, Nd₂S₃ და NdS₂. მათგან მხოლოდ NdS დნება კონგრუენტულად 2240°C-ზე.

Tm-S და Pr-S სასტემების მდგომარეობის დიაგრამები ლიტერატურაში აღწერილი არაა.

1.2. ზოგიერთი იმპ-ის მონოსულფიდების მოცულობითი პრისტალებისა და თხელი ვირების მიღება და პრისტალური სტრუქტურა

Sm, Yb და Dy-ის მონოსულფიდების როგორც მოცულობითი კრისტალების, ისე თხელი ფირფების მიღების ტექნოლოგია კარგადაა

დამუშავებული, იგივე შეიძლება ითქვას მათი კრისტალური სტრუქტურია შესახებ.

ცნობილია იმე-ის სულფიდების მიღების ორი ხერხი:

- 1) სხვადასხვა გაცვლითი რეაქციების გამოყენება;
- 2) შემადგენელი კომპონენტების პირდაპირი სინთეზი [3]

[3]-ში აღწერილია SmS მონოკრისტალური მოცულობითი ნიმუშების მიღება ნორმალური მიმართული კრისტალიზაციით. მათ გააჩნიათ ნახევარგამტარული თვისებები Sm-ის კონცენტრაციისათვის 50,0-50,4 ატ% შუალედში, ხოლო პომოგენურობის არე შეადგენს 50-54 ატ% Sm. [3,4]-ში იტერბიუმის მონოსულფიდი სინთეზირებულ იქნა კომპონენტების უშუალო ურთიერთქმედებით [5,6,7].

Dy-ის მონოსულფიდი მიღებულ იქნა Dy₂S₃ -ის მაღალ ვაკუუმში გახურებით ალუმინთან ერთად [8].

SmS-ის ნახევარგამტარული თხელი ფირები მიღებულ იქნა წინასწარ სინთეზირებული SmS -ის ტანტალის ნავიდან პირდაპირი თერმული აორთქლებით. Yb -ის მონოსულფიდის თხელი ფირები – ქარვის, მინის და კალციუმის ფტორიდის ფუძეშრეზე ვაკუუმურ-თერმული აორთქლების მეთოდით [9,10], ამასთან [9] ნაშრომში ფირები მიღებულ იქნა ვაკუუმურ-თერმული აორთქლების მეთოდით კომპონენტების ორი დამოუკიდებელი წყაროდან.

YbS-ის მაღალი ხარისხის თხელი ფირები მიღებულ იქნა ვაკუუმურ-თერმული აორთქლების მეთოდით სხვადასხვა ფუძეშრეზე (სიტალი, სილიციუმი, კვარცი, საფირონი) [11]. DyS-ის თხელი ფირები ასევე ვაკუუმურ-თერმული აორთქლების მეთოდით მიღებულ იქნა [12]-ში.

იმე-ის მონოსულფიდები ძირითადად კრისტალდებიან NaCl ტიპის კუბურ მესერში, სივრცული ჯგუფით Fm3m.

უნდა აღინიშნოს, რომ სხვადასხვა ავტორების მონაცემები კარგად ემთხვევა ერთმანეთს YbS-სთვის, თუ მხედველობაში არ მივიღებთ [13]-ს, იგივე შეიძლება ითქვას DyS-ზე [14] ნაშრომის გამოკლებით.

13. ზოგიერთი იმპ-ს ერთნახვპრიანი სულფიდის მოცულობითი პრისტალებისა და თხელი ფირების მიღება და პრისტალური სტრუქტურა

მონოსულფიდების ანალიგიურად იმპ-ის ერთნახვპრიანი სულფიდების მიღება ხდება ორი ხერხით:

- 1) სხვადასხვა გაცვლითი რეაქციების გამოყენება;
- 2) შემადგენელი კომპონენტების პირდაპირი სინთეზი [5].

პირდაპირი სინთეზის მეთოდი მონოსულფიდებისაგან განსხვავებით ერთნახვპრიან სულფიდებში კარგ შედეგს არ იძლევა, რაც არ შეიძლება ითქვას გაცვლით რეაქციებზე, მაგალითად ქლორიდების, ჟანგეულების, უწყლო სულფატების ურთიერთქმედება გოგირდწყალბადთან. საყურადღებოა მეთოდი, რომელშიც საწყისი პროდუქტი იმპ-ის კარბონატები და ნატრიუმის რადონიდის ნადნობია. ამ დროს საბოლოო პროდუქტი 99–100%-იანი სისუფთავით ხასიათდება. [15]

იმპ-ს ერთნახვპრიანი სულფიდებიდან დამუშავებული იყო Sm, Dy, Gd, Yb ერთნახვპრიანი სულფიდების თხელი ფირების მიღების ტექნოლოგია.

Sm-ის ერთნახვპრიანი სულფიდის ფირი CaF_2 , NaCl და საფირონის ფუძეშრეზე იქნა მიღებული [16] ნაშრომში ვაკუუმურ-თერმული დაფენის სამტემპერატურული მეთოდით. ამ მეთოდით სიტალის, მინის, კვარცის და ლეიკოსაფირის ფუძეშრეებზე მიღებულ იქნა Sm_2S_3 -ის თხელი ფირები [17] ნაშრომში. [18]-ში Sm_2S_3 -ის ამორფული თხელი ფირები მიღებულ იქნა მინის, კვარცის და KBr -ის ფუძეშრეზე.

[17]-ში პირველად დამუშავებულ იქნა Dy_2S_3 -ის თხელი ფირების მომზადების ტექნოლოგია ვაკუუმურ-თერმული აორთქლების სამტემპერატურული მეთოდით კვარცის, ლეიკოსაფირონის და სიტალის ფუძეშრეზე.

Gd_2S_3 -ის თხელი ფირები დისკრეტული აორთქლების მეთოდით მიღებულ იქნა [19]-ში.

[20]-ში მოყვანილია $\gamma\text{-Pr}_2\text{S}_3$ და $\gamma\text{-Nd}_2\text{S}_3$ -ის ფხვნილების მიღების მეთოდიკა Pr_6O_{11} და Nd_2O_3 ფხვნილების სულფიდიზირებით CS_2 აირის გამოყენებით.

[21]-ში აღწერილია Gd-ის ერთნახევრიანი სულფიდს კრისტალიზაციის პროცესი პომოგენურობის არეში, აგრეთვე ამ მასალის ლეგირების მეთოდიკა Dy, Sm, Er და Cu-ით. შემადგენლობის სინთეზი ხდებოდა სულფიდირებისა და ოქსისულფიდირების რეაქციით. მასულფიდირებელ აგენტად გამოყენებული იყო ამონიუმის როდანიდის თერმული დაშლის პროდუქტები. აირგადამტანის როლს ასრულებდა ჰელიუმი. სინთეზისათვის გამოყენებული იყო ნარევის საფეხურებრივი გახურების მეთოდი 950°C - მდე, ხოლო სინთეზირებული შემადგენლობების კრისტალიზაცია ხორციელდებოდა ნადნობიდან მიმართული კრისტალიზაციის მეთოდით.

იმე-ს ერთნახევრიან სულფიდებს გააჩნიათ სხვადასხვა პოლიმორფული ფორმა განსხვავებული კრისტალური სტრუქტურით ერთიდაიგივე შენაერთის ფარგლებში და ის დამოკიდებულია სინთეზის, გამოწვის და წრთობის პირობებზე. ამ პოლიმორფულ ფორმათა უმრავლესობა კრისტალდება Th_3P_4 ტიპის სტრუქტურაში.

[22]-ის თანახმად Th_3P_4 სტრუქტურული ტიპის სულფიდებისათვის დამახასიათებელია დეფექტური მესრის წარმოქმნა, რომლის ყოვლი მეცხრე კვანძი ვაკანტურია.

გარდა Th_3P_4 ტიპის სტრუქტურისა იმე-ის ერთნახევრიან სულფიდებს გააჩნიათ La_2S_3 , Nd_2S_3 , Ho_2S_3 და კორუნდის ტიპის სტრუქტურები, რომლებიც ასევე დეფექტური აგებულებისაა.

Sm და Dy ერთნახევრიანი სულფიდების კრისტალოგრაფიული მონაცემები მოყვანილია ცხრილში 1.1, Yb-ის ერთნახევრიანი სულფიდების – ცხრილში 1.2, ხოლო Tm-ისა და Nd-ის ერთნახევრიანი სულფიდებისა კი შესაბამისად ცხრილებში 3.1 და 3.2.

სამარიუმისა და დისპროზიუმის ერთნახევრიანი სულფიდების კრისტალოგრაფიული მონაცემები

სულფიდი	ფერი	სინგონია	სივრცული ჯგუფი	სტრუქტუ- რული ტიპი	მესრის მუდმივა, Å			ლიტერატ ურა
					a	b	c	
α - Sm ₂ S ₃	მუქი შინდისფერი	რომბული	Pnma	α - La ₂ S ₃	7.33 7.382 7.382	15.46 15.372 15.378	4.00 3.974 3.974	[5] [51] [52]
β - Sm ₂ S ₃	მუქი ყავისფერი	გუბური	Fd3m	β - Nd ₂ S ₃	19.58	—	—	[51]
γ - Sm ₂ S ₃	ყვითელი	გუბური	I $\bar{4}$ 3d	Th ₃ P ₄	8.448 8.44 8.43	—	—	[14] [19] [19]
α - Dy ₂ S ₃	ყავისფერიდან წითელ- ყავისფრამდე	რომბული	Pnma	α - La ₂ S ₃	7.229 7.28 7.307	15.136 15.14 15.23	3.878 3.88 3.890	[5] [52] [5]
β - Dy ₂ S ₃	მწვანე	მონოკლი- ნური	P21/m	δ - Ho ₂ S ₃	10.17 10.183	4.02 4.022	17.57 17.496	[74] [52,14]
γ - Dy ₂ S ₃	შავი მწვანე	გუბური	I $\bar{4}$ 3d	Th ₃ P ₄	8.292 8.303	—	—	[22] [75]

ცხრილი 1.2.

იტერბიუმის ერთნახევრიანი სულფიდების კრისტალოგრაფიული მონაცემები

სულფიდი	ფერი	სინგონია	სივრცული ჯგუფი	სტრუქტურული ტიპი	მესრის მუდმივა, Å			ლიტერატურა
					a	b	c	
θ -Yb ₂ S ₃	ნარინჯისფერი	კუბური	Ia3	Tl ₂ O ₃	12.47	-	-	[5]
ε -Yb ₂ S ₃	ყვითელი	რომბოედრული	R $\bar{3}$ c	კორუნდი	6.772	-	18.28	[5, 76]
					6.784	-	18.29	[77]
					6.66	-	12.28	[13, 77]
α -Yb ₂ S ₃	ნარინჯისფერი	კუბური	I $\bar{4}$ 3d	Th ₃ P ₄	8.224	-	-	[78]
					8.392	-	-	[5]

1.4. იმე-ს ერთნახევრიანი სულფიდების

ელექტროზიჰური

თვისებები

იმე-ს ერთნახევრიანი სულფიდების ელექტრული პარამეტრები შესწავლილი არ არის მათი ძალიან მაღალი კუთრი წინაღობის გამო.

იმე-ის სამვალენტიანი La_2X_3 შემადგენლობის პალკოგენიდები, რომლებსაც ეკუთვნიან ერთნახევრიანი სულფიდები, შექმნილია ქიმიური ვალენტობის წესით. ისინი ნაჯერი ნაერთებია, რომელთა კათიონური ქვემესრის ყოველი მეცხრე კვანძი ვაკანტურია. ისინი დაბალ ტემპერატურებზე დიელექტრიკებია, ხოლო ოთახის ტემპერატურაზე კუთრი წინაღობა $\sim 10^{10}$ ომი.სმ ტოლია [3,23]. კუთრი წინაღობების გაცილებით დაბალი მნიშვნელობები ამ შენაერთებზი ხშირად გამოწვეულია შემადგენლობის გადახრით სტექიომეტრიიდან ლითონის მეტი შემცველობის მხარეს, ან გარეშე ატომური მინარევებით.

Yb_2S_3 [24] და Pr_2S_3 [3] შენაერთებზი ადგილი აქვს კუთრი წინაღობის ნახევარგამტარებისათვის დამახასიათებელ ტიპიურ ექსპონენციალურ დამოკიდებულებას ტემპერატურაზე.

[25] ნაშრომში შესწავლილია Tm_2S_3 -ის და მასთან შემადგენლობით ახლოს მყოფი შენაერთების პოლიმორფულ მოდოფიკაციების კრისტალური აგებულებების თავისებურებები. ნაჩვენებია, რომ კრისტალური წყობის შექმნაში დიდ როლს თამაშობს სიმეტრია. დაგენილია კათიონური და ანიონური მატრიცების ურთიერთშეთანხმების კანონზომიერებები, რომლებიც განსაზღვრავენ ელემენტარული უჯრედის ზომებს. დადგენილია კუთრი კათიონური მოცულობების კავშირი სიმეტრიასთან.

[26] ნაშრომში შესწავლილია Gd_2S_3 -ის სითბოგამტარებლობა ნიმუშებისათვის, რომლებიც შეიცავდნენ გადოლინიუმის ჭარბ რაოდენობას. აღმოჩნდა, რომ Gd -ის კონცენტრაციის ზრდით სითბოგამტარებლობა ჯერ ინტენსიურად მცირდება, დამ ას შემდეგ, რაც მიაღწევს მინიმუმს, გადოლინიუმის 0,25 ატ% შემადგენლობისთვის იწყებს რამდენადმე ზრდას.

[27]-ში შესწავლით ანტიფერომაგნიტური გადასვლები და ელექტროგამტარებლობა α -Gd₂S₃ –ში. შესწავლით იქნა ამ მასალის როგორც ფხვნილები, ისე მონოკრისტალები. აღმოჩნდა, რომ მაგნიტურ ამოვისებლობას ფხვნილებისთვის გააჩნის მაქსიმუმი 4.2 K-ზე. მონოკრისტალებისთვის კუთრი წინაღობა უფრო ნაკლებია შესაბამისი ფხვნილების კუთრ წინაღობაზე და ის სუსტადაა დამოკიდებული ტემპერატურაზე.

იმე-ის სულფიდები პერსპექტიული მასალებია ოპტიკური სისტემების შესაქმნელად. ისინი საშუალებას იძლევიან სინათლის გამტარებლობა გაზრდილ იქნას 80 %-მდე [29]. ამჟამად გამოყენებულ ოპტიკურ კერამიკულ მასალებს მართალია გააჩნიათ მაღალი მახასიათებლები, მაგრამ მათი მექანიკური და ქიმიური მდგრადობა დაბალია. ამიტომ ინტენსიურად მიმდინარეობს ასეთი მასალების ძიება, რომლებსაც სხვა მაღალი მახასიათებლების გარდა გააჩნიათ გაზრდილი თერმომედუგობა და გამჭვირვალობის ფართო უბანი.

კვლევებმა აჩვენეს, რომ ასეთ მასალებს პირველ რიგში მიეკუთვნებიან იმე-ს ერთნახევრიანი სულფიდები (La_2S_3 , Ce_2S_3 , Gd_2S_3 , Tb_2S_3 , Tm_2S_3 , Yb_2S_3).

1.5. იმე-ის ერთნახევრიანი სულფიდების ოპტიკური თვისებები და ენერგეტიკული სამსახური

იმე-ს ერთნახევრიანი სულფიდების მაღალი ხარისხის სტექიომეტრული შემადგენლობის მოცულობითი კრისტალებისა და თხელი ფირების მიღება საკმაოდ რთულ ტექნოლოგიურ ამოცანას წარმოადგენს, რომელიც მთლიანად დღესაც არ არის დაძლეული. ამიტომ იმე-ს ერთნახევრიანი სულფიდების ოპტიკური თვისებები არ არის შესწავლილი.

კუთრი წინაღობების მაღალი მნიშვნელობების გამო იმე-ს ერთნახევრიანი სულფიდები ხასიათდებიან მაღალი გამჭვირვალობით სპექტრის საკმაოდ ფართო არეში. შთანთქმისა და არეკლის სპექტრების თავისებურებები შეიძლება აიხსნას np-სავალენტო ზონიდან გამტარებლობის ზონაში 5d,6s ელექტრონული გადასვლებით და გარდა ამისა ელექტრონების გადასვლების მონაწილეობით 4f-დონეებიდან, რომლებიც განლაგებულები არიან სავალენტო ზონაში [18,30]

Sm_2S_3 ოპტიკური თვისებები შესწავლილია ფხვნილებსა და თხელ ფირებზე 10 K ტემპერატურაზე. [30] ნაშრომში გაზომილ იქნა Sm_2S_3 შთანთქმის სპექტრი რომლის საშუალებითაც შეფასებულმა აკრძალული ზონის სიგანემ შეადგინა 2 ევ.

Yb_2S_3 ოპტიკური თვისებების გაზომვამ [17] აჩვენა, რომ ექსტრემუმებს შორის პირდაპირი დრეჩო 2.4 ევ რიგისაა. შთანთქმის კიდე, ისევე როგორც Sm_2S_3 -ში გამოწვეულია არაპირდაპირი ზონათა შორის გადასვლებით, სოლო აკრძალული ზონის სიგანე შეადგენს 2.04 ევ და უმცირესი პირდაპირი ზონათა შორისი დრეჩო ტოლია 4.2 ევ [17,31].

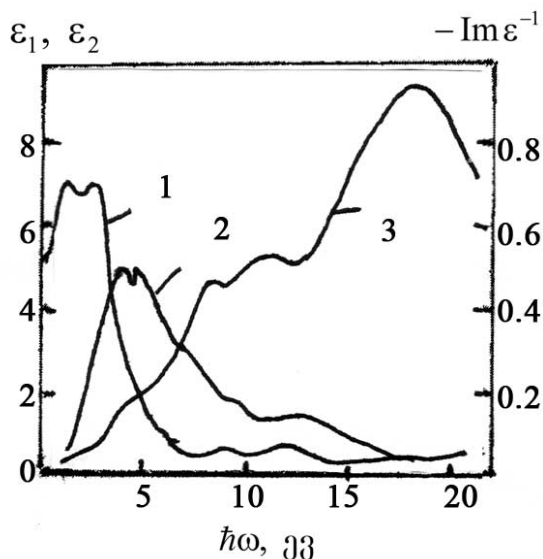
Dy_2S_3 ოპტიკური მახასიათებლები [32]-ში გამოკვლეულ იქნა მოცულობით მონოკრისტალებზე. ნაჩვენებია, რომ ფუნდამენტური შთანთქმით გამოწვეული ზოლი განლაგებულია 3-6ევ-ზე, ხოლო 2ევ-დან დამზერილი შთანთქმის კოეფიციენტის ზრდას აქვს ექსპონენციალური ხასიათი. ასეთივე დამოკიდებულება იყო აღმოჩენილი Dy_2S_3 ფირების თვისაც [17]. [32]-ში შთანთქმის კიდის ექსპონენციალურ დამოკიდებულებას უკავშირებენ ნიმუშის არაერთგვაროვნებას, ხოლო [17]-ში თვით Dy_2S_3 ბუნებასთან, საკუთრივ მის კვაზიამორფულობასთან, რომელიც უკავშირდება კათიონური გაკანსიების მაღალ კონცენტრაციას. Dy_2S_3 აკრძალული ზონის სიგანე 2.85 ევ-ია [32]-ის მიხედვით, ხოლო არაა ნაკლები 2.9 ევ-ზე [17]-ის მიხედვით. უმცირესი პირდაპირი ზონათა შორისი დრეჩო შეადგენს 2.95 ევ [33].

[34,35]-ში შესწავლილია Nd_2S_3 მონოკრისტალების შთანთქმის სპექტრი 0.2–3.0 ევ უბანში. [32]-ში გამოკვლეულია Nd_2S_3 არეკვლის სპექტრი 22 ევ-მდე. არეკვლის კოეფიციენტი იზრდება ფოტონების ენერგიის ზრდით და აღწევს მაქსიმალურ ნიშნულს 3.5–7 ევ უბანში. მკვეთრი მაქსიმუმი შეიმჩნევა 8–9 და 13–15 ევ უბანში. ანალოგიურ დამოკიდებულებას ადგილი აქვს La_2S_3 -ში.

ნახ. 1.4-ზე ნაჩვენებია Nd_2S_3 ოპტიკური ფუნქციების $\varepsilon_1(\omega)$, $\varepsilon_2(\omega)$ და ენერგიის დანაკარგების ფუნქციის სპექტრი [1].

$\varepsilon_2(\omega)$ სიდიდე უშუალოდ დაკავშირებულია კომბინირებულ მდგომარეობათა სიმკვრივესთან ზონათა შორისი ოპტიკური გადასვლებისათვის. შთანთქმის კიდიდან დაწყებული $\varepsilon_2(\omega)$ მკვეთრად იზრდება. ფართო მაქსიმუმი 3-6ევ ენერგიათა შუალედში ალბათ დაკავშირებულია ელექტრონებს ზონათა შორის გადასვლებთან გოგირდის P-

მდგომარეობებით შექმნილი საგალენტო ზონიდან იმე-ს ატომის $5d$ და $6s$ მდგომარეობებით შექმნილ გამტარებლობის ზონაში [1]. ამ ფუნქციების სპექტრი ანალოგიურია სხვა იმე-ს ერთნახევრიანი სულფიდების შესაბამისი სპექტრების. Nd_2S_3 შთანთქმის ენერგია შეადგენს 2.69 ევ [34], La_2S_3 -თვის – 1.9 ევ [36], Ce_2S_3 -თვის შთანთქმის კიდის ენერგიის მნიშვნელობა სხვადასხვა ნაშრომში სხვადასხვა – 2.0 ევ [36] და 2.6 ევ – [37].



ნახ. 1.4. Nd_2S_3 ოპტიკური ფუნქციების ϵ_1 (1), ϵ_2 (2) და ენერგიის დანაკარგების ფუნქციის $-Im\epsilon^{-1}$ (3) სპექტრები.

უნდა აღინიშნოს, რომ იმე-ს ერთნახევრიანი სულფიდების ოპტიკური ფუნქციების სპექტრების დეტალური ანალიზი გაძნელებულია ამ შენაერთების ზონური სტრუქტურის მონაცემების არაცალსახოვნების გამო.

1.6. I თავის დასკვნები. სადისერტაციო ნაშრომის მიზანი და ამოცანები

დისერტაციის I თავში მეცნიერული ლიტერატურის მიმოხილვის საფუძველზე შეიძლება გაკეთდეს შემდეგი დასკვნები:

1. იმე-ის სულფიდები წარმოადგენენ მნიშვნელოვან ინტერესს როგორც მეცნიერული კვლევის, ისე პრაქტიკაში გამოყენების თვალსაზრისით,

ვინაიდან მათ გააჩნიათ მრავალი უნიკალური და ხშირად ბოლომდე შეუსწავლელი ფიზიკური თვისებები.

2. იმე-ს სულფიდების მაღალი კრისტალური სრულყოფა და სტექიომეტრიული ნიმუშების მიღება წარმოადგენს საკმაოდ ძნელ ტექნოლოგიურ ამოცანას, რაც მთლიანად დაძლეველი არ არის, რაც განაპირობებს ამ მასალების ფიზიკური თვისებების შესწავლია დღევანდელ დონეს.
3. თანამედროვე ელექტრონული ტექნიკისთვის დიდი მნიშვნელობა აქვს შესაბამისი თხელფიროვანი ობიექტების მიღების ტექნოლოგიის დამუშავებას, მითუმეტეს, რომ მათი თვისებები შესაძლებელია მნიშვნელოვნად განსხვავდებოდეს შესაბამისი მოცულობითი ობიექტებისაგან და მათი შედარება ხელს ეწყობს მასალის თვისებების უფრო დრმად შესწავლას. სამეცნიერო ლიტერატურის მიმოხილვიდან ჩანს, რომ იმე-ს სულფიდების თხელი ფირების მიღების ტექნოლოგია მრავალი კონკრეტული შენაერთისათვის არაა დამუშავებული.
4. სრულად არ არის შესწავლილი, ზოგჯერ კი შეუსწავლელია და ამდენად საინტერესოც, როგორც მეცნიერული კვლევის, ისე პრაქტიკული გამოყენების თვალსაზრისით სხვადასხვა ტექნოლოგიური პარამეტრების გავლენა იმე-ს სულფიდების თხელი ფირების ფაზურ შემადგენლობასა და სტრუქტურაზე, ისევე, როგორც ფუძეშრის გავლენა მიღებული ფირების ხარისხზე.
5. სტექიომეტრიული შემადგენლობის იმე-ის ერთნახევრიან სულფიდებს გააჩნიათ მაღალი კუთრი წინაღობა, რაც მნიშვნელოვნად ზღუდავს მათ მეცნიერულ კვლევას და პრაქტიკულ გამოყენებას, ამიტომ აქტუალურია მათი მაღესტრული ელემენტის შერჩევა და ლეგირების ტექნოლოგიის დამუშავება. მით უმეტეს, რომ სამეცნიერო ლიტერატურაში ამ მიმართულებით მონაცემები არაა დაფიქსირებული.
6. იმე-ის სულფიდების თხელი ფირების ფიზიკური თვისებები არასაკმარისადაა შესწავლილი, ზოგიერთ შემთხვევაში მიღწეული პარამეტრები კი დაზუსტებას მოითხოვს მაღალი ხარისხის სტექიომეტრიულ ნიმუშებზე და ამდენად ამ შენაერთების ფოზიკური თვისებების გაღრმავებული კვლევა აქტუალურია სამეცნიერო-ტექნიკური თვალსაზრისით.

ამგვარად მიღებული დასკვნების საფუძველზე შეიძლება განისაზღვროს მოცემული სამუშაოს მიზანი და ამოცანები, რომლებიც შეიძლება ჩამოყალიბებულ იქნას შემდეგნაირად:

1. Tm, Pr და Nd-ის ერთნახევრიანი სულფიდების თხელი ფირების მიღების ტექნოლოგიის დამუშავება.

2. სხვადასხვა ტექნოლოგიური პარამეტრების გავლენის შესწავლა იმე-ის სულფიდების თხელი ფირების ფაზურ შემადგენლობასა და სტრუქტურაზე, ფუძეშრის მასალის გავლენის დადგენა ფირების ხარისხზე.

3. ტულიუმის, პრაზეოდიუმისა და ნეოდიუმის ერთნახევრიანი სულფიდების ფირების მალეგირებელი ელემენტის შერჩევა და ლეგირების ტექნოლოგიის დამუშავება.

4. Tm, Pr და Nd-ის ერთნახევრიანი სულფიდების თხელი ფირების ზოგიერთი ელექტრული, თერმული, გალვანომაგნიტური, ოპტიკური და მექანიკური თვისებების გამოკვლევა მათი ძირითადი ფიზიკური პარამეტრების დადგენის, დაზუსტების და მოცულობითი ობიექტების შესაბამის თვისებებთან შედარების მიზნით.

5. კადმიუმითა და ტყვიით ლეგირებული ტულიუმის, პრაზეოდიუმისა და ნეოდიუმის ერთნახევრიანი სულფიდების ელექტრული და ფოტოელექტრული თვისებების შესწავლა.

II თავი

თხელი ფირჩების მიღების ტექნოლოგიური, მაკონტროლებელი და ფიზიკური თვისებების შესტავლის მეთოდები

ამ თავში აღწერილია ვაკუუმურ-თერმული აორთქლების მეთოდით ფირების მიღებისთვის ჩვენს მიერ მოდერნიზებული სამრეწველო მოწყობილობები ორიგინალური კონსტრუქციის ფუძეშრის გამახურებელი ღუმელებითა და ნივთიერების ამაორთქლებლებით, რომლებიც ასაორთქლებელი მასალის სხვადასხვა მეთოდით გახურების (ჯოულის სითბო, ელექტრონების ნაკადი) საშუალებას იძლევიან. აქვე მოყვანილია ფირების ქიმიური შემადგენლობის და მათი ხარისხის მაკონტროლებელი აპარატურის აღწერა, ელექტროფიზიკური და ოპტიკური პარამეტრების გასაზომი ორიგინალური აპარატურის სქემები, გამოყენებული ფუძეშრის შერჩევის კრიტერიუმები.

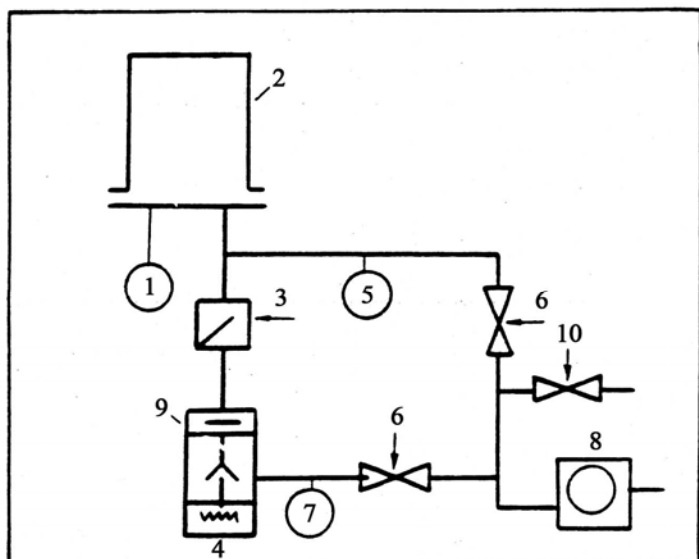
2.1. ვაკუუმურ-თერმული აორთქლების მეთოდით ფირჩების მისაღები დანადგარები

არსებობს მთელი რიგი მეთოდები თხელფიროვანი ობიექტების მიღებისათვის: ვაკუუმურ-თერმული აორთქლება, კათოდური და პლაზმური გაფრქვევა, თხევადფაზური და აირფაზური ეპიტაქსია, ელექტროქიმიური გამოლექვა.

ვაკუუმურ-თერმული აორთქლების მეთოდი ერთერთი ყველაზე უნივერსალურია და მისი საშუალებით შეიძლება ნებისმიერი ნივთიერების თხელი ფირების მიღება. ამისათვის ჩვენს მიერ მოდერნიზებულ იქნა УВН 75Р3 და ВУП-5 მარკის დანადგარები. ორივე შედგება სამი ძირითადი ნაწილისაგან – ვაკუუმური კამერა, ვაკუუმური სისტემა და ელექტრული ნაწილი.

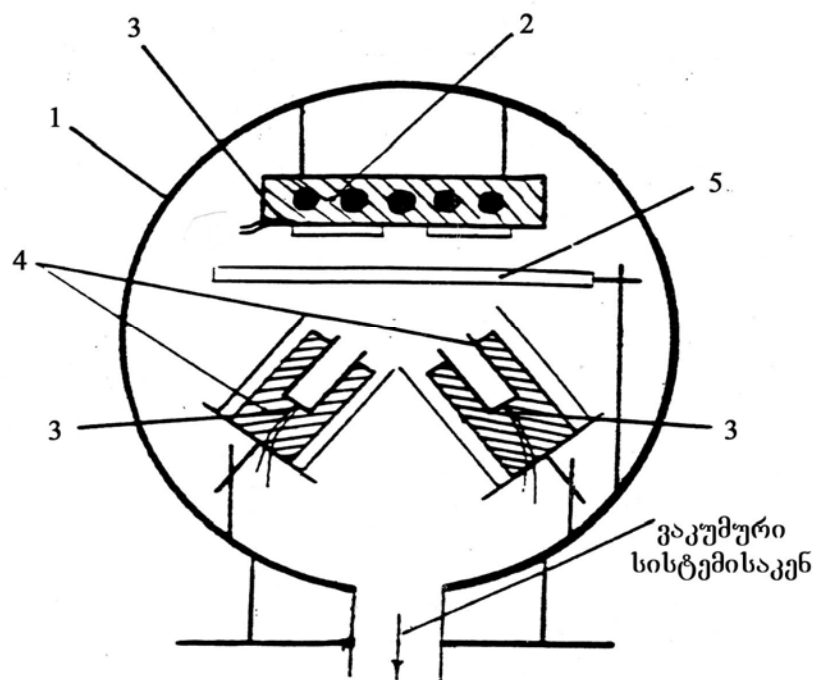
ვაკუუმური სისტემის სქემა მოცემულია ნახ. 2.1-ზე. თავდაპირველად ხდება ვაკუუმური კამერის ამოტუმბვა მექანიკური ტუმბოთი (8). კამერაში ამგვარად

მიიღწევა $\sim 10^{-2}$ - 10^{-3} მმ.გწყ.სვ. ვაკუუმი. $\sim 10^{-6}$ მმ.გწყ.სვ. საბოლოო ვაკუუმის მიღება ხორციელდება (4) დიფუზიური ტუმბოთ. აირების დაბალტემპერატურული ჩამჭერი (9), რომელიც თხევადი აზოტით ცივდება, ამცირებს ფირების გაჭუჭყიანების შესაძლებლობას. კამერასა და დიფუზიურ ტუმბოს აცივებს წყლის გაცივების სისტემა. მაღალი ვაკუუმის მხრიდან ძირითადი არხის გადაკეტვა ხდება (3) ჩამჭეტით, ხოლო ძირითადი და დამხმარე არხების განმხოლოება (6) ჩამჭეტით. ჰაერშემშვების როლს ასრულებს ვენტილი (10). $\sim 10^{-3}$ მმ.გწყ.სვ. ვაკუუმის გაზომვა ხდება თერმოწყვილური მანომეტრებით (5,7), ხოლო მაღალი ვაკუუმის გასაზომად გამოიყენება იონიზაციური მანომეტრი (1).

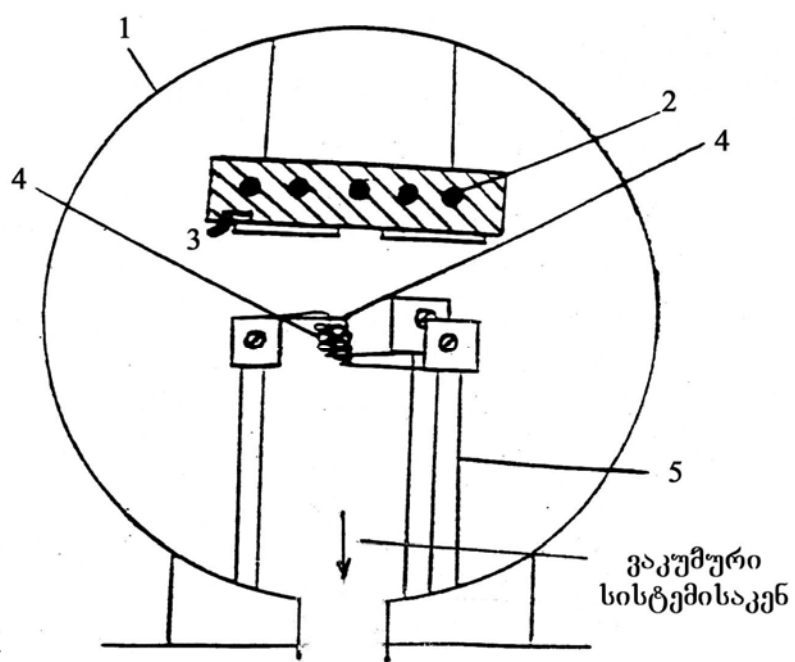


ნახ. 2.1. ტექნოლოგიური დანადგარის ვაკუუმური სისტემის სქემა.

YBH 75P3 მარკის ვაკუუმურ კამერაში შექმნილია ორი სექტორი. პირველ სექტორში ხდება ფირების მიღება კომპონენტების ორი დამოუკიდებელი წყაროდან აორთქლების მეთოდით, მეორეში – ელექტროფიზიკური პარამეტრების გასაზომად საკონტაქტო მოედნების დაფენა.



ნახ. 2.2. (I) YBH 75P3 ტექნოლოგიური დანადგარის ვაკუმური კამერის
მოწყობილობა (I-სექტორი)



ნახ. 2.2.(II) YBH 75P3 ტექნოლოგიური დანადგარის ვაკუმური კამერის
მოწყობილობა (II-სექტორი)

ნახ.2.2. (I)-ზე ნაჩვენებია ვაკუუმური ქამერის I სექტორის სქემა. ზედა ნაწილში დამაგრებულია ფუძეშრის გამახურებელი ღუმელი (2), რომელზეც ფიქსირდება ფუძეშრე სათანადო კონფიგურაციის მქონე ნიღბით (3). კონსტრუქცია საშუალებას იძლევა ამაორთქლებლებსა და ფუძეშრის გამახურებელ ღუმელს შორის მანძილი საჭიროების მიხედვით დავარეგულიროთ.

კამერის ქვედა ნაწილში განთავსებულია ტულიუმის და გოგირდის ამაორთქლებლები (4), რომელთა დამჭერების კონსტრუქცია საშუალებას იძლევა დარეგულირდეს აორთქლებული მასალის ორთქლის ნაკადის ფუძეშრეზე დაცემის კუთხე და მანძილები. გამახურებელსა და ამაორთქლებელს შორის მოთავსებულია საფარი (5), რომელიც ბრუნავს ელექტროძრავით (УВН 75Р3) და კამერის გარეთ გამოყვანილი სახელურით (ВУП-5). საფარის გახსნახდება მაშინ, როცა კამერაში მიღწეული და დაფიქსირებულია ყველა ტემპერატურული რეჟიმი, საფარის დახურვა კი ხდება უშუალოდ ფირის დაფენის პროცესის დასრულების შემდეგ.

ნახ.2.2 (II)-ზე ნაჩვენებია კამერის II სექტორი სქემა. განსხვავება I სექტორისაგან მხოლოდ ქრომისა და სპილენძის ამაორთქლებლებია, რომლებსაც სპირალური ფორმის კალათების ფორმა აქვთ და ბოლოებით მიმაგრებულია (5) ელექტრული კვების მიმყვანებთან.

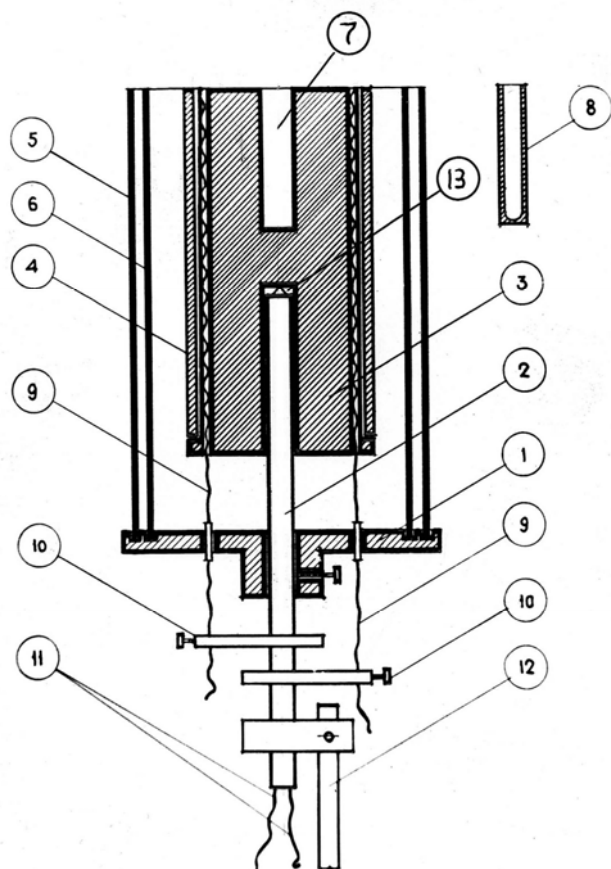
I და II სექტორები ტექნოლოგიურ პროცესებში ურთიერთ გაჭუჭყიანებისაგან დაცვისათვის ერთმანეთისაგან იზოლირებულია უჟანგავი ფოლადის თხელი ტიხარით. კამერის ყველა დეტალი, რომელიც განიცდის სითბურ ზემოქმედებას, დამზადებულია ისეთი მასალისაგან, რომელიც არ შედის რეაქციაში გოგირდთან, ტულიუმთან, ქრომთან და სპილენძთან, გახურებისას არ ორთქლდება, გააჩნია დნობის მაღალი ტემპერატურა. ასეთი მასალებია მოლიბდენი, ტანტალი, ვილფრამი, გრაფიტი და უჟანგავი ფოლადი.

ამაორთლებელი უნდა აკმაყოფილებდეს მთელ რიგ მოთხოვნებს:

- ა) ამაორთქლებლის მასალის ორთქლის წნევა ბევრად ნაკლები უნდა იყოს ასაორთქლებელი მასალის ორთქლის წნევაზე; ბ) ამაორთქლებლისა და ასაორთქლებლის მასალას შორის ქიმიურ რეაქციას ადგილი არ უნდა პქონდეს;
- გ) ამაორთქლებელი უნდა უზრუნველყოფდეს საჭირო ტემპერატურას, აორთლებისათვის საჭირო სიჩქარეს, ტემპერატურის სტაბილურობას და ორთქლის ნაკადის სათანადო სიმკვრივეს; დ) საშუალებას უნდა იძლეოდეს ამაორთქლებელსა და ფუძეშრეს შორის მანძილისა და ორთქლის ნაკადის

დაცემის კუთხის რეგულირების; ე) ამაორთქლებელი უნდა იყოს მრავალჯერადი გამოყენების.

ნახ.2.3-ზე ნაჩვენებია ამაორთქლებელი, რომლის გრაფიტისაგან დამზადებულ კორპუსს (3) აქვს ცენტრალური დერძის გასწვრივ თრი გამჭოლი ნახვები: (7) – ში ჯდება მოლიბდენის ცილინდრული ტიგელი (8) ტულიუმისა და გოგირდის ასაორთქლებლად და (13) – ალუნდის ორარხიან მილში გაყრილი ქრომელ-ალუმელის თერმოწყვილი (11), რომელიც უშუალოდ ეხება ტიგელის ფსკერს. კვარცის მილებში ჩასმულია ვოლფრამის სპირალები (9), რომლებიც დენის გავლისას ხურდება და სასურველ ტემპერატურას იძლევა. ამაორთქლებლის ირგვლივ განლაგებულია ტანტალის თბური ეკრანები (4, 5, 6). ისინი არ ეხებიან არც ამაორთქლებელს და არც ერთმანეთს.

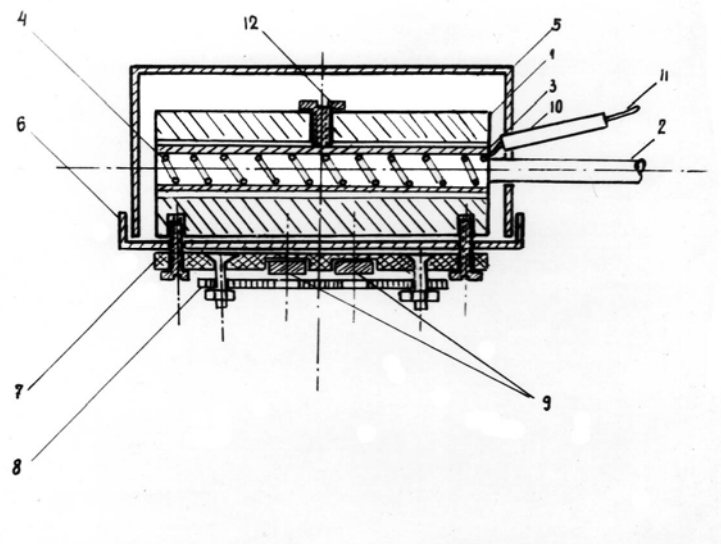


ნახ. 2.3. იმჟ-ს და გოგირდის ამაორთქლებლის კონსტრუქციის სქემა

მათი დანიშნულებაა სითბოს გაფანტვის მინიმუმამდე შემცირება და ტემპერატურის სტაბილურობა. ტიგელი შესაძლოა ვოლფრამისაც იყოს, მაგრამ

მისი მექანიკური დამუშავება უფრო რთულია. ყოველი აორთქლების პროცესის შემდეგ ტიგელი უნდა გამოიწვას.

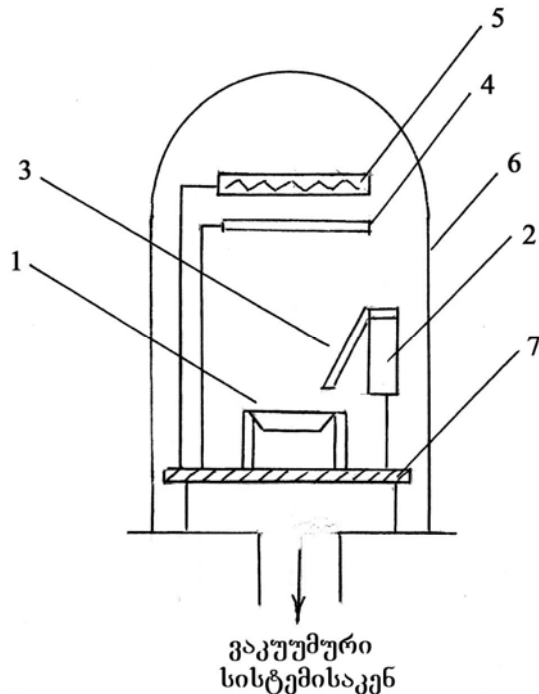
ნახ. 2.4-ზე მოცემულია ფუძეშრის გამახურებლის სქემა, რომელიც ამავდროულად ფუძეშრის სამაგრის როლსაც ასრულებს. გამახურებლის კორპუსი უქანგავი ფოლადისაა (1), რომელშიც პორიზონტალურად გაყრილია კვარცის მილი (2), ვოლფრამის სპირალით (3). კორპუსზე დამაგრებულია მოლიბდენის კილიტისაგან დამზადებული ეკრანები (5,6) და ფუძეშრის სამაგრები (7), დამზადებული უქანგავი ფოლადისაგან. ფუძეშრები სამაგრზე დაფიქსირებულია ბერილიუმიანი ბრინჯაოს ტრაფარეტით (8). სპირალს ელექტრული კვება მიეწოდება მიმყვანებით (10). აღნიშნული კონსტრუქციის ღუმელით შესაძლებელია ფუძეშრის გახურება 1300 K-ზდე.



ნახ. 2.4. ფუძეშრის გამახურებლის სქემატური გამოსახულება

იმუს შენაერთების მიღება დისკრეტული აორთქლების მეთოდით ხდებოდა ВУП-5 მარკის გაკუმურ პოსტზე, რომელიც ჩვენს მიერ იქნა მოდერნიზებული (ნახ. 2.5). სამუშაო მაგიდაზე (7), რომელიც გაკუმურ კამერაშია (6) მითავსებული, განთავსებულია ნავის ფორმის (1) ტანტალის, მოლიბდენის ან ვოლფრამის კილიტისაგან დამზადებული ამაორთქლებელი. ვიბრომკვებავს (2), რომელიც დოზირებულად აწვდის მიმმართველი დარიდან (3) მასალას ამაორთქლებელს, შესაძლოა სასურველი მდებარეობა მივცეთ. ასევე სასურველ

მდებარეობას იჭერს ფუძეშრის გამახურებელი (5), რომელიც დაფარულია საფარით (4). საფარის გახსნა-დაკეტვა კამერის გარეთ გამოყვანილი ღილაკით ხდება. ამაორთქლებლის ტემპერატურის გაზომვა ხდებოდა ОПИР-17 მარკის პირომეტრით.



ნახ. 2.5. ВУП-5 მარკის ვაკუუმური პოსტის სქემატური გამოსახულება

ქრომისა და სპილენბის საკონტაქტო მოედნების დასაფენად გამოყენებულ იყო 5 მმ დიამეტრიც ვოლფრამის მაგთულისაგან დამზადებული კონუსის ფორმის კალათა. სასურველი ფორმის შაბლონი ფუძეშრებზე სპეციალური სამაგრებით მაგრდებოდა.

2.2. ფუძეშრისადმი ჟაზენებული მოთხოვნები და გაფენების მეთოდის

სამწუხაროდ, იდეალური მასალები ფუძეშრების დასამზადებლად არ არსებობს. იმის მიხედვით, თუ რა მოთხოვნები წაეყენება თხელ ფირებს, ფუძეშრებად გამოიყენება ის მასალა, რომელიც დააკმაყოფილებს ამ მოთხოვნებს. ვაკუუმურ-თერმული აორთქლებით ფირების მომზადებისას ფუძეშრების მასალებისთვის უმთავრესია:

1. დასაფენი მასალის მიმართ ქიმიური ინერტულობა;
2. კარგი ადგეზია ფირის მასალასთან;
3. დასაფენი მასალის და ფუძეშრის სითბური გაფართოების კოეფიციენტების სიდიდეთა სიახლოვე;
4. მაღალი თერმომედეგობა;
5. საკმარისი მექანიკური სიმტკიცე;
6. მაღალი მოცულობითი და ზედაპირული კუთრი ელექტროწინაღობა;
7. კარგი ვაკუუმური თვისებები;
8. ატომურად გლუვი ზედაპირების არსებობა.

ნაშრომში ფუძეშრეებად გამოყენებულ იყო მინის, კვარცის, სიტალის, ლეიკოსაფირონის და მონოკრისტალური სილიციუმის $8 \times 15 \times 0,5$ მმ ზომის მართკუთხა პარელეპიპედის ფორმის ფუძეშრეები, რომელთა ზედაპირებიც პოლირებული იყო, უსწორმასწორობის ზომები კი არ აღემატებოდა 0.01 მკმ-ს.

ფუძეშრის ზედაპირის სისუფთავე გადამწყვეტი ფაქტორია მაღალი ხარისხის ფუძეშრესთან ძლიერი ადგეზიის მქონე ფირების მომზადების საქმეზში. კარგად გაწმენდილი ფუძეშრე ასევე წარმოადგენს წინასწარ აუცილებელ პირობას კარგად განმეორებადი თვისებების მქონე თხელი ფირების აღწარმოებისთვის. გაწმენდის მეთოდიკის შერჩევა დამოკიდებულია ფუძეშრის ბუნებაზე, გაჭუჭყიანების ტიპზე და დამუშავების ხარისხზე. ყველაზე ფართოდ გავრცელებული გაჭუჭყიანების სახეებია: ჰაერიდან გამოლექილი ნაწილაკები, თითის ანაბეჭდები, წყლის ორთქლი, ზეთის კვალი, დამზადების და შეფუთვისას დარჩენილი ბოჭკოები და ა.შ. როგორც წესი, გაწმენდის მეთოდის შერჩევა გაჭუჭყიანების მრავალი სახეობის და გაწმენდის მეთოდების ფართო არჩევანის გამო უფრო ემპირიულ ხელოვნებას წარმოადგენს, ვიდრე მეცნიერებას.

ფუძეშრის გაწმენდის პროცესი მოითხოვს კავშირის გაწყვეტას როგორც მინარევის მოლეკულებს, ისე ამ მოლეკულებსა და ფუძეშრის მოლეკულებს შორის. ეს შესაძლებელია მოდწეულ იქნას როგორც ქიმიური მეთოდებით, მაგალითად გამსხველები გაწმენდით, ასევე მინარევის ატომების ასაორთქლებლად საკმარისი ენერგიის მოდებით, მაგალითად გახურებით ან იონური ბომბარდირებით. როგორც წესი, გაწმენდის პროცესი მაშინვე დამთავრებულად ითვლება, როგორც კი მოშორებულ იქნება მინარევის ფენა, მაგრამ ხშირად დასაშვებია თვით ფუძეშრის მასალის ოდნავ მოწამვლაც, რაც გაწმენდის პროცესს აუმჯობესებს. სხვადასხვა გამსხველებით გაწმენდის პროცესი ტარდება

ვაკუუმური სისტემის გარეთ, მაშინ, როდესაც გაწმენდის პროცესი გახურებით ან იონური ბომბარდირებით ხორციელდება ვაკუუმურ კამერაში.

ზოგადად ცნობილია ფუძეშრის გაწმენდის შემდეგი მეთოდები: ქიმიური გაწმენდა, გახურება ვაკუუმში, ფუძეშრის დამუშავება მღვივარი განმუხტვით, შესაბამისი ზედაპირის ელექტრონებით ბომბარდირება, ულტრაბგერითი გაწმენდა და ა.შ. ხშირად გაწმენდის ეფექტურობის მისაღწევად გამოიყენება ჩამოთვლილი მეთოდების კომბინაცია.

ქიმიური მეთოდით გაწმენდისას რეაგნტებად გამოიყენება მჟავებისა და ტუტების წყალსნარები, ასევე ისეთი ორგანული გამსსნელები, როგორებიცაა სპირტები, კეტონები და ქლოროვანი ნახშირწყალბადები. მჟავებით გაწმენდის ეფექტი იმაშია, რომ მათ ზოგიერთი ჟანგეულები და ცხიმები გადაჰყავთ წყალში სნად მდგომარეობაში.

გაწმენდის ეფექტური საშუალებაა გამოწვა მაღალ ტემპერატურაზე ვაკუუმში. თუ მაღალ ვაკუუმში მოთავსებულ ფუძეშრეს გავახურებთ $600\text{--}1000^{\circ}\text{C}$ -მდე, ადგილი ექნება მთელი რიგი მინარევების მოლეკულების მოცილებას ზედაპირიდან.

ფუძეშრის ზედაპირის სისუფთავის შემოწმების პრიმრტიული ხერხი მოცემულია [38]-ში. ეს მეთოდი ამავე დროს ეფექტურიცაა და პირობითად “დაორთქლების ფიგურების” მეთოდი ეწოდება. ამ დროს ექსპერიმენტატორმა ოდნავ უნდა შეუბეროს სული შესამოწმებელ ზედაპირს. ორთქლი კონდენსირდება ფუძეშრის ზედაპირზე და წარმოქმნის ე.წ. “დაორთქლების ფიგურებს”. თუ ფუძეშრე საკმაოდ არ არის გაწმენდილი, წარმოიქმნება მქრქალი ზედაპირი, რომელიც შედგება წყლის მცირე ზომის წვეთებისაგან. თუ ზედაპირი კარგადაა გაწმენდილი, წყლის ორთქლის მოლეკულებს შორის შეჭიდულობის ძალები ნაკლებია, ვიდრე ამ მოლეკულებსა და ფუძეშრის ატომებს შორის და ამიტომ წყალი კონდენსირდება ოპტიკურად ერთგვაროვანი ფენის სახით, რომელიც წარმოადგენს შავ სარკისებურ წყლის აფსკს, რომელსაც “სუნთქვს შავ ფიგურას” უწოდებენ. სპეციალურმა გამოკვლევებმა აჩვენეს, რომ ისეთ ფუძეშრეებზე, რომლებზედაც წარმოიქმნება “სუნთქვითი შავი ფიგურები”, მიიღება მაღალი ხარისხის კარგი ადგეზიის ფირები.

მოცემულ სამუშაოში ფუძეშრეების გაწმენდას ვაწარმოებდით შემდეგნაერად: თავდაპირველად ხდებოდა ფუძეშრეების დამუშავება 20% NaOH სნარში, შემდეგ ფუძეშრეები ირცხებოდა დისტილირებულ წყალში. ამის შემდეგ ხდებოდა ზედაპირის მოწამვლა $30\%\text{HCl}+60\%\text{HNO}_3+10\%\text{H}_2\text{O}$ ნარევით. მარილმჟავას და

აზოტმჟავას კონცენტრაცია შეადგენდა 99.8%. მოწამვლის შემდეგ ფუძეშრე ირეცხებოდა ისევ დიატილირებული წყლით და ამის შემდეგ ისინი გადაიტანებოდა ვაკუუმურ კამერაში, სადაც ხდებოდა მათი გამოწვა 30-45 წთ-ის განმავლიბაში 600-1000°C ტემპარატურაზე ~10⁶ მმ.გწყ.სვ. ვაკუუმის პირობებში.

ხშირად ვაკუუმურ კამერაში გამოწვის წინ ფუძეშრეებს ვწმენდით 1-2 წთ-ის განმავლობაში აქტივიზირებული ნახშირის ფხვნილით, რომელიც დატანილ იყო მფილტრავ ქაღალდზე, ფხვნილის ნარჩენებს ვაშორებდით ცხიმმოცოლებული სუფთა ქაღალდით.

УВН 75Р3 დანადგარზე ფირის მომზადებისას ვაწარმოებდით ფუძეშრის ზედაპირის გასუფთავებას ელექტრონული ბომბარდირებით 1-2 წთ-ის განმავლობაში. გაწმენდის ამ მეთოდს აქვს ერთი ნაკლი, რომელიც მდგომარეობს გასაწმენდი მასალის გაჭუჭყიანებაში კათოდიდან აორთქლებული ადგილად აქროლადი ვოლფრამის ორჟანგით – WO₂, აგრეთვე ნახშირწყალბადის დაშლის პროდუქტებით, რომელიც ყოველთვის არის ნარჩენი აირში.

მრავალრიცხოვანმა ექსპერიმენტმა აჩვენა, ზემოთ აღწერილი ნაჩვენები ტექნოლოგიით დამუშავებულ ფუძეშრეზე მომზადებული ფირების სტრუქტურა საკმაოდ სრულყოფილია და ადგეზიაც მაღალია.

2.3. ფირების სისქის კონტროლი

ფირების სისქის გაზომვა მაღალი სიზუსტით საკმაოდ რთული ამოცანაა. ჩვენს ნაშრომში მომზადებული ფირების სისქის გაზომვა ხდებოდა ფართოდ გავრცელებული სამრეწველო ხელსაწყოთი – ლინნიკის მიკროინტერფერომეტრით МИИ-4, რომლის მოქმედების პრინციპი დამყარებულია ფუძეშრიდან და მასზე დაფენილი ფირიდან არეკლილი სინათლის სხივების ინტერფერციაზე.

ფირის სისქის გაზომვა ხდებოდა ფუძეშრესა და ფირს შორის არსებული საფეხურის გამოყენებით. იმ შემთხვევაში, როცა ასეთი საზღვარი არ არსებობდა ან მკაფიო არ იყო, ხდებოდა ფირის გარკვეული ნაწილის მექანიკურად მოშორება ფუძეშრიდან და ამრიგად საფეხურის ხელოვნურად შექმნა.

თეთრი ფერის სინათლის შემთხვევაში ფირის სისქის საანგარიშო ფორმულას შემდეგი სახე აქვს:

$$d = 0.27 \frac{N_3 - N_4}{N_1 - N_2} n \quad (2.1)$$

სადაც d -ფირის სისქეა, მკბ;

N_1, N_2 – ზოლებს შორის ინტერვალის გაზომვისას აღებული ანათვლები;

N_3, N_4 – ზოლის გადაღუნვის სიდიდის გაზომვისას აღებული ანათვლები;

n – ზოლებს შორის ინტერვალების რიცხვი.

გაზომვას ვაწარმოებდით ფირის კიდეებზე რამოდენიმეჯერ სხვადასხვა ადგილას და ფირის საბოლოო სისქედ ამ გაზომვების საშუალო არითმეტიკულს ვიღებდით.

აღწერილი მეთოდიკით გაზომვის სიზუსტე არ არის მნიშვნელოვნად მაღალი და შეადგენს 10-30%. მინინალური სისქე, რომლის გაზომვაც შესაძლებელია ამ მიკროინტერფერომეტრით ~0,03 მკბ-ს ტოლია.

2.4. ონეტბენოდიფრაშვილი და ელექტრონობრავიული კვლევის მეთოდი

ფაზური შემადგენლობისა და კრისტალურობის კონტროლი განსაკუთრებით მნიშვნელოვანის ახალი შენაერთის ფირების მიღებისას, ვინაიდან მათი ცოდნა საშუალებას იძლევა გაზომილი ფაზური პარამეტრები მიეწეროს შესაბამის ნაერთს და არა მხოლოდ კონკრეტულ ნიმუშს.

არსებობს ფაზური ანალიზის მეთოდები: ფიზიკო-ქიმიური, ელექტროფიზიკური ანუ დიფრაქციული – რენტგენული, ელექტრონო- და ნეიტრონო-გრაფიული.

რენტგენოდიფრაქციული მეთოდი გდმოირჩევა სიმარტივით, რადგან არ მოითხოვს ნიმუშის მომზადების რთულ პროცედურებს. ამასთან ის გამოირჩევა მაღალი სიზუსტით კრისტალური მესრის პარამეტრების განსაზღვრისთვის.

რენტგენოდიფრაქტოგრამების გადაღება მიმდინარეობდა ДРОН-1 ტიპის რენტგენულ აპარატზე ნიკელის ფილტრით CuK α მონოქრომატულ გამოსხივებაზე უწყვეტი ჩაწერის რეჟიმში 1 გრად/წთ სიჩქარით. მესრის პარამეტრის უფრო მეტი

სიზუსტით დადგენისათვის ჩაწერის რეჟიმი შესაძლოა შემცირდეს 0,25 გრად/წთ – მდე. იმპულსების დიაპაზონი 200-500 იმპ/წთ იყო. ამაჩქარებელი ძაბვა $U = 45$ კვ, ანოდური დენი $I=22$ მლა. დიაფრაგმების სიდიდე კოლიმატორისა და მრიცხველისთვის შესაბამისად 0,5 და 0,4 მმ, ფირები მაგრდებოდა სამაგრზე ΓΠ-5, რომელიც უზრუნველყოფს მის ბრუნვას ფირის ზედაპირის ნორმალის პარალელურად.

ექსპერიმენტალურად მიღებულ რენტგენოდიფრაქტოგრამებზე არსებულ მაქსიმუმებს ვადარებდით ქიმიური შენაერთის არეკვლის მაქსიმუმებს, რომლებსაც ვიღებდით ASTM (American Society for Testing Materials) კატალოგიდან ან არსებული სხვა სამეცნიერო ლიტერატურიდან.

ექსპერიმენტულად მიღებული რენტგენოდიფრაქტოგრამების საშუალებით ვადგენდით მიებული ფირის კრისტალური მესრის პარამეტრებს.

ზოგიერთ შემთხვევაში ეს მეთოდი ნაკლებად ეფექტური იყო, რადგან რენტგენის სხივები ღრმად აღწევს ნიმუშში და შესაძლოა დაფიქსირდეს ფუძეშრის მაქსიმუმებიც. ამიტომ რენტგენოდიფრაქციულ მეთოდს ავსებს ელექტრონოგრაფიული ანალიზის მეთოდი, სადაც რენტგენის სხივებს ცვლის ელექტრონების ნაკადი. ამ შემთხვევაში 20-100 კვ ძაბვისთვის ელექტრონების ტალღის სიგრძე $1\frac{1}{2}$ რიგით ნაკლებია რენტგენის ტალღის სიგრძეზე და ტოლია $0,08-0,03\text{\AA}$. ელექტრონული დიფრაქციის სურათი შეიძლება მიღებულ იქნას ფოტოფირზე. გამოყენებულ იყო УЭМВ-100К მარკის ელექტრონული მიკროსკოპი 75-100 კვ ამაჩქარებელი ძაბვით.

2.5. ქიმიური შემადგენლობის კვლევის მეთოდები

ქიმიური ნაერთების თხელი ფირების ქიმიური შემადგენლობის დასადგენად ფართოდ გამოიყენება რენტგენული მიკროანალიზის (რმა) და ელექტრონული ოჭვ-სპექტროსკოპის (ეოს) მეთოდები. რმა –ით განისაზღვრება ფირის მთელ სისქეში შენაერთის ინტეგრალური ქიმიური შემადგენლობა, ხოლო ეოს-ით – ფირის ზედაპირზე, ამიტომ ეს მეთოდები იძლევიან ამომქურავ პასუხს ფირის ქიმიური შემადგენლობის შესახებ.

რმა მაღალი ლოკალური მგრძნობიარობით ($10^{-13}-10^{-15}$ გ), მაღალი სიზუსტით და ნიმუშის მთლიანობის დაურღვევლობით ხასიათდება. საკვლევი

ობიექტის ბომბარდირება ხდება ელექტრონების კონით, ე.წ. მიკროზონდით, დიამეტრით 1 მკმ-მდე. ელექტრონების ენერგია 10-30 კევ-ია. ბომბარდირებისას ადგილი აქვს ნიმუშის ელემენტისათვის დამახასიათებელ რენტგენულ გამოსხივებას, რაც რეგისტრირდება კრისტალოსკეპტრომეტრით ან ენერგოდისპერსიული დეტექტორებით. მიღებული ტალღის ინტენსივობას ადარებენ სუფთა ელემენტის ინტენსივობას, რაც დეტალურად აღწერილია [39]-ში.

ფირების ქიმიური შემადგენლობის დადგენა ხდებოდა “CAMEBAH-MICROBEAM” დანადგარზე ელექტრო-გამომთვლელი მანქანის PDP-11/73 გამოყენებით.

ეოს საშუალებას იძლევა გამოკვლეულ იქნას ქიმიური კავშირის ტიპი და ფირის შემადგენლობა უშუალოდ ზედაპირთან ახლოს ერთი მონოფენის რიგის ტოლი მონომგრძნობიარობით. ეს მეთოდი არეგისტრირებს 0,1 ატ%-მდე კონცენტრაციას. ამავე დროს ამ მეთოდით შესაძლებელია, ფირების სისქის გაზომვა, რაოდენობრივი ანალიზის ჩატარება [40].

მოცემულ ნაშრომში კვლევა ტარდებოდა “Riber” მარკის ოუკ სპექტრომეტრზე.

2.6. იშვიათმიზა იონის ვალენტობის განსაზღვრის მეთოდიკა

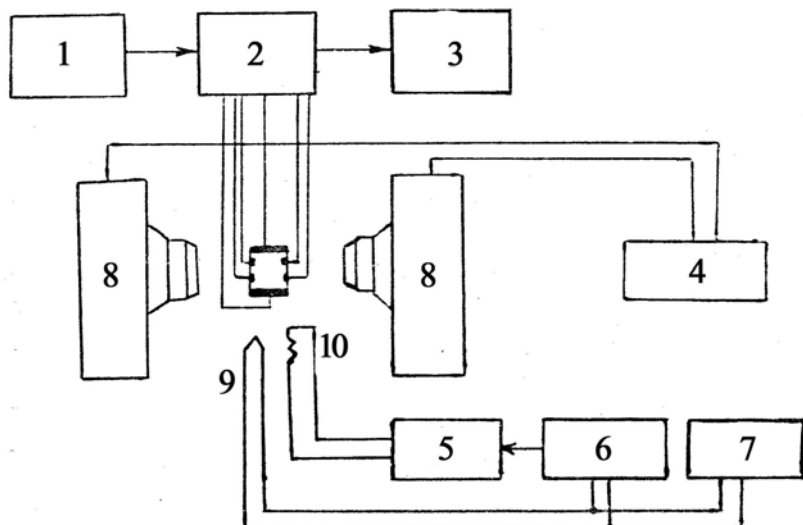
აღნიშნული შენაერთების მიმართ განსაკუთრებული დაინტერესების მიზეზი მათ მიერ ცვლადი ვალენტობის გამოვლენაა. იმა –ს უმრავლესობაში ვალენტობის რიცხვი +3 და +4 შორისაა, ხოლო Ce და Pr +2 და +3 შორის. ამჟამად შუალედური ვალენტობის დადგენის გავრცელებული მეთოდია რენტგენსკოპიული მეთოდი, კონკრეტულად რენტგენოვლექტრონული მეთოდი და რენტგენის ხაზების წანაცვლების და რენტგენული აბსორბციული LIII-სპექტროსკოპია [40]. ამ უკანასკნელით ხდებოდა ჩვენს მიერ შუალედური ვალენტობის განსაზღვრა. ამ მეთოდს საფუძვლად უდევს შთანთქმის LII და LIII სპექტრებში მთავარი მაქსიმუმის ენერგიის დამოკიდებულება ელექტრონების რიცხვზე. მაქსიმუმის წანაცვლება 0.2-0.3 ევ სიზუსტით დადგენილი ენერგიის სკალაზე 7-8 ევ-ის ტოლია და საშუალებას იძლევა შუალედური ვალენტობის მქონე იონის კონფიგურაციის განსაზღვრისთვის.

იმე-ს გალენტობის დადგენა ხდებოდა САРФ (Спектрометр автоматизированный рентгеновский флуоресцентный) მარკის მოდერნიზებულ დანადგარზე ტალღის სიგრძის ფართო დიაპაზონში. რენტგენის სხივი ჯერ კრისტალ-ანალიზატორს ხვდება, შემდეგ იშლება სპექტრად და შედის ტუბუსში. მის ბოლოებზე დაყენებულია სილფონების სისტემა, რომელიც უზრუნველყოფს ქორდის ცვლილებას გულფ-ბრეგის სხვადასხვა კუთხეებისათვის. კრისტალის ქორდის სიგრძის ცვლილება საშუალებას იძლევა განისაზღვროს გამოსხივების ტალღის სიგრძე. სპექტრომეტრის გარეთ განთავსებული დეტექტორის რეზისტორი ანოდის ბოლოებიდან ვიღებთ ინფორმაციას ქვანტის კოორდინატის შესახებ, რომელიც დამუშავების შემდეგ გამოიყვანება ორკოორდინატიან თვითჩამწერზე.

2.7. ელექტროფოზიკური, რატიოკური და ფოტოელექტრული თვისებების კვლევის მეთოდიკა

2.7.1. კუთრი ფინალობისა და პოლის მუდმივას ბანსაზღვრა

კუთრი წინადობისა და პოლის მუდმივას ტემპერატურული დამოკიდებულების შესწავლა ხდებოდა ნახ.2.6-ზე სქემატურად ნაჩვენებ დანადგარზე.



ნახ. 2.6 კუთრი წინადობისა და პოლის მუდმივას ტემპერატურაზე დამოკიდებულების შესასწავლი დანადგარის ბლოკ-სქემა

დანადგარი შედგება სამი ძირითადი ნაწილისაგან:

1. გამოსაკვლევი ფირის ელექტრული კვებისა და გაზომვის სისტემა;
2. ნიმუშის ტემპერატურების გამზომ-მარებულირებელი სისტემა;
3. მაგნიტური უზრუნველყოფის სისტემა.

პირველ სისტემას განეკუთვნება კვების ბლოკი (1), მართვის ბლოკი (2) და გამზომი ბლოკი (3). მართვის ბლოკით ხდება ნიმუში გამავალი დენის მიმართულების ცვლა, სიდიდის რეგულირება, სიგნალების საჭირო პოლარობით მიწოდება გამზომ ბლოკზე – ციფრულ ვოლტებრზე. კვების ბლოკი უზრუნველყოფს ნიმუშზე სტაბილური დენის მიწოდებას.

მეორე სისტემის შემადგენელი ნაწილებია: გამახურებელი (10), გამახურებლის კვანძის წყარო (5), რომელსაც მართავს ტემპერატურის რეგულატორი (6), რომელიც სპილენძ-კონსტანტის თერმოწყვილით (9) იღებს ინფორმაციას ნიმუშის ტემპერატურის შესახებ და შესაბამისად ცვლის გამახურებელში გამავალ დენს. თერმოწყვილიდან მიღებული ინფორმაცია აისახება პოტენციომეტრზე (7).

მესამე სისტემა შედგება ელექტრომაგნიტისაგან (8) და მაგნიტის კვების რეგულირების ბლოკისაგან, რითაც შეიძლება ელექტრომაგნიტის პოლარობის შეცვლა და დენის ვარირება.

ნიმუში მაგრდება მინის კრიოსტატის სპეციალურ სამაგრზე. $10^{-4} \text{--} 10^{-5}$ მმ.გწ.ს.კ.-მდე ამოტუმბული კრიოსტატი შეაქვთ მაგნიტში ისე, რომ განთავსდეს პოლუსის ცენტრალურ უბნებს შორის. გამოთვლები ხდება შემდეგი ფორმულებით:

$$U_{\pm} = \frac{U_{\pm}^+ \uparrow - U_{\pm}^- \downarrow}{2}; \quad U_{\mp} = \frac{U_{\mp}^- \uparrow - U_{\mp}^+ \downarrow}{2} \quad U_{\pm}^{\mp} = \frac{U_{\pm}^+ \uparrow + (-U_{\pm}^-)^{\downarrow}}{2} \quad (2.2)$$

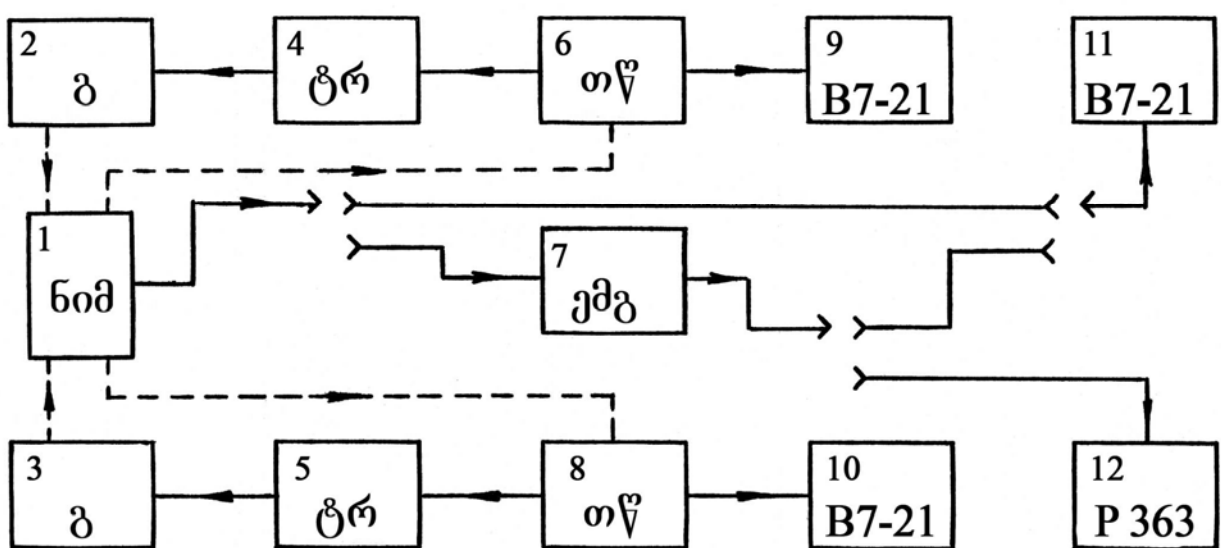
სადაც “+” და “-” ნიშნები და ისრები გვიჩვენებს ნიმუშში გამავალი დენის და მაგნიტური ვეილს პოლარობას. პოლის მუდმივას საანგარიშოდ გამოიყენება ფორმულა

$$R_{\pm} = \frac{U_{\pm} \cdot d \cdot 10^8}{IH} \quad (2.3)$$

U_{\pm} - პოლის ძაბვაა (მგ), H - მაგნიტური ვეილს დაძაბულობაა, d - ნიმუშის სისქეა (მმ), I - ნიმუშში გამავალი დენი (მკა). მაგნიტური ვეილს დაძაბულობის მნიშვნელობა გაზომვების პირობებში 20 კერსტია.

2.7.2. თერმო ემბ-ს განსაზღვრა

თერმო-ემბ-ს კოეფიციენტის ტემპერატურაზე დამოკიდებულების შესასწავლი დანადგარის სქემა მოყვანილია ნახ.2.7-ზე. ნიმუში მაგრდება სპეციალურ სპილენძის დამჭერზე (1), რომელზეც დამონტაჟებულია ორი გამახურებელი (2,3). დამჭერის ერთი ბოლო ჩაშვებულია თხევადაზოტიან დიუარის ჭურჭელში. ნიმუშის ბოლოებს შორის იქმნება $\sim 10\text{K}$ -ის ტოლი ტემპერატურული გრადიენტი. დიფერენციალური თერმოწყვილებით (6,8) და ციფრული ვოლტმეტრებით (9,10) იზომება ნიმუშის "ცხელი" და "ცივი" ბოლოების ტემპერატურები. თერმოწყვილებში აღძრული თერმო-ემბ მიეწოდება ტემპერატურის მაღალი სიზუსტის რეგულატორებს (4,5), რომლებიც მართავენ ნიმუშის გამახურებლის სიმძლავრეს და უზრუნველყოფენ ტემპერატურების საჭირო სტაბილიზაციას. თერმო ემბ, რომელიც გასაზომ ნიმუშშია აღძრული, მიეწოდება ციფრულ ვოლტმეტრს (11) ან ელექტრომეტრულ გამაძლიერებელს (7) ან პოტენციომეტრს (12). გასაზომი ნიმუშის "ცხელი" და "ცივი" ბოლოების ტემპერატურები თერმოწყვილების, ციფრული ვოლტმეტრების და სპილენძონსტანციის თერმოწყვილების მაგრადუირებელი ცხრილებით განისაზღვრება და გამოითვლება ფირის ტემპერატურული გრადიენტი და საშუალო ტემპერატურა.



ნახ.2.7 თერმო-ემბ-ს გასაზომი დანადგარის ბლოკ-სქემა.

B7-21 ციფრული ვოლტმეტრით სწარმოებდა დაბალომიანი (0.1 მგომამდე) ნიმუშების თერმო-ემპ-ს, ხოლო მაღალომიანი ნიმუშების თერმო-ემპ-ს გასაზომად გამოყენებოდა ელექტრომეტრული გამაძლიერებელი.

დიფერენციალური თერმო-ემპ-ს კოეფიციენტის მნიშვნელობას ვანგარი-შობდით ფორმულით:

$$\alpha = \frac{\varepsilon}{\Delta T} \quad (2.4)$$

სადაც ε - გაზომილი თერმო-ემპ-ს სიდიდეა, ΔT ტემპერატურის გრადიენტი.

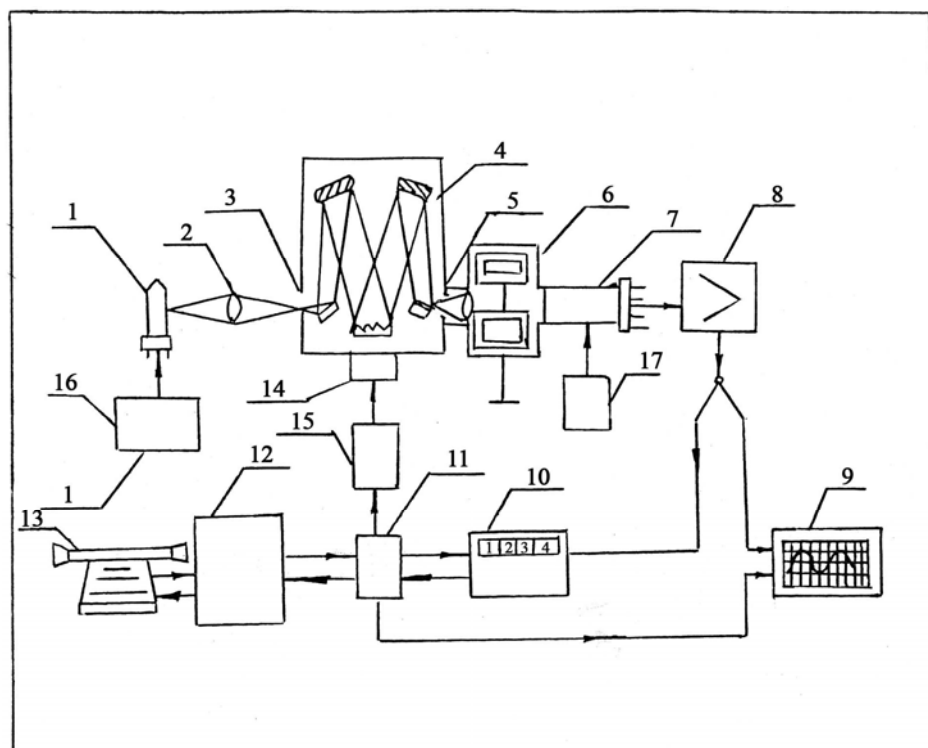
2.7.3. ოპტიკური და ფოტოელექტრული თვისებების კვლევის მეთოდიკა

ტულიუმის, პრაზეოდიუმისა და ნეოდიუმის ერთნახევრიანი სულფიდების არეკვლისა და გამჭვირვალობის სპექტრები ენერგიების 0.05-6.0 ევ უბანში ოთახი-სა და თხევადი აზოტის ტემპერატურებზე გაზომილ იქნა [41] ნაშრომში გამოყენებული მოდერნიზირებული უნივერსალური სპექტრალურ-გამომთვლელი კომპლექსით KCSVU-2 და ინფრაწითელი სპექტრალურ-გამომთვლელი კომპლექსით KCVI.

უნივერსალური სპექტრალურ-გამომთვლელი კომპლექსი KCSVU-2 გამოყენებული იყო არეკვლის და გამჭვირვალობის სპექტრის შესასწავლად, ფოტონების ენერგიის 1-6 ევ ინტერვალში. მოწყობილობის შემადგელობაში შედის მონოქრომატორი МДР-23, ფოტოელექტრული მარეგისტრირებელი მოწყობილობა ФЭП-4, ელექტრონულ-გამომთვლელი მანქანა «Электроника Д3-28», კომუტაციის მოწყობილობა, გამოსხივების წყარო თავისი სტაბილიზატორით, კიუვეტური კამერა, ციფრული ვოლტმეტრი Щ1516 და საბეჭდი მანქანა "Consult-260" (ნახ.2.8).

გამოსხივების წყაროდან (1) სინათლე, რომლის როლსაც 220-350 ნმ ინტერვალში დეიოთერიუმის ნათურა და 350-1000 ნმ უბანში ვარგარების ნათურა ასრულებს, (2) სარკული კონდენსორის დახმარებით, ფოკუსირდება (4) მონოქრომატორის (3) ხვრელზე. მაღისპერსირებელ ელემენტებად გამოყენებული იყო სამი დიფრაქციული მესერი შტრიხების რაოდენობით 1 მმ-ზე: 1200 ენერგიის

კონცენტრაციით 500 ნმ-ის მახლობლად, 1200 ენერგიის კონცენტრაციით 250 ნმ-ის მახლობლად და 600 ენერგიის კონცენტრაციით 1000 ნმ-ის უბანში. მონოქრომატორის (5) გამოსასვლელი ხვრელი გამოყოფს გამოსხივების გარკვეულ სპექტრალურ ინტერვალს, რომელიც ხვდება (6) კიუვეტურ განყოფილებაში. აქ განთავსებულია გამოსაკვლევი ნიმუშები. კიუვეტურ კამერში არეავლის სპექტრის გასაზომად მოთავსებულია სპეციალური მოწყობილობა სარკეებით და ნიმუშის სამაგრით. ამის შემდეგ გამოსხივება ფოკუსირდება (7) ფოტოელექტრონული გამმართველის შესასვლელ ფანჯარაში (ФЭУ-100 – 200-600 ნმ ფარგლებში და ФЭУ-62 – 600-1000 ნმ ფარგლებში). ელექტრულად გარდაქმნილი სიგნალი ძლიერდება (8) მუდმივი დენის გამაძლიერებლით, შემდეგ არჩეული რეჟიმის მიხედვით მიღის საჭიროების მიხედვით შესაბამისად (9) ЛК-4-003 თვითჩამწერზე ან ციფრულ ვოლტმეტრზე (10). ეს სიგნალი შემდეგ გადადის კომუტაციის მოწყობილობაში (11) და ბოლოს ეგმ-ში (12). ამის შემდეგ დამუშავებული ინფორმაცია შეიძლება ამობეჭდილ იქნას (13). (15,16,17) ბლოკები წარმოადგენენ სკანირების მართვის მოწყობილობას.



ნახ. 2.8 KCBY-2 კომპლექსის ფუნქციონალური სქემა

განვიხილოთ ოპტიკური მუდმივებს შორის ცნობილი თანაფარდობები და მათი კავშირი ელექტრონულ გადასვლებითან. უმნიშვნელოვანები თაპტიკური პარამეტრების განსაზღვრის ყველაზე მოხერხებული და გავრცელებული მეთოდია ბრტყელ პარალელურ ნიმუში სინათლის გამჭვირვალობისა და არეგვლის გაზომვა. თუ დავუშვებთ, რომ ნიმუშის სისქე და გაცილებით მეტია სინათლის ტალღის სიგრძეზე, მაშინ გამჭვირვალობა T და არეგვლა R , როცა სინათლე მართობულად ან თითქმის მართობულად ეცემა ნიმუშის ზედაპირს, შთანთქმის α კოეფიციენტთან და არეგვლის R კოეფიციენტთან დაკავშირებულია [42]-ში მოყვანილი ფორმულებით

$$T = \frac{(1-R)^2 e^{-\alpha d}}{1-R^2 e^{-2\alpha d}} \quad (2.5)$$

$$R = R(1 \pm T e^{-\alpha d}) \quad (2.6)$$

(2.4) შედარებით შრომატევად ანგარიშს მოითხოვს, ამიტომ α -ს გამოსათვლელად ჩვეულებრივ იყენებენ ცხრილებს ან ნომოგრამებს. (2.5) ფორმულა αd -ს 0.001 სიზუსტით გათვლის საშუალებას იძლევა.

კრისტალის ოპტიკური თვისებები შეიძლება მთლიანად იქნას აღწერილი კომპლექსური დიელექტრიკული შეღწევადობით:

$$\varepsilon^*(\omega) = \varepsilon_1(\omega) + i\varepsilon_2(\omega) \quad (2.7)$$

სადაც ε_1 - ნამდვილი ნაწილია და ის დაკავშირებულია გარდატებისა და შთანთქმის მაჩვენებლებლებთან თანაფარდობით

$$\varepsilon_1 = n^2 - k^2 \quad (2.8)$$

ხოლო ε_2 - კომპლექსური დიელექტრიკული შეღწევადობის წარმოსახვითი ნაწილი

$$\varepsilon_2 = 2nk \quad (2.9)$$

სინათლის ნორმალური დაცემისას n და k განსაზღვრავენ არეგვლის კოეფიციენტს შემდეგი თანაფარდობით:

$$R = \frac{(n-1)^2 + k^2}{(n+1)^2 + k^2} \quad (2.10)$$

ხოლო შთანთქმის კოეფიციენტი

$$\alpha = \frac{2\omega k}{c} = \frac{4\pi k}{\lambda} \quad (2.11)$$

თუ მუხტის მატარებლებს ერთი ნიშანი აქვთ და გამტარებლობის ზონა ხასიათდება დისპერსიის კვადრატული იზოტროპული კანონით, მაშინ დიელექტრიკული შედწევადობის ნამდვილი და წარმოსახვითი ნაწილები შეიძლება ჩაიწეროს მაღალსიხშირული დიელექტრიკული შედწევადობის ϵ_{∞} , მუხტის თავისუფალი გადამტანების პლაზმური სიხშირისა და მუხტის მატარებლების რელაქსაციის τ დროის მეშვეობით [43]

$$\epsilon_1(\omega) = \epsilon_{\infty} \left(1 - \frac{\omega_p^2 \tau^2}{1 + \omega^2 \tau^2} \right) \quad (2.12)$$

$$\epsilon_2(\omega) = \epsilon_{\infty} \frac{\omega_p^2}{\omega} < \frac{\tau}{\omega^2 \tau^2 + 1} \quad (2.13)$$

მაშინ, როდესაც გამტარებლობისა და სავალენტო ზონების აბსოლუტური ექსტრემუმები \vec{K} სივრცის სხვადასხვა წერტილებში იმყოფებიან, ელექტრონების ფონონებთან ურთიერთქმედების გამო შესაძლებელი ხდება არაპირდაპირი გადასვლები, მაგრამ ასეთი გადასვლების ალბათობა გაცილებით ნაკლებია პირდაპირი გადასვლების ალბათობასთან შედარებით.

შთანთქმის კოეფიციენტს არაპირდაპირი დაშვებული გადასვლებისას შემდეგი სახე აქვს [43]

$$\alpha = B \frac{(\hbar\omega - E_i \pm E_p)^2}{e^{E_p/KT} - 1} \quad (2.14)$$

სადაც E_p – ფოტონის ენერგიაა. $(\alpha\hbar\omega)^{1/2}$ დამოკიდებულების გრაფიკს $\hbar\omega$ -გან გააჩნია ორი წრფივი უბანი. ერთი წრფე შეესაბამება $(\alpha_e)^{1/2}$ დამოკიდებულებას, რომელიც აბსცისთა დერძს გადაკვეთს $\hbar\omega = E_i + E_p$ წერტილში, ხოლო მეორე წრფე აღწერს $(\alpha_d)^{1/2}$ დამოკიდებულებას და აბსცისთა დერძს კვეთს წერტილში $\hbar\omega = E_i - E_p$. მონაკვეთის სიგრძე $\hbar\omega$ დერძთან $(\alpha_d)^{1/2}$ და $(\alpha_e)^{1/2}$ წრფეების გადაკვეთის წერტილებს შორის ტოლია $2E_p$. ამ მონაკვეთის შუაში იმყოფება წერტილი $\hbar\omega = E_i$.

არაპირდაპირი ზონათაშორის გადასვლებისათვის შთანთქმის კოეფიციენტი α -სთვის გვაქვს პროპორცია:

$$\alpha \sim (\hbar\omega - E_i \pm E_p)^3 \quad (2.15)$$

არეკვლისა და გამჭვირვალობის ექსპერიმენტულად მიღებული სპექტრების დამუშავება და მახასიათებლი თპტიკური პარამეტრების სპექტრალური დამოკიდებულების დადგენა მოხდა ელექტრონულ-გამომთვლელი მანქანით. ამ მიზნით შეიქმნა ორი პროგრამა^{*}. პირველი პროგრამა ითვალისწინებს არეკვლისა და გამჭვირვალობის სპექტრების მიხედვით R-არეკვლის და α შთანთქმის კოეფიციენტების, k შთანთქმის და n გარდატეხის მაჩვენებლების, დიელექტრიკული შეღწევადობის ნამდვილი ε₁ და წარმოსახვითი ε₂ ნაწილების ენერგიის დანაკარგების ფუნქციის -Imε⁻¹ დადგენას. მეორე პროგრამა გამოიყენება შთანთქმის კიდეზე შთანთქმის კოეფიციენტის სიხშირული დამოკიდებულების გასაანალიზებლად, ამის საფუძველზე კი ელექტრონის ოპტიკური გადასვლების ენერგიის და ხასიათის დასადგენად.

ფოტოელექტრული თვისებების (ფოტოგამტარობა, ფოტო ემ) კვლევა ჩატარდა დანადგარზე, რომელიც აწყობილი იყო ИКМ-1 მონოქრომატორის ბაზაზე^{**}, რომელიც პირობითად შეიძლება სამ ნაწილად დაიყოს: а) ოპტიკური; ბ) ელექტრული და გ) თერმულ-კრიოგენული.

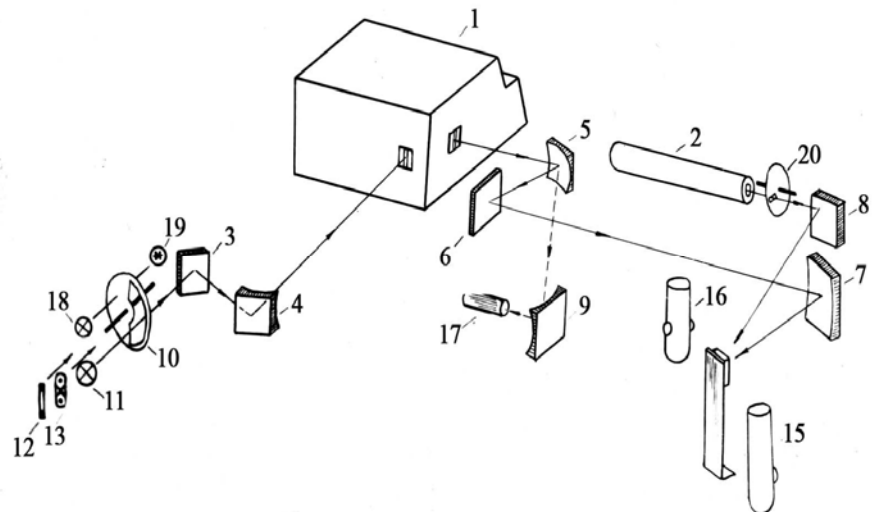
ოპტიკური სქემა (ნახ.2.9) მოიცავს შემდეგ ელემენტებს: ინფრაწითელი სპექტრომეტრი (1), ოპტიკური კვანტური გენერატორი ЛГ-75 (2), ბრტყელი და სფერული სარკეები (3, . . . 9), სინათლის მოდულატორი (10) და გამოსხივების წყარო – ვარგარების ჰალოგენური ნათურა (13). სხივი შეიძლება მივმართოთ სადგარზე (14), თუ გაზომვები ოთახის ტემპერატურაზე მიმდინარეობს, თერმოსტატის სარკმელში (15) მაღალტემპერატურული გაზომვებისას ან ოპტოაკუსტიკურ გარდამქმნელზე (17) პრიზმების გრადუირებისას. სინქრონული დეტექტორისათვის საყრდენი სიგნალის ფორმირება ხდება ვარგარების ნათურით (18) და ფოტოდიოდით (19), ხოლო მოდულაცია (10) მწყვეტარით. ჰელიუმ-ნეონის აირული ლაზერი ЛГ-75 20 მვტ სიმძლავრის λ=0.6328 მკმ ტალღის სიგრძის გამოსხივებას იძლევა.

გამზომი ნაწილის ბლოკ-სქემა მოყვანილია ნახ.2.10-ზე. საკვლევი ნიმუში (1) მიერთებულია ელექტრომეტრულ გამაძლიერებელთან (4) S2 გადამრთველით. მეორეს მხრივ ის მიერთებულია S1 გადამრთველთან. როცა S1

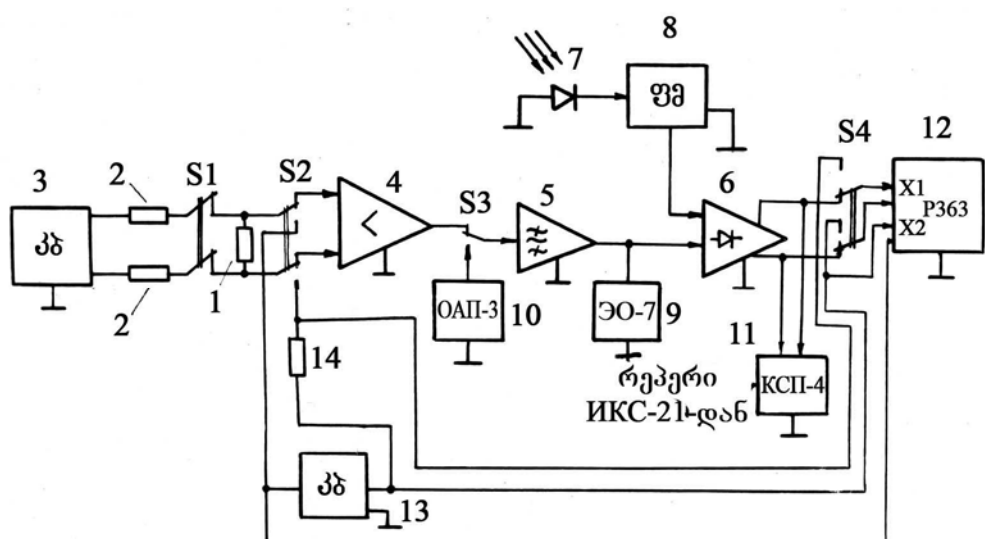
* პროგრამა შედგენილია სტუ-ს ახალი ნახევარგამტარული მასალების ლაბორატორიაში დოც. ლ. გლურჯიძის მიერ

** დანადგარი აწყობილ იქნა სტუ-ს ახალი ნახევარგამტარული მასალების ლაბორატორიაში დოც. დ. გ. ზირიშვილის მიერ

გამორთულია, იზომება ფოტო ემს, ხოლო როცა ჩართულია – ფოტოგამტარობა; ამ დროს ნიმუშს (2) დატვირთვის წინადობით უერთდება (3) მუდმივი დენის ძაბვა. გაძლიერების შემდეგ ნიმუშში აღძრული ფოტო ემს-ს ან ფოტოგამტარობის ცვლადი ძაბვა მიეწოდება სელექციურ გამაძლიერებელს (5), ხოლო შემდეგ სინქრონულ დეტექტორს (6). მასზევე (7) ფოტოდიოდიდან (8) ფაზის მაბრუნებელ-მაფორმირებლის გავლით ხვდება საყრდენი ძაბვა.



ნახ. 2.9 ფოტოელექტრული თვისებების შესასწავლი დანადგარის ოპტიკური სქემა



ნახ. 2.10 ფოტოელექტრული თვისებების შესასწავლი მოწყობილობის ელექტროგამზომი ნაწილის ბლოკ-სქემა

საკვლევი სიგნალის კონტროლი ხორციელდება ელექტრონული ოსცილოსკოპით ჟO-7 (9). დეტექტირებული სიგნალი გასაზომად S4 გადამრთველით მიეწოდება P363 პოტენციომეტრს და თვითჩამწერს (11). გრაფუირებისა და პრიზმების ინტენსივობის არაერთგვაროვნების კოეფიციენტის განსაზღვრისათვის სელექციური გამაძლიერებელი-სინქრონიზატორი S3 გადამრთველით გამოირთვება ელექტრომეტრული გამაძლიერებლისაგან და მიუერთდება ოპტოპუსტიკურ გარდამქმნელს (10).

ელექტროწინაღობის გასაზომად ნიმუში S2 გადამრთველით უერთდება მუდმივი ძაბვის წყაროს (13) დატვირთვის წინაღობით (14). დატვირთვის წინაღობიდან ძაბვა S4 გადამრთველით გასაზომად მიეწოდება P363 პოტენციომეტრის შესასვლელს.

III თავი

0მე-ს სულფიდების თხელი ფირების მიღების ტექნიკია, პრისტალური სტრუქტურა, ფაზური და ქიმიური ანალიზი

3.1. თხელი ფირების მიღება გაპუმურ-თერმული აორთქლების მეთოდით

3.1.1. ამაორთქლებალები. ფირის განაწილება ფუძეშრეზე

თხელი ფირების მიღების ტექნოლოგიური პროცესის სწორად წარმართვისთვის დიდი მნიშვნელობა ენიჭება ამაორთქლებლის როგორც კონსტრუქციის ისე, ასევე მასალის შერჩევას. ამაორთქლებელი უნდა იყოს მარტივი კონსტრუქციის და ამავე დროს დამზადებული უნდა იყოს ისეთი მასალისაგან, რომელიც არ აჭუჭყიანებს გასაზრდელ ფირს და გააჩნია დნობის მაღალი ტემპერატურა. არსებობს ამაორთქლებლის ორი ძირითადი ტიპი: გამახურებლები არაპირდაპირი გახურებით და გამახურებლები პირდაპირი ანუ უშუალი გახურებით.

არაპირდაპირი გახურება – ამ ტიპის ამაორთქლებლებში ელექტრული დენი გადის სპირალში, საიდანაც გამოყოფილი სითბო ახურებს ტიგელს, რომელშიც ასაორთქლებელი მასალაა მოთავსებული. ცხადია, სპირალის და ტიგელის მასალა ისეთი უნდა იყოს, რომ მათი ორთქლის წნევა ასაორთქლებელი მასალის წნევასთან შედარებით რაც შეიძლება ნაკლები იყოს. ასაორთქლებელი მასალა გამდნარ მდგომარეობაში კარგად უნდა ასველებდეს გამახურებელს, რაც აუცილებელია კარგი სითბური კონტაქტის უზრუნველსაყოფად. გამახურებელსა და ასალრთქლებელ მასალას შორის არ უნდა მიმდინარეობდეს ქიმიური რეაქცია.

გამახურებლისთვის მასალის შერჩევა დღესაც უმთავრეს პრობლემად რჩება. თხელფიროვანი მასალების ტექნოლოგიაში ძირითადად გამოიყენება ვოლფრამი, მოლიბდენი და ტანტალი. ისეთი მასალები, როგორებიცაა რკინა, ნიკელი და ქრომელი გამოიყენებიან მხოლოდ განსაკუთრებულ შემთხვევებში.

ვოლფრამის ამაორთქლებლის დამზადებისას გამოიყენება არარეკრისტალიზებული ვოლფრამის მავთული, წინააღმდეგ შემთხვევაში 1000°C -ზე ზევით გახურებისას ვოლფრამი მყიფე ხდება და შემდგომი ექსპლუატაცია შეუძლებელია. არარეკრისტალიზებული ვილფრამის მავთული ხასიათდება მაღალი დრეკადობით და ადვილად იღებს სასურველ ფორმას. სპირალის დახვევისას რეკომენდირებულია მისი გახურება 100°C -მდე. ამ დროს მავთულის დრეკადობა მაქსიმალურია. საჭირო ფორმის ვოლფრამის ამაირთქლებელის დახვევის შემდეგ აუცილებელია მისი ზედაპირის გაწმენდა, რაც მიიღქვა მისი მოწამვლით $20\%-იანი$ კალიუმის ან ნატრიუმის ჰიდროჟანგის ხსნარში და შემდეგ გარეცხვით დისტილირებული წყლით.

არსებობს არაპირდაპირი გახურების ე.წ. ნავისებური კონსტრუქციის ამაორთქლებლები, რომლებიც ტიგელიანი ამაორთქლებლებისაგან განსხვავებით არ იძლევიან ასაორთქლებელი მასალის მიმართულ ნაკადს, რაც გარკვეულ სირთულეს ქმნის შენაერთის ფირების სტექიომეტრიის გაცვის თვალსაზრისით.

პირდაპირი აორთქლების კონსტრუქციის ამაორთქლებლებში ასაორთქლებელი მასალა, რომელიც მოთავსებულია შესაბამისი კონსტრუქციის კონტეინერში ორტქლდება საკმარისი სიმძლავრის ელექტრონების ნაკადით ან ლაზერის სხივით. ამ ტიპის ამაორთქლებლების დადებითი მხარეა ის, რომ ასაორთქლებელი მასალა ნაკლებად ჭუჭყიანდება, ვინაიდან ის ფაქტიურად არ შედის კონტაქტში კონტეინერთან და გარდა ამისა ამ მეთოდით შესაძლებელია ისეთი მასალების აორთქლება, რომელთა ორთქლის წნევა დაბალია და არაპირდაპირი გახურების მეთოდით აორთქლება შეუძლებელია. მეთოდის უარყოფითი მხარეა კონსტრუქციის შედარებით სირთულე და ის ფაქტი, რომ აორთქლების პროცესში გართულებულია ორთქლის ნაკადის კონტროლი, რაც განსაკუთრებით აუცილებელია შენაერთების ფირების მიღებისას.

3.1.2. თხელი ფირების წარმოშმნის პინეტიკა და სტრუქტურა. სხვადასხვა პარამეტრების გავლენა ფირის სტრუქტურაზე.

მოლეკულური ნაკადის კონდენსაციისას ადგილი აქვს გადასვლას აირადი ფაზიდან თხევად – კონდენსირებულ ფაზებში. ეს პროცესი

განპირობებულია ფუძეშრეზე დაცემული ატომების და ფუძეშრის ზედაპირის ურთიერთქმედების ხასიათით. ზედაპირთან დაჯახებისას ატომი კარგავს ჭარბ სითბურ ენერგის და გადადის ადსორბირებულ მდგომარეობაში. ამ დროს, თუ საფენის ტემპერატურა ძალიან დაბალი არაა, ხოლო ჭარბი თბური ენერგიის რელაქსაციის დრო – დიდი, ადსორბირებულ ატომებს გააჩნიათ საკმაოდ დიდი დიფუზიური ძვრადობა ფუძეშრის ზედაპირზე და ამით მნიშვნელოვნად განისაზღვრება კონდესატის წარმოქმნის შემდგომი პროცესი.

კონდენსატის წარმოქმნა. ადსორბირებულ მდგომარეობაში ატომების ყოფნის დრო შემოსაზღვრულია და განისაზღვრება ფორმულით

$$\tau_l = \tau_{01} \exp(E_a / \kappa T) \quad (3.1)$$

სადაც E_a -ადსორბირებული ატომის ენერგიაა;

$$\tau_{01} = (h/kT) [1 - \exp(-h/kT)]^{-1} \quad (3.2)$$

$\tau_{01} = 10^{-3}$ წმ რიგისაა.

ადსორბირებულ მდგომარეობაში მყოფი მოძრავი ატომები შეიძლება განვიხილოთ, როგორც T ტემპერატურის (ეს ტემპერატურა შეიძლება არ შეესაბამებოდეს საფენის ტემპერატურას), “ორგანზომილებიანი ორთქლიდაჯახების შედეგად ატომები ქმნიან კომპლექსებს, რის გამოც მცირდება ატომების ხელახლა აორთქლების ალბათობა. ამ კომპლექსების (ჩანასახების) ზრდას მივყავართ კონდენსატის წარმოქმნამდე. წარმოქმნილი კონდენსირებული ფენის სტრუქტურა განისაზღვრება ამ ჩანასახების რიცხვით, მათი ურთიერთორიენტაციით და ზრდის პროცესში ურთიერთქმედებით.

უნდა აღინიშნოს, რომ “ჩანასახის” მექანიზმი არაა უნივერსალური და ვერ აღწერს ზოგიერთ ზღვრულ შემთხვევას. მაგალითად, ძალიან დაბალ ტემპერატურაზე დიფუზიის ზედაპირული კოეფიციენტი მცირეა, ხოლო ადსორბირებული ატომების სიცოცხლის ხანგრძლივობა – დიდი, რის საფუძველზეც კონდენსაცია წარმოადგენს ადსორბირებული ატომების დაგროვების პროცესს, ან მაგალითად, კონდენსირებული ატომების საფენთან ძლიერი ურთიერთქმედებისას ატომები უზრუნველყოფენ ფენის ფორმირებას და ზრდას. ეს პროცესი არ მოითხოვს მდგრადი კომპლექსების წარმოქმნას: ატომთა მდგრადი მდგომარეობები შეიძლება იყოს წერტილოვან ან სხვა დაფექტებში მათი ჩამაგრების ადგილები, მონოფენის წარმოშობის ადგილები და სხვა. განსხვავებული ორიენტაციის მქონე საფენზე მეტალის

კონდენსაციისას, ისევე როგორც ნეიტრალურ საფეხზე, კონდენსაციის საწყისი ეტაპი წარმოადგენს ჩანასახოვანი ნაწილაკების წარმოქმნის და ზრდის პროცესს [44,45].

თხელი ფირების ძირითადი სტრუქტურული მახასიათბლებია – ზომები, ფორმა და ორიენტაცია, კრისტალის შენების სიმჭიდროვე და დეფექტების განაწილება, დაძაბულობები, ზედაპირული რელიეფის განვითარება – ყოველივე ეს მჭიდრო კავშირშია კონდენსაციის წარმოქმნასა და მეორად პროცესებთან, რაც მიმდინარეობს ფირში კონდენსაციის საწყის და საბოლოო ეტაპებზე კონდენსაციის პირობების ცვლით, რითაც შესაძლოა გვვალოთ ფირის სტრუქტურა, რომლის ჩამოყალიბება შემდეგი თანმიმდევრობით მიმდინარეობს:

1. კონდენსაციის სიჩქარის ზრდით კრისტალიტების საშუალო ზომები იზრდება როგორც საწყის ეტაპზე, ჩანასახის ზედაპირული სიმჭიდროვის შემცირებით, ასევე რეკრისტალიზაციური პროცესების გავლენით;
2. სისქის ზრდით კრისტალიტების ზომები იზრდება, რაც ყველაზე ხშირად გამოწვეულია უფრო ხელსაყრელი ორიენტაციის და სწრაფად შხარდი კრისტალიტების კონცენტრაციის ზრდის გამო.
3. გაკუმური პირობების გაუარესება იწვევს კრისტალიზაციის ზედაპირის გაჭუჭყიანებას, კრისტალიტების ზომების შემცირებას და ფირის სტრუქტურული ჩამოყალიბების მახასიათებლების შემცირებას.
4. ფირების გამოწვა განაპირობებს მათი სტრუქტურული მახასიათებლების გაუმჯობესებას. თუმცა-და უფრო უფექტურია არა რაიმე ტემპერატურაზე გამოწვა, არამედ ფირის მიღება ამ ტემპერატურაზე, ვინაიდან პირველადი (ზედაპირული) პროცესები ადვილად აქტიურდება, ვიდრე გარდაქმნის პროცესები.
5. სისქის ზრდასთან ერთად ხდება ფირის სტრუქტურული მდგომარეობის კანონზომიერი ცვლილება. ამ დროს მიმდინარეობს წონასწორულ მდგომარეობასთან ეტაპობრივი მიახლოება.

კონდენსაციისა და შესაბამისად ფირის ჩამოყალიბების პროცესი მნიშვნელოვნადაა დამოკიდებული კონდენსაციის კინეტიკურ პარამეტრებზე – ფუძეშრის ტემპერატურა, დაცემული მოლეკულური კონის სიმკვრივე, რომელიც განსაზღვრავს ადსორბირებული ატომების კონცენტრაციას,

საფენზე დაფენილი ატომების ურთიერთქმედების ხასიათ, მისი პოტენციურ რელიეფი და სხვა.

3.1.3. თხელი ვირების მიღება გაპუშმურ – თერმული აორთქლების მეთოდით

სხვადასხვა ფუძეშრეზე ლითონის ან სხვა მასალის თხელი ფირის დაფენის პროცესი ვაკუუმურ-თერმული აორთქლების მეთოდით მიმდინარეობს ორ ეტაპად: ნივთიერების აორთქლება ვაკუუმში და მისი კონდენსაცია ფუძეშრეზე [38].

აორთქლების პროცესი ვაკუუმში ასაორთქლებელი მასალის აორთქლებით სწარმოებს. ამ დროს მოლეკულების და ატომების კინეტიკური ენერგია ზედაპირულ შრეებში იზრდება, ისინი სწყდებიან ამაორთქლებლის ზედაპირს და გადადიან თავისუფალ სივრცეში. ტემპერატურის და მოლეკულათა ენერგიის ზრდასთან ერთად იზრდება იმ ნაწილაკთა რიცხვიც, რომელთაც უნარი აქვთ მოწყდნენ ასაორთქლებელი მასალის ზედაპირს. ჩვეულებრივ, გახურებისას მასალა ჯერ დნება, ხოლო შემდგომ გადადის ორთქლის მდგომარეობაში. მაგრამ არსებობს მასალები, რომლებიც თხევადი ფაზის გამოტოვებით გადადიან ორთქლის ფაზაში. ამ პროცესს მყარი სხეულის სუბლიმაცია ეწოდება.

აორთქლებისას მიმდინარე პროცესები პირველ რიგში დამოკიდებულია სისტემაში ვაკუუმის ხარისხზე, რომელიც თავის მხრივ ხასიათდება მოლეკულის თავისუფალი განარბენის საშუალო სიგრძით – ესაა მანძილი, რომელსაც გადის მოლეკულა ორ თანმიმდევრულ დაჯახებას შორის (λ). იმის მიხედვით, თუ როგორია თანაფარდობა ამაორთქლებელსა და ფუძეშრეს შორის მანძილსა (d) და თავისუფალი განარბენის სიგრძეს შორის, ანსხვავებენ : მაღალ ვაკუუმს, როცა $\lambda \gg d$, საშუალო ვაკუუმს, როცა $\lambda \approx d$ და დაბალ ვაკუუმს, როცა $\lambda \ll d$.

აორთქლებისას დაბალ ვაკუუმში აორთქლებული მასალის ატომები კონდენსატორისკენ ანუ ფუძეშრისკენ მოძრაობისას განიცდიან მრავლობით დაჯახებებს აირის მოლეკულებთან და ამგვარად მათი ტრაექტორია ტებილია. აორთქლებული მოლეკულების საწყისი ორიენტაცია ამ დროს

დარღვეულია და მიუხედავად ეკრანის მდებარეობისა, ჭურჭლის კედლებზე მიიღება საკმაოდ ერთგვაროვანი ფენა.

თუ აორთქლება საშუალო ვაკუუმში მიმდინარეობს, დაბალი წნევის დროს ატომების უმეტესი ნაწილი აღწევს ჭურჭლის კედლებს, მოძრაობს რა სწორხაზოვნად, აირის მოლეკულებთან დაჯახებების გარეშე და მხოლოდ ატომთა გარკვეული ნაწილი განიცდის აირის მოლეკულებთან დაჯახებას და გადაიხრება საწყისი მიმართულებიდან. ამის გამო ჭურჭლის კედლი ეკრანს მიღმა ნაკლებად იქნება დაფარული აორთქლებული ნივთიერების ფენით, ვიდრე დანარჩენი ნაწილი და კედელზე მიიღება ეკრანის ჩრდილი.

მაღალ ვაკუუმში აორთქლებისას ატომები ტოვებენ რა ამაორთქლებლის ზედაპირს, მიძრაობენ ერთმანეთისაგან დამოუკიდებლად, დაჯახებების გარეშე. მათი ტრაექტორია წრფეა და არ იცვლება ჭურჭლის კედელზე კონდენსაციამდე. ამ შემთხვევაში ეკრანის მიღმა კედელზე ჩნდება მკვეთრი ჩრდილი, რომელიც ზუსტად შეესაბამება ეკრანის გეომეტრიულ ჩრდილს.

აორთქლებული ატომებისა და მოლეკულების ნაკადს, რომელიც თავისი გავრცელების გზაზე არ განიცდის დაჯახებებს და, ამრიგად, არ იცვლის ტრაექტორიას, მოლეკულური ნაკადი ეწოდება. ნაკადის წრფივობა საშუალებას იძლევა დადგინდეს მსგავსება მოლეკულურ და სინათლის ნაკადს შორის და გეომეტრიული ოპტიკის კანონები გავრცელდეს მოლეკულური ნაკადისთვისაც. ამასთან აირის კინეტიკური თეორიიდან გამომდინარე მოლეკულის თავისუფალი განარბენის საშუალო სიგრძე λ უკუპროპორციულია აირის წნევისა:

$$\lambda = \frac{1}{\sqrt{2\pi}N\delta^2} = \frac{mc^2}{3\sqrt{2\pi}\delta^2 p} \quad (3.3.)$$

სადაც, $N - 1$ სმ² აირში მოლეკულათა რაოდენობა მოცემული წნევისა და ტემპერატურისთვის;

δ - მოლეკულის უფექტური დიამეტრი, სმ;

m - მოლეკულის მასა;

c - საშუალო კვადრატული სიჩქარე.

აორთქლების სიჩქარე, ანუ ნივთიერების რაოდენობა, რომლის აორთქლება ხდება 1 სმ² ზედაპირიდან 1 წმ-ის განმავლობაში, განისაზღვრება ფორმულით:

$$\omega \approx 6 \cdot 10^{-4} \sqrt{M/T} \quad (3.4.)$$

M - მოლეკულური მასა

T - აბსოლუტური ტემპერატურა.

სხვადასხვა შენადნობებისა და შენაერთების თხელი ფირების მიღება დაკავშირებულია მთელ რიგ სიძნელეებთან, რადგან აორთქლებისას ხდება შენადნობის დაშლა შემადგენელ კომპონენტებად, რომლებიც სხვადასხვა სიჩქარით აორთქლდება (სხვადასხვა ორთქლის დრეკადობის გამო). საფენზე ამ დროს რთული შემადგენლობის ფირი მიიღება. პირველი ფენა გამდიდრებულია შენადნობის უფრო მსუბუქი კომპონენტით, შემდგომი კი – მძიმით.

არსებობს შენადნობის თხელი ფირების მიღების რამოდენიმე მეთოდი:

- 1) უშუალოდ შენაერთის აორთქლება;
- 2) კომპონენტების მონაცვლეობით აორთქლება და დაფენა;
- 3) დისკრეტული აორთქლება;
- 4) ორი დამოუკიდებელი წყაროდან აორთქლება.

პირველი მეთოდი გამოიყენება მხოლოდ იმ შენაერთებისთვის, რომელთა შემადგენელი ელემენტებს მსგავსი დუდილის წერტილები და ორთქლის დრეკადობა აქვთ. ამ დროს ნადნობი არ ფრაქციონირებს აორთქლების ტემპერატურის ფარგლებში და მიიღება სასურველი შემადგენლობის ფირი.

მეორე მეთოდი დაფუძნებულია მრავალშრიანი ელემენტების ურთიერთდიფუზიის მოვლენაზე. გამოიყენება მხოლოდ ატომების მაღალი დიფუზიის კოეფიციენტის დროს, რომლის საშუალებითაც მიიღწევა ფირის ერთგვაროვნება და სტექიომეტრიულობა.

მესამე მეთოდი გამოიყენება შენადნობებისთვის, რომელთა შემადგენელ კომპონენტებს ერთმანეთისაგან საგრძობლად განსხვავებული აორთქლების სიჩქარე აქვთ. არსებობს მრავალი კონსტრუქციული მოდელი ამ მეთოდის განსახორციელებლად, მაგრამ ყურადღება უნდა მიექცეს იმ პირობას, რომ შენადნობის ნაწილაკების სიჩქარე ამ შენადნობის სიჩქარის ტოლი უნდა იყოს. ეს პირობა მით უფრო სამართლიანია, რაც უფრო მცირება ნაწილაკების ზომები და რაც უფრო ხშირი და თანაბარია მათი მიწოდება ამაორთქლებელზე. განსაკუთრებით ზედმიწევნით უნდა შეირჩეს ამაორთქლებლის ტემპერატურა, რადგან საკმაოდ მაღალ ტემპერატურაზე ნაწილაკები შეიძლება აირეგლონ ამაორთქლებლისგან ისე, რომ ვერ

მოასწრონ გადნობა, ხოლო დაბალი ტემპერატურისას ნაწილაკები მოგროვდებიან ამაორთქლებელზე აუთორთქლებლად. უზრუნველყოფილი უნდა იყოს აგრეთვე ფხვნილის თანაბარი მიწოდება და დანაკარგების მინიმალური რაოდენობა.

მეოთხე მეთოდი დაკავშირებულია მნიშვნელოვან სირთულეებთან, რაც გამოწვეულია აორთქლების ინტენსივობის მუდმივ რეგულირებასა და შენარჩუნებით სტექიომეტრული შენაერთის მიღებისთვის.

3.2. ტულიუმის, პრაზეოდიუმისა და ნეოდიუმის ერთნახევრიანი სულფიდების თხელი ფირების მიღება. ვაზური შემაღებელობა და პრისტალური სტრუქტურა.

სამეცნიერო ლიტერატურაში აღწერილი არ არის Tm_2S_3 , Pr_2S_3 და Nd_2S_3 ფირების მიღების ტექნოლოგია. ნაშრომში პირველად იქნა დამუშავებული ამ შენაერთების თხელი ფირების მიღების ტექნოლოგია ვაკუუმურ-თერმული აორთქლების მეთოდით ნადნობი კვარცის, პოლიკრისტალური სიტალის, ლეიკოსაფირონის და მონოკრისტალური სილიციუმის ფუძეშრეებზე, რენტგენოდიფრაქციული და ელექტრონოგრაფიული კვლევებით კი დადგენილ იქნა მიღებული ფირების ფაზური შემადგენლობა და კრისტალური სტრუქტურა. ფირების დაფენა სწარმოებდა YBH 75P3 და ВУП-5 მარკის ჩვენს მიერ მოდერნიზებულ დანადგარებზე (ნახ. 2.2, ნახ.2.3.)

3.2.1. ტულიუმის ერთნახევრიანი სულფიდის თხელი ფირის მიღება

ტულიუმის ერთნახევრიანი სულფიდის ერთფაზა ფირების მიღების ტექნოლოგია სამეცნიერო ლიტერატურაში აღწერილი არ არის. [46]-ში ჩატარებულ იქნა წინასწარ სინთეზირებული Tm_2S_3 -ის შემადგენლობის შენაერთის აორთქლებით ფირის მომზადების ექსპერიმენტი სხვადასხვა ფუძეშრეებზე ვაკუუმურ-თერმული აორთქლების მეთოდით. დაფენის პროცესში ფუძეშრის ტემპერატურა ტოლი იყო 300-400 K, ვაკუუმი – 10^{-5} მმ.ვწყ.სვ., ფუძეშრეებად გამოყენებული იყო $NaCl$, KCl და ნახშირბადი. როგორც

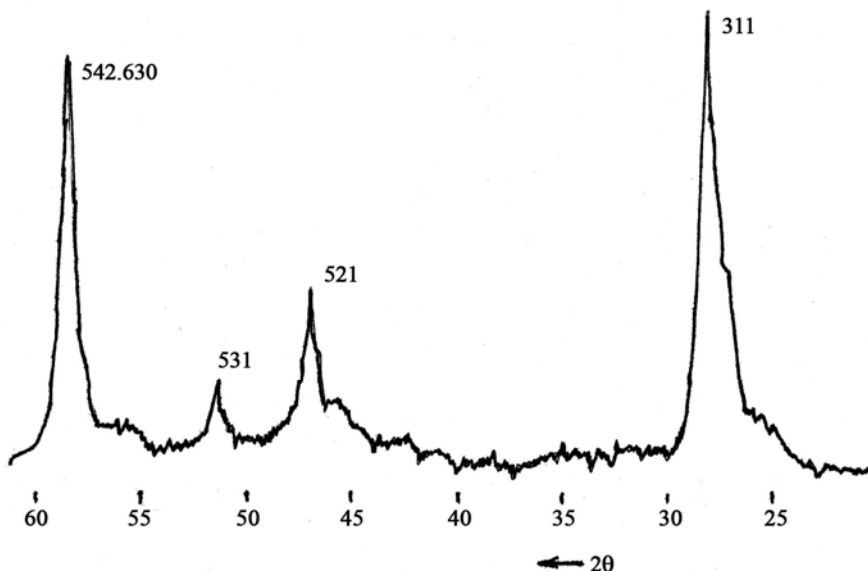
აგტორები აღნიშნავენ, ერთფაზა ფირის მიღება ვერ მოხერხდა. მიღებული ფირები შეიცავდნენ TmS, γ -Tm₂S₃ და θ -Tm₂S₃ ფაზებს. ცნობილია Tm₂S₃ -ის სამი პოლიმორფული ფორმა γ , δ და θ . მონაცემები მათი კრისტალური სტრუქტურისა და მესრის პარამეტრების შესახებ მოყვანილია ცხრ.3.1. -ში.

წინამდებარე ნაშრომში Tm₂S₃ ფირების მიღება სწარმოებდა კომპონენტების ორი დამოუკიდებელი წყაროდან გაპუშურ-თერმული აორთქლების მეთოდით [47,48]. მიღებული ფირების სისქე იცვლებოდა 1-7 მკმ ფარგლებში. ტულიუმისა და გოგირდის ამაორთქლებლების ტემპერატურა შესაბაბისად ტოლი იყო 1200 K და 370 K. ტულიუმის ამაორთქლებლის დაშორება ფუძეშრიდან შეადგენდა 40 მმ-ს, ხოლო გოგირდის ამაორთქლებლისა – 120 მმ-ს. ამაორთქლებლების დერძების დახრის კუთხეები ფუძეშრის ნორმალის მიმართ დაახლოებით ერთნაირი იყო და უტოლდებოდა 30°-ს. დაფენის სიჩქარე საშუალოდ ტოლი იყო 150 Å/წმ. ფუძეშრებად გამოყენებული იყო პარალელუპიპედის ფორმის (15x8x1მმ) სიტალს, ლეიკოსაფირონს და მონოკრისტალური სილიციუმს ფირფიტები. ექსპერიმენტებმა აჩვენეს, რომ ფუძეშრის მასალა Tm₂S₃-ის შესამჩნევ გავლენას არ ახდენს არც მიღებული ფირების კრისტალურ სტრუქტურაზე და არც ფაზურ შემადგენლობაზე. ასაორთქლებელ მასალებად გამოყენებული იყო მაღალი სისუფთავის B-6 მარკის გოგირდი და TyM-1 მარკის ლითონური ტულიუმი (კონტროლირებადი მინარევების ჯამური შემცველობა შეადგენდა: La \leq 0.03%, Er,Lu,Yb ჯამური შემცველობა \leq 0.1%, Fe \leq 0.01%, Cu \leq 0.01%, Ta, Mo ან Nb \leq 0.02%).

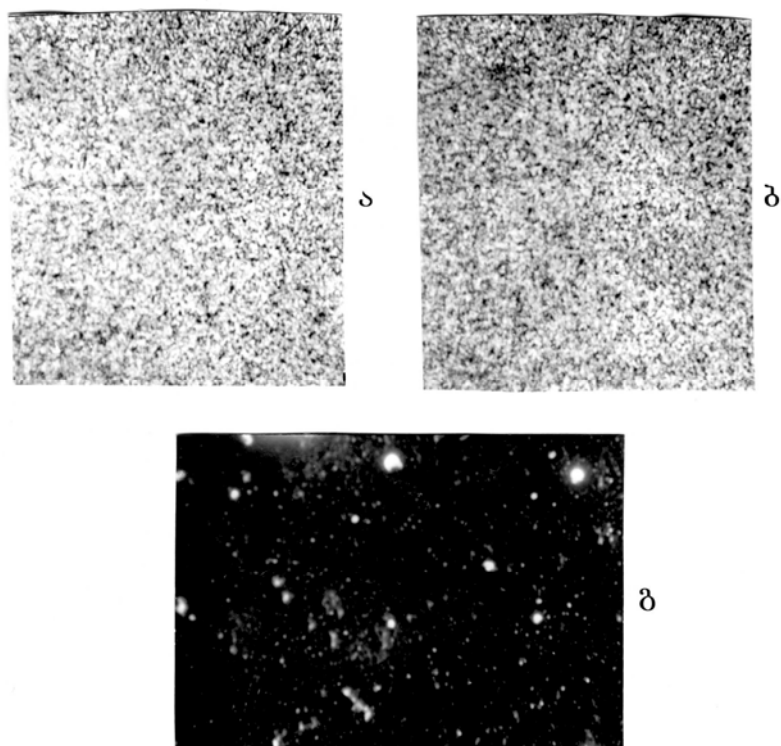
ტულიუმის ერთნახევრიანი სულფიდის კრისტალოგრაფიული მონაცემები

Tm_2S_3 პოლიმორ ფული ფორმა	ფერი	სინგონია	სივრცული ჯგუფი	სტრუქტურული ტიპი	მესრის მუდმივა, Å			ლიტერატუ რა
					a	b	c	
δ - Tm_2S_3	წაბლისფერი	მონოკლინური	—	Y_2S_3	17.363	3.960	10.039	[1]
γ - Tm_2S_3	ღია-ყავისფერი	კუბური	Ia3	Th_3P_4	8.22	—	—	[46]
θ - Tm_2S_3	მუქი-ყავისფერი	კუბური	I $\bar{4}$ 3d	Tl_2O_3	10.50	—	—	[46]
					12.489	—	—	[49]
					12.46	—	—	[49]

ფუძეშრის ტემპერატურას ვცვლიდით 770 K-დან 1270 K-მდე. კარგად ჩამოყალიბებული პოლიკრისტალური ფირები მივიღეთ 870 K ფუძეშრის ტემპერატურის შემთხვევაში.



ნახ.3.1 θ - Tm_2S_3 თხელი ფირის რენტგენოდიფრაქტოგრამა (ფუძეშრებელი გამოსაზიდონი, $T_g=870$ K; სისქე – 2.5.მკ).



ნახ.3.2 θ - Tm_2S_3 თხელი ფირის ზედაპირზე Tm (ა) და S (ბ) განაწილების გამოსახულება რენტგენის მეორად სხივებში და ფირის ზედაპირის მიკროფოტოგრაფია (გ)

მომზადებული ფირების ფაზური შემადგენლობისა და კრისტალურობის დასადგენად გადაღებულ იქნა რენტგენოდიფრაქტოგრამები CuK_α გამოსხივებაზე ნიკელის ფილტრით უწყვეტი ჩაწერის რეჟიმში 0.25 გრად/წთ სიჩქარით. ნახ.3.1-ზე მოყვანილია ლეიკოსაფირონის ფუძეშრეზე დაფენილი Tm₂S₃ თხელი ფირის რენტგენოდიფრაქტოგრამა. მისი იდენტიფიკაციით დადგინდა, რომ ფირი შეესაბამება Tm₂S₃-ის θ-ფორმას. მიღებული რენტგენოდიფრაქტოგრამის საშუალებით გათვლილი მესრის მუდმივა ტოლი იყო $a=12,46 \text{ \AA}$ და ის კარგ შესაბამისობაშია [49]-ში მოყვანილ პარამეტრთან Tm₂S₃ ფენილისთვის. მიღებული ფირები სასიათდებიან კარგი მდგრადობით ჰაერზე, რაზეც მეტყველებს ის ფაქტი, რომ ფირების რამოდენიმე დღით ჰაერზე დაყოვნება არ იწვევს რენტგენოდიფრაქტოგრამაზე დამატებითი მაქსიმუმებს გაჩენას.

მომზადებული ფირების რენტგენულიმა მიკროზონდურმა ანალიზმა აჩვენა, რომ ფირები შეიცავდნენ 40.2 ატ% Tm და 59.8 ატ% S. როგორც რენტგენის მეორად სხივებში გადაღებული ზედაპირის სურათიდან ჩანს (ნახ.3.2), მომზადებული ფირის ზედაპირზე ტულიუმი და გოგირდი განაწილებულია თანაბრად. მომზადებულ ფირებს გააჩნიათ მუქი ყავისფერი შეფერილობა.

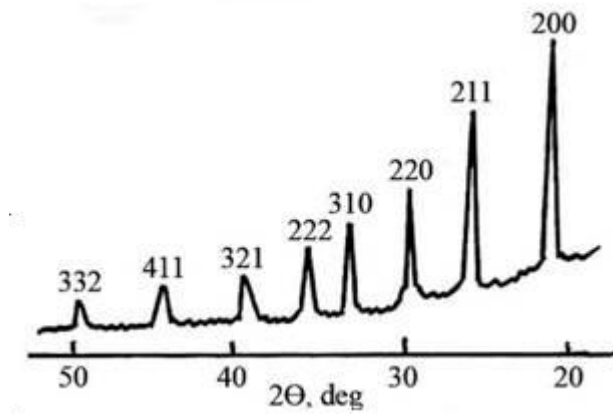
3.2.2. პრაზეოდიუმის ურთნახევრიანი სულფიდის თხელი ფირის მიღება

პრაზეოდიუმის ერთნახევრიანი სულფიდის 0,6-1,8 მკმ სისქის თხელი ფირები მომზადდა კომპონენტების ორი დამოუკიდებელი წყაროდან ვაკუუმურ-თერმული აორთქლების მეთოდით. დაფენის პროცესში Pr-ის ამაორთქლებლის ტემპერატურა ტოლი იყო 1970 K, გოგირდის ამაორთქლებლის – 350K, ფუძეშრის ტემპერატურას ვცვლიდით 950 K - 990 K. პრაზეოდიუმის ამაორთქლებლის დაშორებს ფუძეშრიდან შეადგენდა 35 მმ-ს, ხოლო გოგირდის ამაორთქლებლის – 120 მმ-ს. ამაორთქლებლების დახრის კუთხე ფუძეშრის ნორმალის მიმართ ორივე შემთხვევაში ერთნაირი იყო და შეადგენდა 40°-ს. დაფენის სიჩქარე სხვადასხვა ექსპერიმენტში იცვლებოდა 60-90 Å/წმ. ფუძეშრებად, ისევე როგორც ტულიუმის ერთნახევრიანი სულფიდის თხელი ფირების მოღების დროს, გამოყენებული

იყო დეიკოსაფირონის, სიტალის და მონოკრისტალური სილიციუმის ფირფიტები.

მომზადებული ფირების ფაზური შემადგენლობა და კრისტალურობა შესწავლილ იქნა რენტგენოგრაფიული და ელექტრონოგრაფიული მეთოდებით. ტიპიურმა რენტგენოდიფრაქტოგრამამ (ნახ.3.5.) აჩვენა, რომ ზემოთმოყვანილ ტექნოლოგიურ რეჟიმებში მიღებულ იქნა კარგად ჩამოყალიბებული პოლიკრისტალური კუბური სინგონიის $\gamma\text{-Pr}_2\text{S}_3$ ფირი (სტრუქტურული ტიპი Th_3P_4 , სივრცული ჯგუფით $I\bar{4}3d$) მესრის პარამეტრით $a=8.91 \text{ \AA}$, რომელიც კერგად ეთანხმება $\gamma\text{-Pr}_2\text{S}_3$ -ის მოცულობითი კრისტალის მესრის მუდმივას $a=8.923 \text{ \AA}$ [15].

რენტგენულმა და ელექტრონოგრაფიულმა ანალიზმა აჩვენა, რომ ფუძეშრის გამოყენებული მასალები, ისევე როგორც ტულიუმის ერთნახევრიანი სულფიდის შემთხვევაში, არ ახდენენ შესამჩნევ გავლენას მიღებული ფირების ფაზურ შემადგენლობასა და კრისტალურობაზე. რენტგენულმა მიკროზონდურმა ანალიზმა აჩვენა, რომ ფირები შეიცავდნენ 40,3 ატ% პრაზეოდიუმს და 59,7 ატ% გოგირდს. ყველა ფუძეშრეზე დაფენილი ფირები ხასიათდებოდნენ საკმაოდ მაღალი მდგრადობით ჰაერზე. მომზადებული ფირები ღია ყვითელი ან ყვითელი იყო.



ნახ.3.3. $\gamma\text{-Pr}_2\text{S}_3$ -ის ფირის რენტგენოდიფრაქტოგრამა (ფუძეშრე საფირონი, $T_g=950\text{K}$, ფირის სისქე 1,6მგმ)

3.2.3. ნეოდიუმის მრთვახეზრიანი სულფიდის თხელი ზირის მიღება

მოცემულ სამუშაოში პირველად იქნა მიღებული Nd_2S_3 თხელი ფირები წინასწარ სინთეზირებული შენაერთის დისკრეტული ვაკუუმურ-თერმული აორთქლების მეთოდით [50]. (Nd_2S_3 –ის მოცულობითი კრისტალები მოგვაწოდა დ.ი.მენდელევის სახელობის ქიმიკო-ტექნოლოგიური უნივერსიტეტის თანამშრომელმა ი.გ.ორლოვამ, რისთვისაც უდრმეს მადლობას ვუხდით მას).

ფირის მიღება განხორციელდა ჩვენს მიერ მოდერნიზირებულ ВУП-5 დანადგარზე, რომლის კამერის შიგა მოწყობილობა ნაჩვენებია ნახ.2.5-ზე.

როგორც ცნონილია, შლაფი შენაერთის ვაკუუმურ-თერმული დისკრეტული აორთქლების ერთერთი პროცესი მასალის ამაორთქლებლის ტემპერატურისა და ასაორთქლებელი ნივთიერების მარცვლების ოპტიმალური ზომების შერჩევა. განსაკუთრებით დიდი მნიშვნელობა აქვს ასაორთქლებელი მასალის ზომების ერთგვაროვნებას და ზომას. თუ მარცვლის წრფივი ზომა ოპტიმალურზე დიდია, შესაძლებელია მან ვერ მოასწოროს აორთქლება, ხოლო ოპტიმალურზე ნაკლები ზომის შემთხვევაში აორთქლებული მასალი აღმავალი ნაკადი ხელს შეუშლის ვიბრომკვებავიდან ამაორთქლებელში მასალის მოხვედრას, რაც მასალის შესამჩნევ დანაკარგებს იწვევს. ჩვენს მიერ ჩატარებულმა ექსპერიმენტებმა აჩვენეს, რომ მარცვლების ოპტიმალურ ზომად შეიძლება ჩაითვალოს 0.05–0.10 მმ. მარცვლი ზომების ერთგვაროვნებას ვაღწევდით მათი გაცრით სპეციალურ საცერში. სტექიომეტრიული შემადგენლობის ფირების მისაღებად აუცილებელია ვიბრომკვებავი ერთნაირი სიჩქარით აწვდიდეს მასალას ამაორთქლებელს. ეგველა ნახსენები პარამეტრიც შერჩეულ იქნა ემპირიულად. მასალის აორთქლება ხდებოდა ტანტალის კილიტისაგან დამზადებული ნავიდან. ამაორთქლების ტემპერატურა ტოლი იყო ~2300 K, ფუძეშრის ტემპერატურას სხვადასხვა ექსპერიმენტებში ვცვლიდით 700–დან 1270 K-მდე. ფუძეშრედ გამოყენებულ იყო ნადნობი კვარცის, მონოკრისტალური სილიციუმს, სიტალსა და ლეიკოსაფირონს მართკუთხა პარალელების ფორმია ფირფიტები. მანძილი ფუძეშრიდან ამაორთქლებლამდე ტოლი იყო ~100 მმ-ის; დაფენის ხანგრძლივობა სხვსდასხვა ექსპერიმენტებში მერყეობდა

100-დან 120 წმ-მდე, ხოლო დაფენის სიჩქარე იცველბოდა 20-დან 85 Å/წმ. მიღებულ იქნა ფირები, რომელთა სისქე შეადგენდა 0,2 – 2,0 მკმ. მომზადებული ფირების ფაზური შემადგენლობა და კრისტალურობა შესწავლილ იქნა რენტგენოდიფრაქციული და ელექტრონოგრაფიული მეთოდებით.

[5]-ში ნაჩვენებია, რომ ნეოდიუმის ერთნახევრიან სულფიდს გააჩნია სამი პოლიმორფული ფორმა – α, β, γ, რომელთა კრისტალური სტრუქტურისა და პარამეტრების შესახებ მონაცემები მოყვანილია ცხრ.3.2.-ში. აღნიშნული პოლიმორფული ფორმების არსებობა განპირობებულია შენაერთის მიღების, გამოწვის და წრთობის ტემპერატურული რეჟიმებით. α ფორმას შეესაბამება რომბული სინგონია, ხოლო β და γ ფორმას – კუბური სინგონია. β და γ ფორმები ერთმანეთისაგან განსხვავდება სტრუქტურული ტიპებით. β ფორმას გააჩნია Nd₂S₃ სტრუქტურული ტიპი – Fdm3 სივრცული ჯგუფი, ხოლო γ – ასევე კუბური სიმეტრიისაა, ოდონდ 1⁴3d სივრცული ჯგუფით და Th₃P₄ სტრუქტურული ტიპით. უნდა შევნიშნოთ, რომ β და γ ფორმების შესაბამისი მესრის პარამეტრები შესამჩნევად განსხვავდება ერთმანეთისაგან β ფორმისათვის $a=19.92$ Å, ხოლო γ -სთვის პარამეტრი თითქმის ორჯერ ნაკლებია $a=8.592$ Å.

ჩატარებულ იქნა მრავალრიცხოვანი ექსპერიმენტები ფირების ფაზურ შემადგენლობაზე ფუძეშრის ტემპერატურის გავლენის შესასწავლად. ფუძეშრის დაბალ ტემპერატურაზე – 470 K, მიღებული ფირები ამორფული იყო, რაც ეთანხმება [51] ნაშრომის შედეგებს.

ფუძეშრის შედარებით მაღალ – 750-850 K ტემპერატურაზე დაფენილ ფირებს გააჩნდათ წვრილმარცვლოვანი სტრუქტურა, რასაც ადასტურებს შესაბამისი რენტგენოდიფრაქციული მაქსიმუმების გაფართოებისა და ინტენსივობის ანალიზი.

γ- Nd₂S₃ ფირების უფრო სრულყოფილი სტრუქტურა შეიმჩნევა ფუძეშრის ტემპერატურის 1000 K-მდე გაზრდით – დიფრაქციული მაქსიმუმები უფრი მახვილია. ფუძეშრის ტემპერატურის 1270 K-მდე გაზრდით დიფრაქტოგრამებზე ადგილი ქონდა დამატებითი მაქსიმუმებს გაჩენას, რომელთა მდებარეობა კარგად ემთხვევა გაანგარიშებულ მონაცემებს ნეოდიუმის ერთნახევრიანი სულფიდის β -ფორმისთვის. მაშასადამე, შეიძლება დაგასკვნათ, რომ ფუძეშრის ტემპერატურის გაზრდით ადგილი

აქვს β - Nd_2S_3 -ის ფორმირებას. ნახ.3.4-ზე მოყვანილია ფუძეშრის 1000 K-ზე დაფენილი Nd_2S_3 ფირის ტიპიური რენტგენოდიფრაქტოგრამა. მიღებულ ფირებს გააჩნდათ მუქი-ყვითელი შეფერილობა. უფრო მაღალ ტემპერატურაზე (1270 K-მდე) დაფენილი ფირებს – მუქი-ლალისფერი, რაც ემთხვევა [3,52]-ში მოყვანილ მონაცემებს კა და β -ფორმებისათვის.

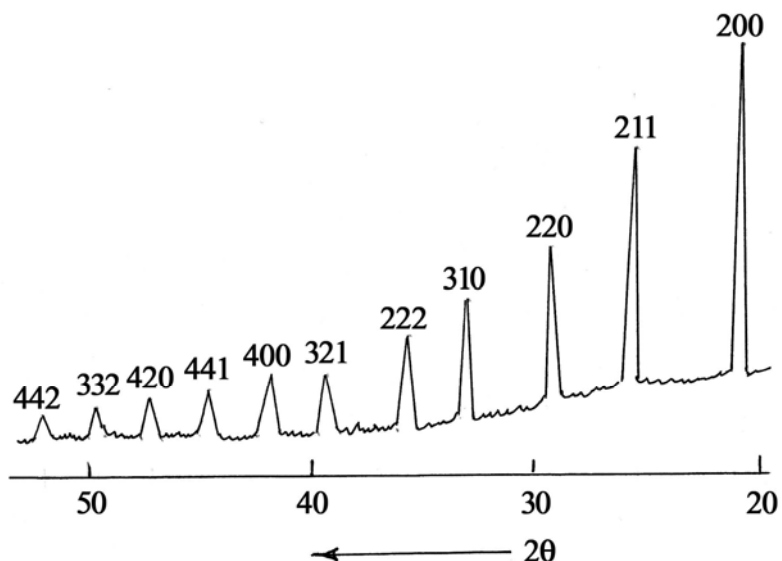
მიღებული ექსპერიმენტალური შედეგების საფუძველზე შეიძლება ითქვას, რომ ფუძეშრის 850-1000 K ტემპერატურულ შუალედში ტემპერატურის ცვლილება გავლენას ვერ ახდენს მიღებული ფირების ფაზურ შემადგენლობაზე და ადგილი აქვს γ - Nd_2S_3 ფორმის ფირის ჩამოყალიბებას მესრის მუდმივათი $a=8.60$ Å, რაც კარგად შეესაბამება ლიტერატურაში მოყვანილ მონაცემებს მოცულობითი კრისტალებისათვის. ჩვენს მიერ მიღებული γ - Nd_2S_3 ფირის კუთრი წინაღობა ტოლი იყო $\sim 10^8$ ომი.მ-ს. ასეთი მაღალი წინაღობა დამახასიათებელია Ln_2S_3 შენაერთებისთვის და მიუთითებს მიღებული შენაერთის სტექიომეტრიულ შემადგენლობასთან სიახლოვეს. ფუძეშრის ტემპერატურის გაზრდა 1270 K-მდე იწვევს ფირში ორი – γ და β ფორმის თანაარსებობას, რაზედაც გარდა რენტგენოდიფრაქტოგრამისა, მეტყველებს ფირების შეფერლობის ცვლილებაც.

ისევე, როგორც ტულიუმისა და პრაზეოდიუმის ერთნახევრიანი სულფიდები, ნეოდიუმის ერთნახევრიანი სულფიდის ფირებიც ხასიათდებიან საკმაოდ მაღალი მდგრადობით ჰაერზე და ფუძეშრის მასალა გავლენას არ ახდენს ფირების კრისტალურ სტრუქტურასა და ფაზურ შემადგენლობაზე რენტგენული მიკროანალიზის მონაცემების მიხედვით ფირები შეიცავენ 40.3 ატ% ნეოდიუმს და 59.7 ატ% გოგირდს და როგორც ნახ.3.5-დან ჩანს, ფირის შემადგენელი კომპონენტები – ნეოდიუმი და გოგირდი თანაბრადად განაწილებული ფირის ზედაპირზე.

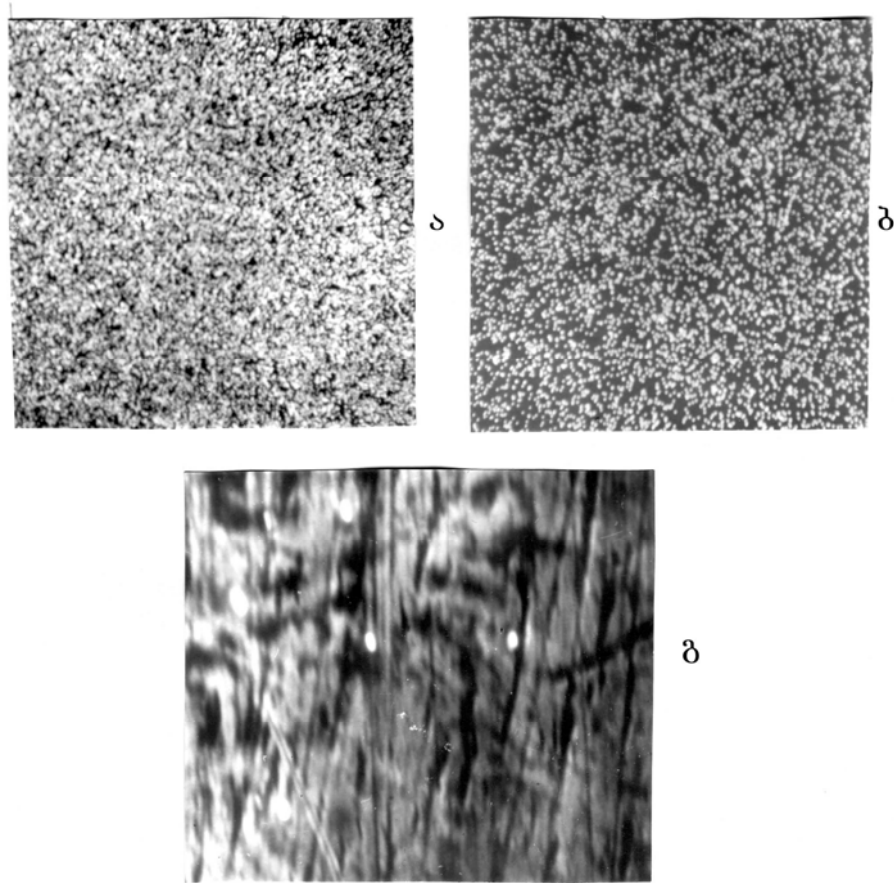
ცხრილი 1.4.

ნეოდიუმის ერთნახევრიანი სულფიდის კრისტალოგრაფიული მონაცემები

Nd_2S_3 პოლი- მორფუ- ლი ფორმა	ფერი	სინგონია	სივრცელი ჯგუფი	სტრუქტურული ტიპი	მესრის მუდმივა, Å			ლიტერატუ- რა
					a	b	c	
$\alpha\text{-Nd}_2\text{S}_3$	შავი-წითელი	რომბული	Pnma	$\alpha\text{-Ln}_2\text{S}_3$	7.442	15.519	15.519	[3]
$\beta\text{-Nd}_2\text{S}_3$	მუქი-ლალისფერი	კუბური	Fd3m	$\beta\text{-Nd}_2\text{S}_3$	19.92	-	-	[52]
$\gamma\text{-Nd}_2\text{S}_3$	მუქი-ყვითელი	კუბური	I43d	Th_3P_4	8.527	-	-	[3]



ნახ. 3.4 γ - Nd_2S_3 თხელი ფირის რენტგენოფრაქტოგრამა (ფუძეშრე – დეიკოსაფირონი, $T_{\text{გ}}=1000\text{K}$, სისქე – 2 ბჯ).



ნახ.3.5. γ - Nd_2S_3 თხელი ფირის ზედაპირზე $\text{Nd}(\delta)$ და $\text{S}(\delta)$ განაწილების გამოსახულება რენტგენის სხივებში და ფირის ზედაპირის მიკროფოტოგრაფია (გ).

ამრიგად, შეიძლება თქვას, რომ დისკრეტული ვაკუუმურ-თერმული აორთქლების მეთოდით შესაძლებელია ერთფაზა მაღალი სარისხის უფორმის Nd_2S_3 ფირის მიღება და ფუძეშრის ოპტიმალური ტემპერატურა შეადგენს ~1000 K.

3.3. ტულიუმის, პრაზეოდიუმის და ნეოდიუმის ერთნახვრიანი სულფიდების თხელი ვირების ლებირება

ქიმიური ვალენტობის წესით შექმნილი იშვიათმიწა ელემენტების ერთნახვრიანი სულფიდები გაჯერებული ნაერთებია, სადაც კათიონური მესრის ყოველი მეცხრე კვანძი ვაკანტურია. Ln_2X_3 ტიპის შენაერთები დაბალ ტემპერატურაზე იზოლატორებია. ოთახის ტემპერატურაზე კუთრი წინაღობა 10^8 ომი.მ-ს უახლოვდება. უფრო დაბალი წინაღობები გამოწვეულია ან მინარეული ატომების არსებობით, ან იმურის მხარეს სტექიომეტრიიდან გადახრით [3]. რაღა თქმა უნდა, სტექიომეტრიული შემადგენლობის მქონე სუფთა მასალების გამოყენება შეუძლებელია მიკროელექტრონული ხელსაწყოს შესაქმნელად. სწორედ ამიტომ არის საინტერესო ამ შემადგენლობის ფირების ლეგირება და მისი თვისებების შესწავლა.

3.3.1. მალებირებელი ელემენტის შეარჩევა

ერთნახვრიან სულფიდებში იშვიათმიწა ელემენტებს სამის ტოლი ვალენტობა აქვთ. ამიტომ მათი ჩანაცვლების გზით განსაზღვრული გამტარებლობის ტიპის მისაღწევად მალეგირებელ ელემენტებად გამოყენებულ უნდა იყოს პერიოდული სისტემის მეორე ან მეოთხე ჯგუფის ელემენტები. ამ დროს აქცეპტორის როლი უნდა შეასრულონ II ჯგუფის ელემენტებმა, ხოლო დონორის – IV ჯგუფის ელემენტებმა, რომელთა ლოკალიზაცია ხდება სამვალენტიანი იმური სუბმესრის კვანძებში. თუ მალეგირებელი ატომი მოთავსდა კრისტალური მესრის კვანძებს შორის, ამ შემთხვევაში არსებობს ალბათობა იმისა, რომ II და IV ჯგუფის ელემენტებმა

დონორის როლი შეასრულონ. ეს ალბათობა დამოკიდებულია გეომეტრიულ და ელექტროქიმიურ ფაქტორებზე.

მინარეული ატომების კრისტალური მესრის კვანძებში განლაგება იუმ-როზერის გეომეტრიული ფაქტორის თანახმად, შესაძლებელია, როცა $r_{\text{მ}} < r_{\text{მ}} + r_{\text{მ}} \cdot 0.15$ მატრიცის ატომების რადიუსებს შორის სხვაობა არ აღემატება 15%-ს. ამ დროს საქმე გვაქვს ჩანაცვლების მყარ ხსნართან და $0.85 < r_{\text{მ}} / r_{\text{მ}} < 1.15$.

ჩანერგვის მყარ ხსნარში მინარეული ატომების კვანძებს შორის განთავსების პირობაა $r_{\text{მ}} < r_{\text{Ln-S}} - r_{\text{Ln-S}} = 0.05$ და გოგირდის უახლოეს ატომებს შორის მანძილია. Tm_2S_3 -ში ეს მანძილია 12.46 \AA , Nd_2S_3 -ში - 2.85 \AA , Pr_2S_3 -ში - 8.9 \AA . ჩანაცვლების მყარი ხსნარების წარმოქმნის პირობაა მინარეული და მატრიცული ატომების ელექტროქიმიური მსგავსება - ელემენტები ქიმიური დაძაბულობის რიგში ერთმანეთთან ახლოს უნდა იმყოფებოდნენ, წინააღმდეგ შემთხვევაში ადგილი ექნება ქიმიური ნაერთის წარმოქმნას.

ყოველივე ამის საფუძველზე ჩატარებული ანალიზის, ლეგირების პროცესის ჩატარების სიმარტივის და მალეგირებელი ელემენტის ტოქსიურობის გათვალისწინებით ჩვენს მიერ მიღებული ტულიუმის, პრაზეოდიუმისა და ნეოდიუმის ერთნახევრიანი სულფიდების თხელი ფირების მალეგირებელ ელემენტებად შერჩეულ იქნა II ჯგუფის ელემენტი კადმიუმი და IV ჯგუფის ელემენტი ტყვია.

3.3.2. ლეგირების მეთოდის შერჩევა

პრაქტიკაში ფართოდ გავრცელებულიანახევარგამტარი მასალების ფირების ლეგირების ორი მეთოდი:

1. ლეგირება უშუალოდ ფირის ზრდის პროცესში;
2. წინასწარ მიღებული ფირის ლეგირება მინარევის დიფუზიით.

ჩვენს მიერ ფირების მიღება სწარმოებდა კომპონენტების ორი დამოუკიდებელი წყაროდან და დისკრეტული აორთქლების მეთოდებით, რომლებიც საშუალებას არ იძლევა ფირის მიღების პროცესში ერთდროულად განხორციელდეს მისი, ლეგირებაც, რადგან ძალიან მაღალია

მალეგირებელი ელემენტის მიერ ახალი ქიმიური ნაერთის შექმნის ალბათობა. ამიტომ ჩვენს მიერ შერჩეულ იქნა წინასწარ მიღებული ფირის ლეგირება მინარევის დიფუზიით. არსებობს ამ მეთოდის სამი სახესხვაობა:

1. დიფუზია დია მიღმი გატარებული აირის ნაკადით;
2. დიფუზია ნახევრადდახურულ მოცულობაში;
3. დიფუზია დახურულ მოცულობაში.

ჩვენს მიერ გამოყენებულ იქნა დიფუზია დახურულ მოცულობაში, რომელიც გამოირჩევა პროცესის სიმარტივით და ფირის გაჭუჭყიანების ნაკლები ალბათობით.

ვინაიდან კადმიუმი ხასიათდება ორთქლის მაღალი დრეკადობით, ლეგირებისას ადგილი აქვს ორთქლის ფაზაში მყოფი კადმიუმის ატომების ადსორბციას ფირის ზედაპირზე და შემდეგ მათ დიფუზიას ფირის სიღრმეში. ამ დროს, როგორც წესი აირედ ფაზაში მყოფი ატომების რაოდენობა გაცილებით მეტია ფირში დიფუნდირებული ატომების რიცხვზე. დიფუზიის ტემპერატურისა და დროის ვარირებით შესაძლებელის საკმაოდ ფართო დიაპაზონში გვეალოთ მინარევის ზედაპირული კონცენტრაცია. წონასწორული კონცენტრაცია პროპორციულია ორთქლის წნევის და მყარდება არა მყისიერად, არამედ გარკვეული დროის შემდეგ. თუკი წონასწორობა დიფუზიის დროზე ნაკლებ დროში მიიღწევა, ზედაპირული კონცენტრაცია შეიძლება ჩაითვალოს მუდმივად. დახურულ მოცულობაში დიფუზიის ჩატარებისას ეს პირობა უმრავლეს შემთხვევაში სრულდება. ამავე დროს გათვალისწინებული უნდა იყოს დიფუზანტის ორთქლის წნევის ტემპერატურაზე დამოკიდებულება. ზოგიერთი მინარევისთვის ორთქლის წნევა იმდენად მაღალია ტემპერატურაზე, რომ შეიძლება მოხდეს ამპულის რღვევა.

ტყვიით ლეგირებისას აირადი ფაზიდან ლეგირების მეთოდი არ გამოდგება, რადგან ტყვიის წონასწორული წნევა ძალიან დაბალია იმ ტემპერატურებზე, რომლებზეც ფირის მასალის დაშლას ადგილი არა აქვს. ამიტომ ფირზე წინასწარ ვაკუუმურ-თერმული აორთქლებით ვაფენდით ტყვიას, შემდეგ კი ვატარებდით დიფუზიური გამოწვის პროცესს კვარცის დახურულ ამპულაში ინერტული აირის გარემოში. ეს მეთოდი შეესაბამება დიფუზიას სასრული სიმძლავრის წყაროდან.

3.3.3. ლებირების ჰექტოლობია

სტექიომეტრიული შემადგენლობის იმე-ის ერთნახევრიანი სულფიდების ძალიან მაღალი კუთრი ელექტროწინაღობა მნიშვნელოვნად ართულებს ფოტოელექტრული თვისებების გაზომვას და მასალის გამოყენებას მთელი რიგი პრაქტიკული მიზნებისათვის. აღნიშნული ფირების ფოტოგამტარებლობის სპექტრალური და ტემპერატურული დამოკიდებულების გაზომვა პირველად შესაძლებელი გახდა მათი კადმიუმით და ტყვით ლეგირების შემდეგ.

Tm_2S_3 , Pr_2S_3 და Nd_2S_3 -ის თხელი ფირების ტყვიის ატომებით ლეგირება ჩატარებულ იქნა დახურულ მოცულობაში მინარევის შემოსაზღვრული წყაროდან დიფუზიის მეთოდით. ამ მეთოდის განსახორციელებლად ფირებს ტყვიით წინასწარ ვფარავდით 10^{-6} მმ.ვწყ.სვ ვაკუუმში თერმული აორთქლების მეთოდით.. დაფენის პროცესში ფუძეშრის ტემპერატურა ~ 400 K-ს ტოლი იყო, ხოლო ტყვიის ამაორთქლებლის ტემპერატურა – ~ 1300 K, დაფენილი ტყვიის ფენის სისქე 8-15 მკ-ის რიგის იყო. დაფენის შემდეგ ფირს ნელა ვაცივებდით ოთახის ტემპერატურამდე ვაპუუმში, რის შემდეგაც მას ვათავსებდით წინასწარ, მარილმჟავას, აზოტმჟავასა და მლლობი მჟავას ნარევით 1 საათის განმავლობაში ქიმიურად დამუშავებულ კვარცის ამპულაში, რომელსაც ამოვტუმბავდით $\sim 10^{-5}$ მმ.ვწყ.სვ-მდე, ამპულას ვაკებდით სპექტრალურად სუფთა არგონით და მისი განრჩილვის შემდეგ მას ვათავსებდით დიფუზიურ დუმელში, რომელსაც ვახურებდით ~ 900 K-მდე და ვაწარმოებდით დიფუზიურ გამოწვას 18–25 საათის განმავლობაში.

პროცესის დასრულების შემდეგ ნიმუშს ვაციებდით ოთახის ტემპერატურამდე და ფირის ზედაპირიდან ტყვიის ნარჩენს ვაცილებდით მექანიკური პოლირებით.

Tm_2S_3 , Pr_2S_3 და Nd_2S_3 - ის თხელი ფირების კადმიუმით ლეგირება ხდებოდა დახურულ მოცულობაში აირადი ფაზიდან. ზემოთ ნახსენები მეთოდით ქიმიურად დამუშავებული ამპულის სხვადასხვა მხარეს ვათავსებდით ფირს და $\sim 10-15$ გ რაოდენობის მაღალი სისუფთავის კადმიუმს. ამის შემდეგ ამპულას ვტუმბავდით და განრჩილვის შემდეგ ვათავსებდით

სპეციალურად აწყობილ ორსექციან პორიზონტალურ ღუმელში, რომელსაც გახურებდით ~900 K-მდე. ამ ტემპურატურაზე კადმიუმის ორთქლის წნევა საკმაოდ მაღალია ~ $1.3 \cdot 10^{-2}$ მმ.გწყ.სვ. დიფუზიურ ვაწარმოებდით გამოწვას 15–45 საათის განმავლობაში. ამის შემდეგ ოთახის ტემპერატურამდე გაციებულ ფირს მექანიკური პოლირებით ვაცილებდით ზედმეტ კადმიუმს.

რენტგენოგრაფიული და ელექტრონოგრაფიული მეთოდებით ვაწარმოებდით ფირების ფაზური ანალიზის კონტროლს, ლეგირებისას შესაძლო მეორე ფაზის გაჩენის გამოსავლენად. როგორც კვლევებმა გვიჩვენეს, არც ტყვიით და არც კადმიუმით ზემოთ ნახსენებ რეჟიმებში ფირების ლეგირებისას დამატებითი ფაზის წარმოქმნას ადგილი არა აქვს.

3.4. III თავის დასპანები

III თავში აღწერილი Tm, Pr და Nd -ის ერთნახევრიანი სულფიდების მიღების, ლეგირების, კრისტალური სტრუქტურის შესწავლისა და ჩატარებული ფაზური და ქიმიური ანალიზის საფუძველზე შეიძლება გაკეთდეს შემდეგი დასკვნები:

1. პირველად დამუშავებულ იქნა ტულიუმისა და პრაზეოდიუმის ერთნახევრიანი სულფიდების თხელი ფირების მიღების ტექნოლოგია კომპონენტების ორი დამოუკიდებელი წყაროდან ვაკუუმურ-თერმული აორთქლების მეთოდით, ხელისუბის ერთნახევრიანი სულფიდის თხელი ფირების მიღების ტექნოლოგია წინასწარ სინთეზირებული მასალის დისკრეტული ვაკუუმურ-თერმული აორთქლების მეთოდით.

2. რენტგენოდიფრაქციული და ელექტრონოგრაფიული მეთოდებით ჩატარებულ იქნა Tm_2S_3 , Pr_2S_3 და Nd_2S_3 – ის ფირების ფაზური და კრისტალური სტრუქტურის სრულყოფის კონტროლი. ნაჩვენებ იქნა, რომ Tm_2S_3 -ის ფირებს გააჩნიათ θ ფორმა (კუბური სინგონია, სივრცული ჯგუფი $I\bar{4}3d$, სტრუქტურული ტიპი Tl_2O_3), ხოლო Pr_2S_3 და Nd_2S_3 -ის ფირებს – γ ფორმა (კუბური სინგონია, სივრცული ჯგუფი $I\bar{4}3d$, სტრუქტურული ტიპი Th_3P_4). დადგენილ იქნა მათი მესრის პარამეტრების სიდიდეები θ - Tm_2S_3 -

სთვის $a=12,46$ Å, $\gamma\text{-Pr}_2\text{S}_3$ -სთვის $a=8,91$ Å, $\gamma\text{-Nd}_2\text{S}_3$ –სთვის $a=8,60$ Å, რომლებიც კარგად ეთანხმება შესაბამისი შემადგენლობის მოცულობითი კრისტალების პარამეტრებს.

3. შერჩეულია Tm , Pr და Nd -ის ერთნახევრიანი სულფიდების მალეგირებელი ელემენტები. დამუშავებულია ლეგირების ტექნოლოგია კადმიუმითა და ტყვიით.

4. რენტგენური მიკროზონდური ანალიზით დადგენილია ფირებში ელემენტების ატომური შემადგენლობა:

- ა) $\Theta\text{-Tm}_2\text{S}_3$ -ში 40.2 ატ% Tm , 59.8 ატ% S
- ბ) $\gamma\text{-Pr}_2\text{S}_3$ -ში 40.29 ატ% Pr , 59.71 ატ% S
- გ) $\gamma\text{-Nd}_2\text{S}_3$ -ში 40.3 ატ% Nd , 59.7 ატ% S .

IV თავი ოპტიკური და ელექტროფიზიკური თვისებები

ამ თავში მოყვანილია Tm, Pr და Nd ერთნახევრიანი სულფიდების თხელი ფირების არეავლისა და გამჭვირვალობის სპექტრალური დამოკიდებულების შესწავლის შედეგები. ამავე თავში გადმოცემულია ტყვით და კადმიუმით ლეგირებული ფირების ფოტოგამტარებლობისა და ფოტო ემს-ს სპექტრალური დამოკიდებულებები. გაანალიზებულია მალეგირებელი ელემენტების გავლენა ფირების ფოტოცელექტრულ თვისებებზე.

4.1. ტულიუმის ერთნახევრიანი სულფიდის თხელი ფირების მალეგირებელი თვისებები

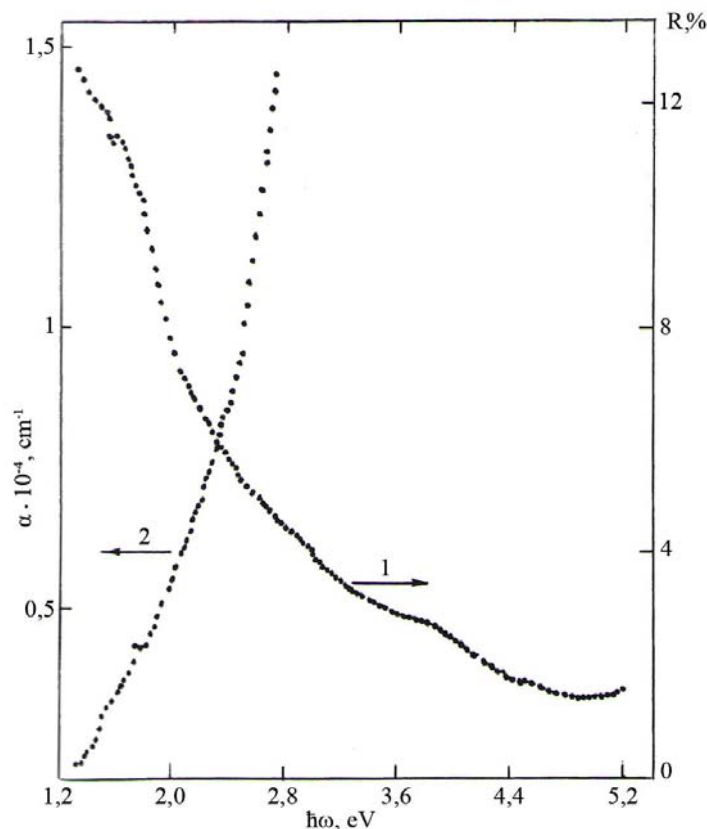
θ-Tm₂S₃-ის არეავლისა და შთანთქმის სპექტრი შესწავლილ იქნა 1.2–5.2 ევ ენერგიათა ინტერვალში. ნახაზ 4.1-ზე მოყვანილია არეავლისა და შთანთქმის სპექტრები, ხოლო ნახ.4.2-ზე შთანთქმის კოეფიციენტის სიხშირული დამოკიდებულების გრაფიკი. როგორც მოყვანილი გრაფიკებიდან ჩანს, ერთ ელექტრონგოლტზე ნალები ენერგიებისათვის მასალას გააჩნია მაღალი გამჭვირვალობა, რაც დამახასიათებელი იმუს-ს სულფიდებისათვის და რაც იწვევს მკვეთრად გამოხატულ ინტერფერენციულ ეფექტებს [55]. მაგრამ 3 ევ-ზე მაღალი ენერგიებისათვის შთანთქმა იმდენად მაღალია, რომ შესაძლებელია არეავლის სპექტრის გადაღება შედარებით თხელ ფირებში. ამიტომ ნახ. 4.1-ზე შთანთქმის კოეფიციენტის სპექტრალური დამოკიდებულება ნაჩვენები მხოლოდ 1.2–2.8 ევ არეში (ნახ.4.1. მრუდი 2), ხოლო არეავლის სპექტრისა – 1.2–5.2 ევ არეში (ნახ.4.1. მრუდი 1).

შთანთქმის მონოტონური ზრდა იწყება 1.2 ევ-დან, ხოლო არეავლის მკვეთრ შემცირებას ადგილი აქვს 4.9 ევ ენერგიიდან, რაც მიუთითებს განხილულ უბანში ზონათაშორისი ელექტრონული გადასვლების დიდ წვლილზე ოპტიკური სპექტრის ჩამოყალიბებაში. 3.9 ევ-ზე სუსტი

სტრუქტურა და არეაციას კოეფიციენტის დაბალი მნიშვნელობა შესაძლოა მიუთითებდეს არეაციას სპექტრის თავისებურებაზე.

შთანთქმის კიდეზე შეიმჩნევა განსხვავებული დახრილობის ორი უბნის არსებობა. ცნობილია, რომ [30] იმე-ის ერთნახევრიანი ჰალკოგენიდებში ელექტრონების გადასვლა ზონების ექსტრემუმებს შორის ემორჩილება შერჩევის წესს, რაც გამოწვეულია იმით, რომ სავალენტო ზონა ფორმირებულია ჰალკოგენის p მდგომარეობით და გამტარებლობის ზონა კი – იმე-ს იონის s და d მდგომარეობით. $4f^{n-1}$ მდგომარეობები განთავსებულია შედარებით ღრმად სავალენტო ზონის სიღრმეში [31,55]. ამრიგად, შთანთქმის კოეფიციენტის სპექტრალური დამოკიდებულების მრუდის სხვადასხვა დახრილობა შესაძლოა დაკავშირებული იყოს პირდაპირ და არაპირდაპირ ზონათაშორის გადასვლებთან.

მართლაც, როგორც ნახ.4.2 (1)-ზე მოყვანილი გრაფიკული ანალიზიდან ჩანს, დაბალ ენერგიებზე შთანთქმის სპექტრის ექსპერიმენტული მონაცემები კარგად აღიწერება დამოკიდებულებით



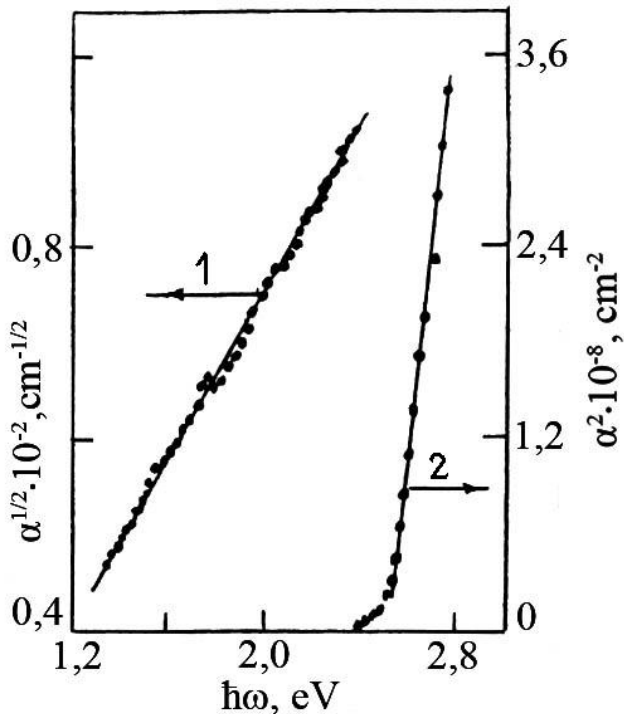
ნახ.4.1. არეაციის (1) და შთანთქმის სპექტრები (2)
(ფუძეშრე-ლეიკოსაფირონი, $T_g = 870 \text{ K}$, სისქე - 2.5 მგბ)

$$\alpha\hbar\omega \approx (\hbar\omega - \Delta E)^2 \quad (4.1)$$

რომელიც, როგორც ცნობილია [49]დამახასიათებელია ელექტრონების არაპირდაპირი გადასვლებისათვის. (4.1) განტოლებისა და შესაბამისი ექსპერიმენტალური მონაცემების საფუძველზე შეიძლება დავასკვნათ, რომ ენერგეტიკული დრენოს სიგანე შეადგენს 1.2 ევ-ს. $\hbar\omega > 2.4$ ევ ენერგიებისათვის შთანთქმის კოეფიციენტი მკვეთრად იზარდება (ნახ.4.2 მრუდი 2) და 4.2 ფორმულის შესაბამისი დამოკიდებულება განმსაზღვრელი ხდება

$$\alpha_d = (\alpha - \alpha_{io}) \approx (\hbar\omega - E_d) \quad (4.2)$$

ამ ფორმულაში α_{io} წარმოადგენს შთანთქმის კოეფიციენტის სიდიდეს $\hbar\omega \approx 2.4$ ევ-ზე, როდესაც ადგილი აქვს α ($\hbar\omega$) დამოკიდებულების შესაბამისი მრუდის დახრილობის ცვლილებას. გაანგარიშებული პირდაპირი ენერგეტიკული დრენოს სიდიდე ზონის ექსტრემუმებს შორის $E_d = 2.5$ ევ-ია.

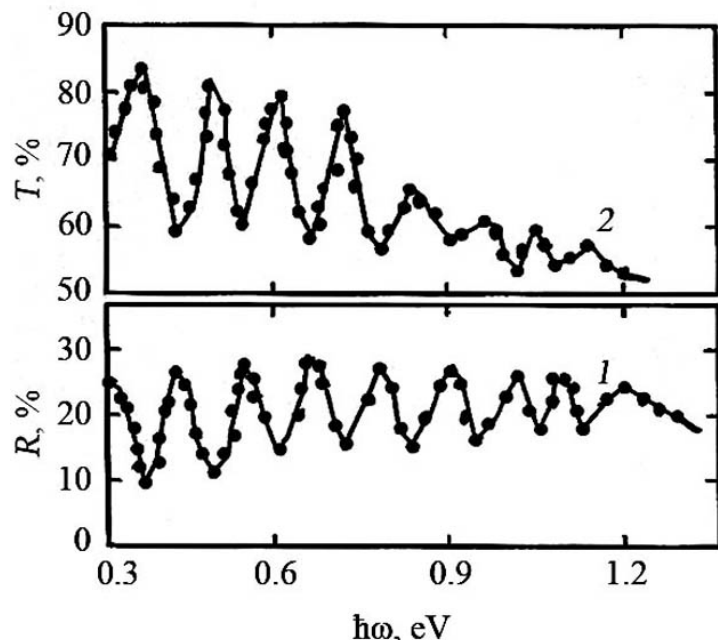


ნახ. 4.2. $\theta\text{-Tm}_2\text{S}_3$ -ის თხელი ფირის შთანთქმის კოეფიციენტის სიხშირული დამოკიდებულება არაპირდაპირი (1) და პირდაპირი (2) ზონათაშორისი ელექტრონული გადასვლებისას (ფუძეშრე-ლეიკოსაფირონი, $T_g = 870 \text{ K}$, სისქე – 2.5 მკბ)

ამრიგად, ჩვენს მიერ პირველად მიღებული θ - Tm_2S_3 -ის კრისტალური ფირის შთანთქმის კოეფიციენტის სიხშირული დამოკიდებულების ანალიზის საფუძველზე ნაჩვენებია, რომ შთანთქმის კიდის ფორმირებაში წვლილი შეაქვთ ელექტრონების არაპირდაპირ და პირდაპირ ზონათაშორის გადასვლებს შესაბამისად 1.2 ევ და 2.5 ევ ენერგიებზე.

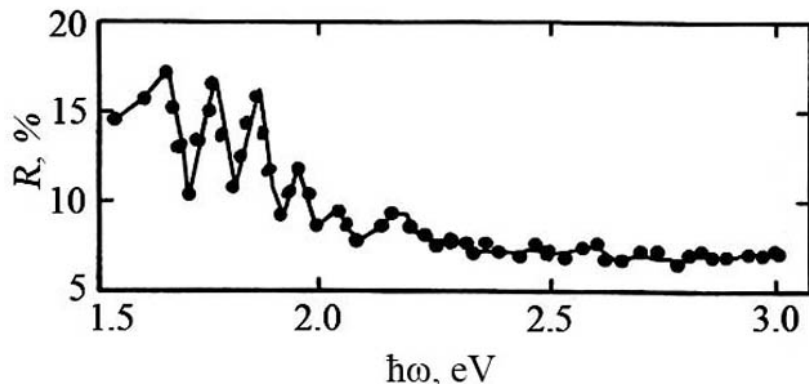
4.2.პრაზეოდიუმის ერთნახევრიანი სულფიდის თხელი ფირების რატიოპური თვისებები

ლეიკოსაფირონის ფუძეშრეზე დაფენილი პრაზეოდიუმის ერთნახევრიანი სულფიდების თხელ ფირებზე ფოტონების ენერგიათა უბანში 0.2-3.0 ევ და 300 K ტემპერატურაზე გაზომილ იქნა გამჭვირვალობისა და არეგვლის სპექტრები. ფირები მიღებულ იქნა კომპონენტების ორი დამოუკიდებელი წყაროდან ვაკუუმურ-თერმული აორთქლების მეთოდით (იხ. III თავი, 3.2.2). გაზომვები ჩატარდა ლია ყვითელი შეფერილობის რვა ფირზე. ფირებს შეესაბამებოდა γ ფორმა - კუბური სინგონია, სტრუქტურული ტიპი Th_3P_4 , სივრცული ჯგუფი $In3d$, მესრის პარამეტრი $a=8.91 \text{ \AA}$.

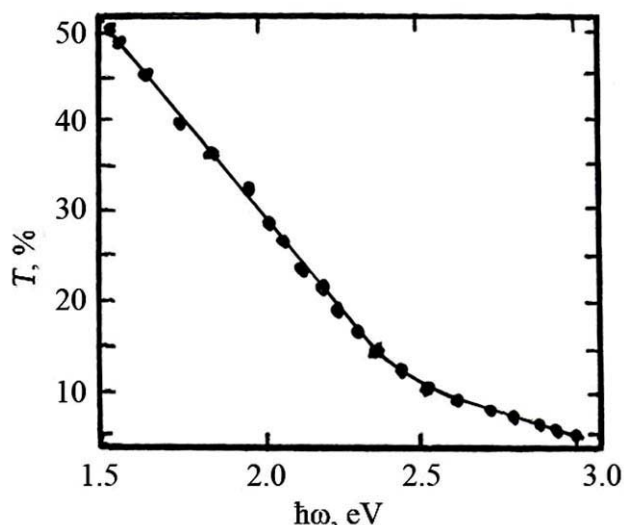


ნახ. 4.3. γ - Pr_2S_3 -ის ფირების არეგვლის (1) და გამჭვირვალობის (2) სპექტრები (ფუძეშრე - ლეიკოსაფირონი, $T_g=950\text{K}$, სისქე - 1,8 მეტ)

ნახ.4.3-ზე მოყვანილია γ - Pr_2S_3 -ის თხელი ფირის არეკვლისა და გამჭვირვალობის სპექტრები ინფრაწითელ უბანში ენერგიებზე, რომლებიც გაცილებით ნაკლებია γ - Pr_2S_3 -ის მოცულობითი კრისტალის აკრძალული ზონის სიგანეზე, რომელიც როგორც ცნობილია [65] ტოლია 2.8 ევ. როგორც ნახაზიდან ჩანს, სპექტრის ამ უბანში ყველა სტრუქტურა შეიძლება მიეწეროს ინტერფერენციულ ეფექტებს. ინტერფერენციული ზოლების ენერგეტიკული მდგომარეობების მიხედვით დათვლილ იქნა გარდატეხის კოეფიციენტი $n=2.56\pm 0.05$, ამასთან ტალღის სიგრძის $\lambda=1.5\cdot 10^{-4}$ სმ სიდიდემდე გარდატეხის კოეფიციენტი დამოკიდებული არ არის ტალღის სიგრძეზე. ნახ.4.4-ზე მოცემულია არეკვლის სპექტრალური დამოკიდებულება ხოლო ნახ.4.5-ზე გამჭვირვალობისა.



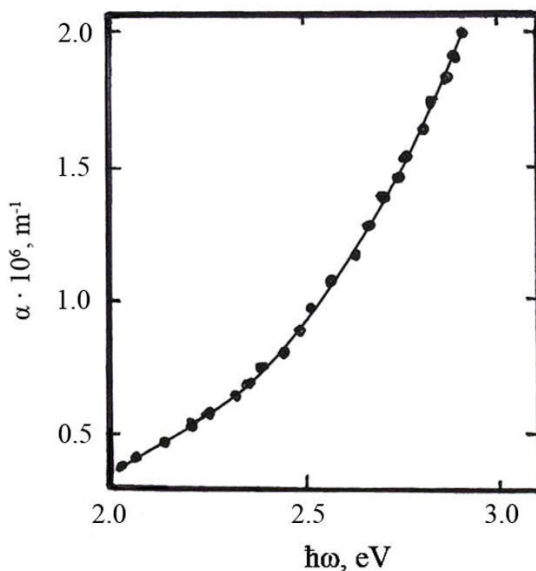
ნახ.4.4. γ - Pr_2S_3 ფირების არეკვლის სპექტრალური დამოკიდებულება შთანთქმის კიდის მახლობლობაში (ფუძეშრე-ლეიკოსაფირონი, $T_g=950\text{K}$, სისქე – 1,8 მკმ)



ნახ.4.5. γ - Pr_2S_3 ფირების გამჭვირვალობის სპექტრალური დამოკიდებულება შთანთქმის კიდის მახლობლობაში (ფუძეშრე – ლეიკოსაფირონი, $T_g=950$, სისქე – 1,8 მკმ)

სპექტრალური დამოკიდებულება ფუნდამენტური შთანთქმის კიდის
მახლობლობაში.

ნახ.4.6-ზე მოყვანილია შთანთქმის ა კოეფიციენტის სპექტრალური დამოკიდებულება შთანთქმის კიდესთან. როგორც ნახაზიდან ჩანს, ფოტონების ენერგიის გაზრდით შთანთქმის კოეფიციენტი მონოტონურად იზრდება. ჩვენს მიერ ჩატარებულმა შთანთქმის კოეფიციენტის სიხშირეზე დამოკიდებულების ანალიზმა აჩვენა, რომ ფოტონების ენერგიის უბანში $\hbar\omega = 2-3$ ევ ექსპერიმენტალური მონაცემები არ ლაგდებიან არც პირდაპირი დაშვებული გადასვლების შესაბამის დამოკიდებულებაზე ახთ~($\hbar\omega - \Delta E_{gd}$)^{1/2} და არც არაპირდაპირი გადასვლების შესაბამის დამოკიდებულებაზე. მაგრამ ენერგიით მთელს უბანში სიხშირული დამოკიდებულება კარგად აღიწერება ფორმულით $\alpha = \alpha_0 \exp(r/\hbar\omega)$. ამრიგად, შეიძლება დაგასკვნათ, რომ $\gamma\text{-Pr}_2\text{S}_3$ -ის ფირებს შეესაბამება შთანთქმის ექსპონენციალური კიდე. ამ თვალსაზრისით ჩვენს მიერ მიღებული მონაცემები კარგად ეთანხმებიან როგორც მონაცემებს Dy_2S_3 -ის ფირების [17], ასევე მოცულობითი კრისტალებისათვის [53] და როგორც ქვემოთ ვნახავთ $\gamma\text{-Nd}_2\text{S}_3$ -ის ფირებისათვის [60]. [54] ნაშრომის ავტორები ამტკიცებენ, რომ შთანთქმის კოეფიციენტის ექსპონენციალური ზრდა დამახასიათებელია La_2S_3 -ის მონოკრისტალებისათვის



ნახ.4.6 $\gamma\text{-Pr}_2\text{S}_3$ ფირების შთანთქმის კოეფიციენტის სპექტრალური დამოკიდებულება

[53] ნაშრომის ავტორების აზრით შთანთქმის კოეფიციენტის ექსპონენციალური კიდე განპირობებულია მასალაში აღმოჩენილი

მიკროარაერთგვაროვნებით და ამგვარად, როგორც ისინი თვლიან, ას ექსპონენციალური ზრდა გამოწვეულია არა მასალის ბუნებით, არამედ კონკრეტული შესწავლილი ნიმუშის თავისებურებით.

[54] ნაშრომის ავტორების აზრით კი აღმოჩენილი სპექტრალური დამოკიდებულება დამახასიათებელია სწორედ La_2S_3 -ის კვაზიამორფულობასთან, რომელიც თავის მხრივ გამოწვეულია კათიონური ვაკანსიების მაღალი კონცენტრაციით.

[17] ნაშრომის ავტორი Dy_2S_3 -ის რენტგენოგრაფიული და ელექტრონოგრაფიული კვლევების საფუძველზე ამტკიცებს, რომ შემჩნეული ექსპონენციალური ზრდა დამახასიათებელია მასალისათვის. ჩვენის აზრით, ისევე როგორც Dy_2S_3 -ის და $\gamma\text{-Nd}_2\text{S}_3$ -ის ფირებისათვის [17,60], შთანთქმის კოეფიციენტის ექსპონენციალური კიდე $\gamma\text{-Pr}_2\text{S}_3$ -ის ფირებში გამოწვეულია კათიონური ვაკანსიების მაღალი კონცენტრაციებით.

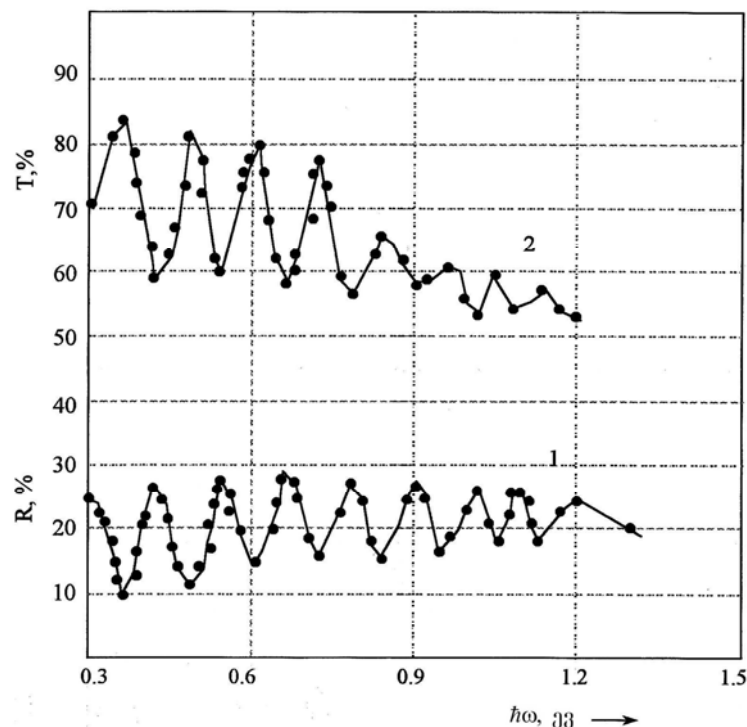
როგორც ცნობილია, შთანთქმის კოეფიციენტის ექსპონენციალური კიდის შემთხვევაში აკრძალული ზონის სიგანის დადგენა შესაძლებელია მხოლოდ იმ შემთხვევაში, თუ ცნობილია ამ კოეფიციენტის ცვლილების სახე ექსპონენციალური კიდის ზემოთ [54]. ვინაიდან ჩვენს შემთხვევაში 2.8 ევ ენერგიამდე შთანთქმის კოეფიციენტი აღიწერება ექსპონენციალური კანონით, შეოძლება მხოლოდ ის დავასკვნათ, რომ $\gamma\text{-Pr}_2\text{S}_3$ -ის აკრძალული ზონის სიგანე არანაკლებ 2.8 ევ-ია.

4.3. ნეოდიუმის ერთნახევრიანი სულფიდის თხელი ზირების ოპტიკური თვისებები

ლეიკოსაფირონის ფუძეშრეზე მიღებული ნეოდიუმის ერთნახევრიანი სულფიდების თხელ ფირებზე ფოტონების ენერგიათა უბანში 0.2-3.0 ევ და 300 K ტემპერატურაზე გაზომილ იქნა გამჭვირვალობისა და არეკვლის სპექტრები [50]. ფირები პირველად იქნა მიღებული წინასწარ სინთეზირებული შენაერთის დისკრეტული ვაკუუმურ-თერმული აორთქლების მეთოდით (იხ. III თავი 3.2.3). გაზომვები ჩატარდა ყვითელი შეფერილობის ხუთ ფირზე. ფირებს

შეესაბამებოდა γ -ფორმა -კუბური სინგონია, Th_3P_4 სტრუქტურული ტიპი, მესრის მუდმივა $a=8.60\text{\AA}$.

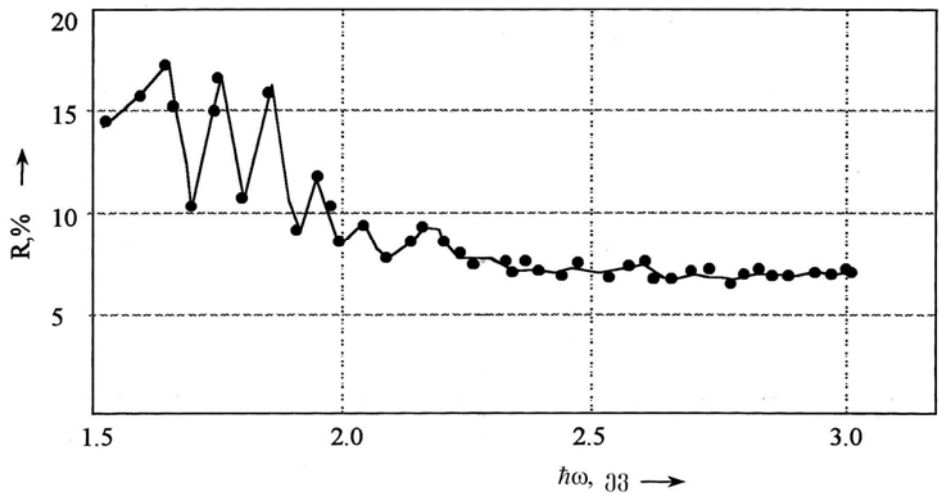
ნახ.4.7-ზე მოცემულია არეავლისა (1) და გამჭვირვალობის (2) სპექტრალური დამოკიდებულება ენერგიათა უბანში $\hbar\omega << \Delta E_g$, სადაც $\Delta E_g \approx 2.9$ ევ. იმე-ს სხვა ერთნახევრიანი სულფიდების ანალოგიურად (Sm_2S_3 , Yb_2S_3 , Dy_2S_3 , Pr_2S_3) γ - Nd_2S_3 -ის ფირებს ინფრაწითელ უბანში გააჩნიათ მაღალი გამჭვირვალობა. არეავლა შეადგენდა $\sim 20\%$ -ს.



ნახ. 4.7. γ - Nd_2S_3 თხელი ფირის არეავლის (1) და გამჭვირვალობისა (2) სპექტრალური დამოკიდებულებები ენერგიათა უბანში $\hbar\omega << \Delta E_g$ (ფუძემრე-ლეიკოსაფირონი, სისქე-2,0 მკმ).

ნახაზიდან ჩანს, რომ ყველა სტრუქტურა ინტერფერენციული ეფექტებითაა გამოწვეული და ინტერფერენციული ზოლების ენერგეტიკული მდგომარეობებით განსაზღვრული გარდატეხის მაჩვენებელი $n=2.58 \pm 0.05$.

ნახ.4.8-ზე ნაჩვენებია გამჭვირვალობის, ნახ. 4.9-ზე კი არეავლის კოეფიციენტების სპექტრალური დამოკიდებულება ფოტონების ენერგიისთვის, რომლებიც ფუნდამენტური შთანთქმის კიდესთან ახლოსაა, ნახ.4.10-ზე მოცემულია შთანთქმის კოეფიციენტის სპექტრი, აშკარაა, რომ შთანთქმის კოეფიციენტის ზრდა მონიტონური ხასიათისაა ფოტონების ენერგიის ზრდასთან ერთად.



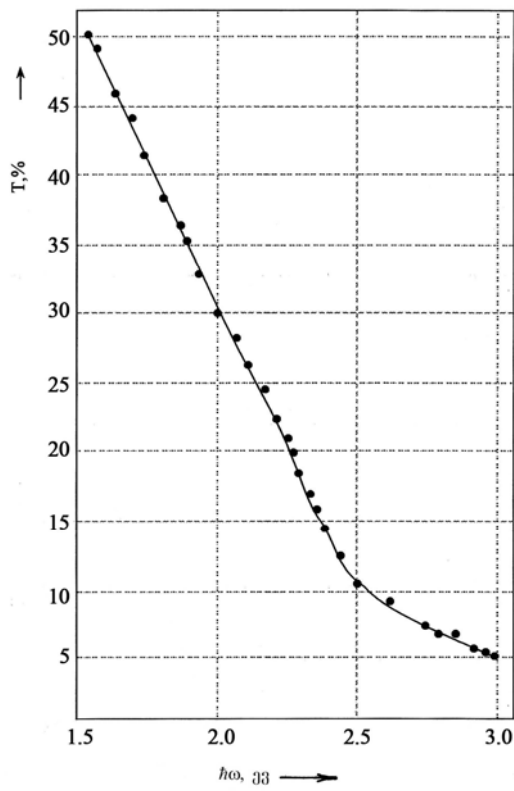
ნახ. 4.8. γ - Nd_2S_3 თხელი ფირის არეკვლის სპექტრალური დამოკიდებულება შთანთქმის კიდესთან (ფუძეშრგ-ლეიკოსაფირონი, სისქე-2,0 მკმ).

შთანთქმის კოეფიციენტის სიხშირული ანალიზი ჩატარებულ იქნა $\hbar\omega = 2 - 3 \text{ eV}$ უბანში, რომელმაც აჩვენა, რომ როგორც γ - Pr_2S_3 -ის შემთხვევაში, ექსპერიმენტის მონაცემები არ შეესაბამება არც პირდაპირი – ახლ $\sim (\hbar\omega - \Delta E_g)^{1/2}$ და არც

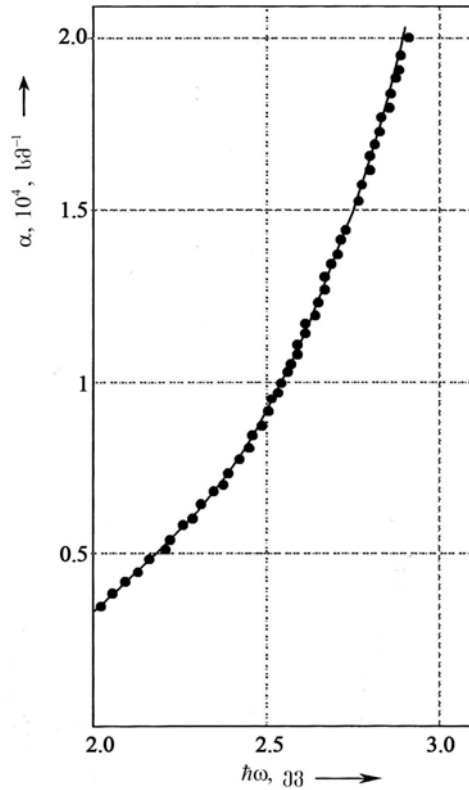
არაპირდაპირი გადასვლების დამოკიდებულებას – ახლ $\sim (\hbar\omega - \Delta E_g)^2$. სამაგიეროდ სიხშირული დამოკიდებულება ენერგიათა მთელს უბანში კარგად აღიწერება ფორმულით $\alpha = \alpha_0 \exp(-\hbar\omega/\Delta E_g)$ და კარგად შეესაბამებიან γ - Nd_2S_3 -ის მოცულობითი კრისტალების კვლევის შედეგებს [53].

γ - Pr_2S_3 -ის ფირების კვლევის ზემოთ მოყვანილი შედეგების ანალოგიურად შეიძლება დავასკვნათ, რომ γ - Nd_2S_3 -ის ფირების აკრძალული ზონის სიგანე 2.9 ევ-ია.

უნდა შევნიშნოთ, რომ γ - Pr_2S_3 -ისა და γ - Nd_2S_3 -ის ოპტიკური პარამეტრების კვლევის შედეგები ძალიან ახლოს არის ერთმანეთთან. ეს გარემოება ალბათ გამოწვეულია იმით, რომ ამ მასალების კრისტალოგრაფიული მონაცემები – კრისტალური მესრის ფორმა, სინგონია, სტრექტურული ტიპი, მესრის მუდმივები ძალიან ახლოს არის ერთმანეთთან.



ნახ. 4.9. γ - Nd_2S_3 ოხელი ფირის გამჭვირვალობის სპექტრალური დამოკიდებულება შთანთქმის კიდესთან (ფუძეშრეც-ლეიკოსაფირონი, სისქე-2,0 მკბ)



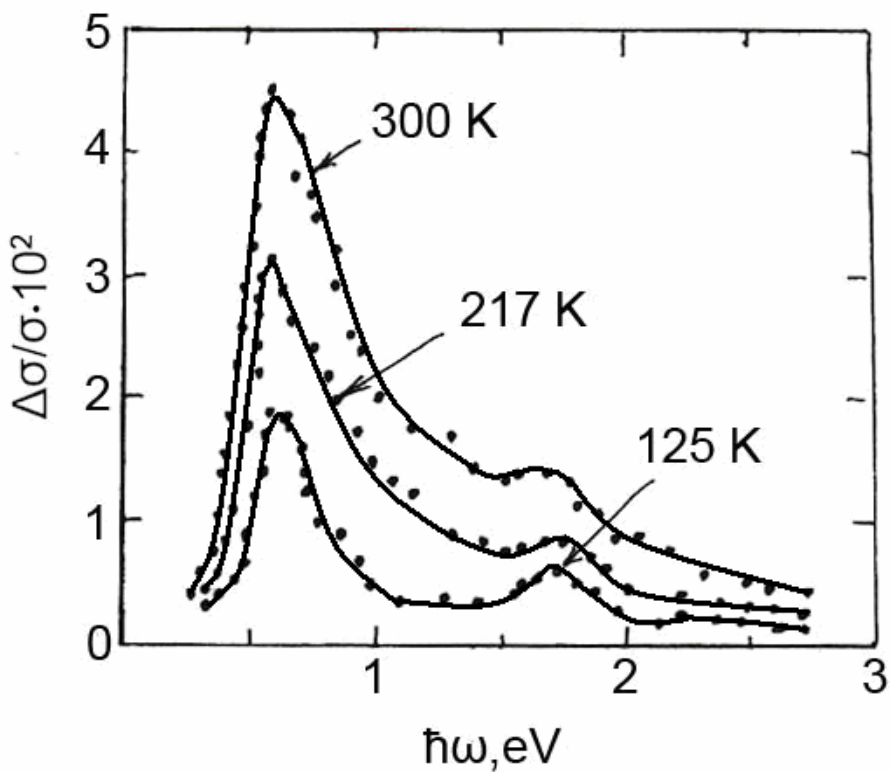
ნახ. 4.10. γ - Nd_2S_3 ოხელი ფირის შთანთქმის კოეფიციენტის სპექტრალური დამოკიდებულება (ფუძეშრეც-ლეიკოსაფირონი, სისქე-2,0 მკბ).

4.3. პაზმიუმითა და ტეპიოთ ლაბირენტული ფულიუმის, პრაზეოდიუმისა და ცერიუმის ერთნახევრიანი სულფიდის თხელი ფირხბის ელექტროფიზიკური და ფოტოელექტრული თვისებები

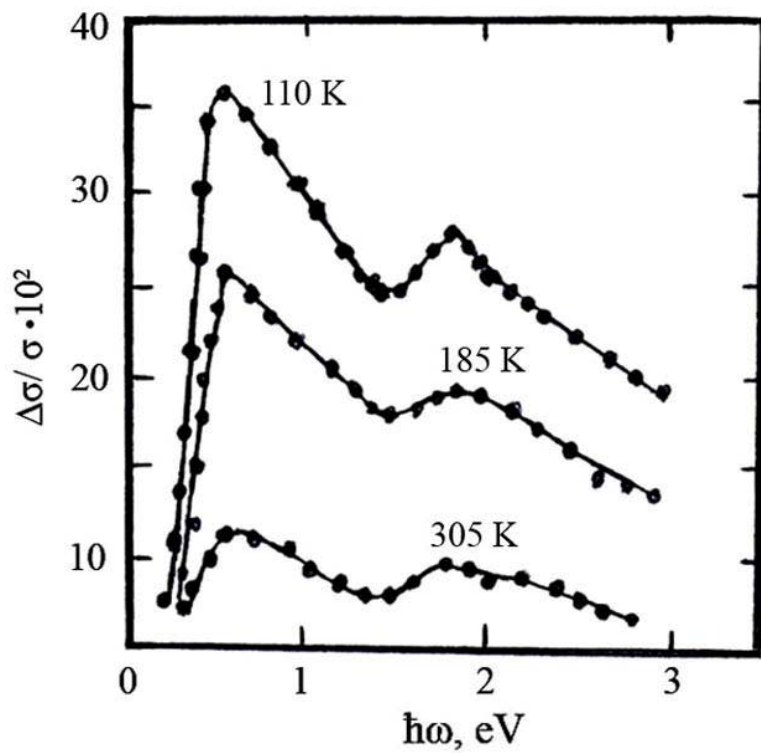
იმისათვის, რომ შევისწავლოთ მალეგირებებელი ნივთიერების, კერძოდ კადმიუმის და ტყვიის გავლენა ტულიუმის, პრაზეოდიუმისა და ნეოდიუმის ერთნახევრიანი სულფიდების თხელი ფირების ელექტრულ და ფოტოელექტრულ თვისებებზე, ასევე დადგინდეს მინარევის იონიზაციის ენერგია $80-500\text{K}$ ტემპერატურულ ინტერვალში, შესწავლილ იქნა ფოტოგამტარებლობისა და ფოტო ელექტრომამოძრავებელი ძალის სპექტრალური დამოკიდებულება $0,2-3,3$ ევ ენერგიათა ინტერვალში, ოთახის ტემპერატურაზე გაზომილ იქნა კუთრი წინაღობა. თერმო ემპ-ს გაზომვით დადგინდა ლეგირებული ფირების გამტარებლობის ტიპი. როგორც კადმიუმით, ისე ტყვიით ლეგირებულ ფირებს გააჩნიათ ელექტრონული გამტარებლობა. კადმიუმით ლეგირება სხვადასხვა ნიმუშებში იწვევს ფირების საწყისი კუთრი წინაღობის შემცირებას $3-9$ რიგით, ხოლო ტყვიით ლეგირება $7-8$ რიგით.

ფოტოელექტრული პარამეტრების ყველა რიცხობრივი მონაცემი ფოტონების ენერგიათა უბანში $0.2-3.3$ ევ და ტემპერატურულ შუალედში $80-500\text{K}$ გაანგარიშებულ იქნა ფოტონების ტოლი რაოდენობებისათვის, რომლებიც შეესაბამებოდნენ დაცემული გამოსხივების $0-13$ ვტ/ს m^2 ინტენსივობას.

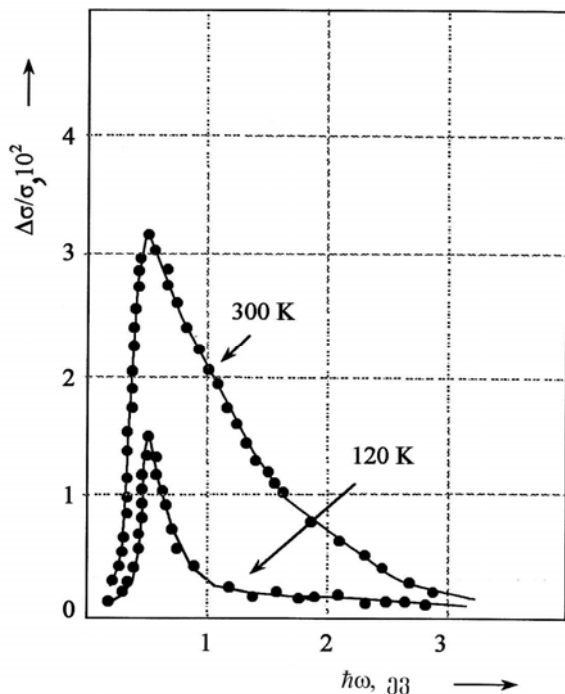
ნახ. 4.11, 4.12 და 4.13 ნაჩვენებია ტყვიით ლეგირებული $\theta\text{-Tm}_2\text{S}_3$ -ის, $\gamma\text{-Pr}_2\text{S}_3$ -ისა და $\gamma\text{-Nd}_2\text{S}_3$ -ის თხელი ფირების ფოტოგამტარებლობის სპექტრალური დამოკიდებულებები. როგორც ვხედავთ, თითოეული შენაერისთვის ყველა ტემპერატურაზე შესამჩნევია ენერგიათა მაქსიმუმები შესაბამისად $0,510$ ევ, $0,505$ ევ და $0,49$ ევ ენერგიაზე, რომელიც შეესაბამება ტყვიის ძირითად დონორულ მდგომარეობას.



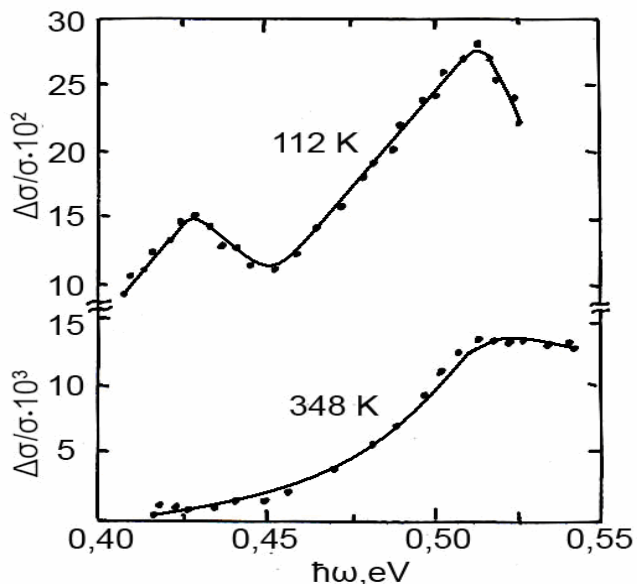
ნახ. 4.11. ფგ-ის სპექტრალური დამოკიდებულება სხვადასხვა ტემპერატურებზე
 $\text{Tm}_2\text{S}_3:\text{Pb}$ ფირებში



ნახ. 4.12. ფოტოგამტარებლობის სპექტრალური დამოკიდებულება
სხვადასხვა ტემპერატურებზე ტყვიით ლეგირებული $\gamma\text{-Pr}_2\text{S}_3$ ფირისათვის



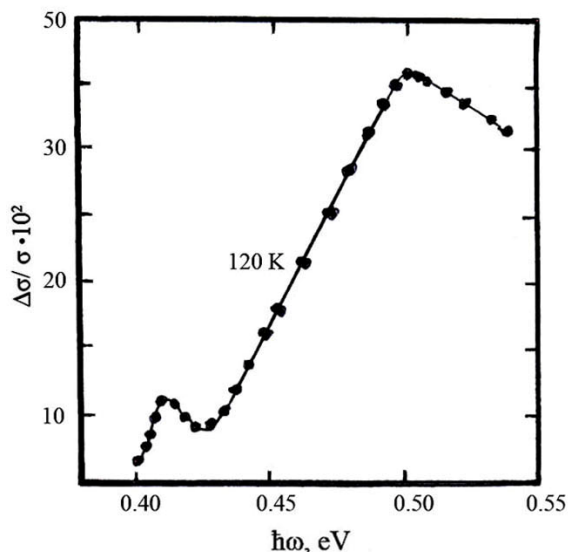
ნახ.4.13. ფოტოგამტარებლობის სპექტრალური დამოკიდებულებები სხვადასხვა ტემპერატურებზე ტყვიით ლეგირებული $\gamma\text{-Nd}_2\text{S}_3$ თხელი ფირისათვის.



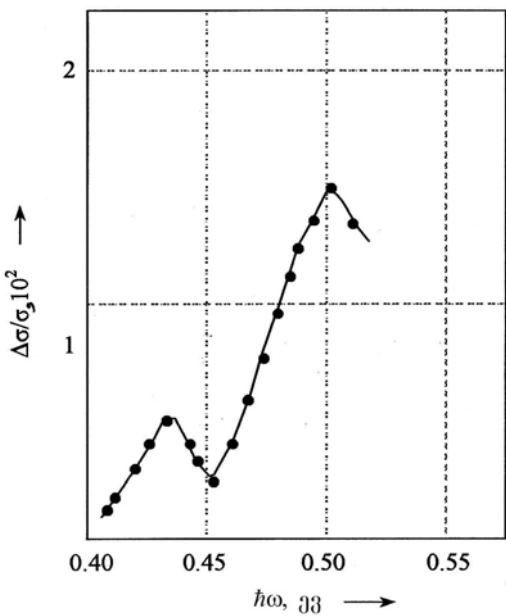
ნახ. 4.14. ნაზი სტრუქტურა ტყვიით ლეგირებული $\theta\text{-Tm}_2\text{S}_3$ -ის ფირის ფა-ის სპექტრში

გარდა ამისა, 112 K-ზე და $\hbar\omega = 0,435$ ევ ენერგიაზე $\theta\text{-Tm}_2\text{S}_3$ -ისთვის ნახ. 4.14-დან ჩანს, რომ წნდება ნაკლები ინტენსივობის მაქსიმუმი, რომელიც თანდათან ქრება ტემპერატურის ზრდით. ანალოგიური ნაზი

სტრუქტურა შეიმჩნევა γ - Pr_2S_3 -ისათვის $\hbar\omega = 0,420$ ევ ენერგიასა და 120 K-ზე (ნახ. 4.15), ხოლო γ - Nd_2S_3 -ისათვის 0,43 ევ ენერგიასა და 115 K ტემპერატურაზე (ნახ.4.16). შეიძლება ვივარაუდოთ, რომ ზემოთ ნახსენები სხვადასხვა ფირებზე დამზერილი პიკები შესაბამისად 0.510 ევ, 0.505 ევ, 0.49 ევ-ზე დაკავშირებული არიან ტყვიის დონორული დონის აღგზნებით და ტყვიის ძირითად და პირველ აღგზნებულ მდგომარეობებს შორის ენერგეტიკული ინტერვალები ტოლია 0.075 ევ - θ - Tm_2S_3 -თვის, 0.085 ევ - γ - Pr_2S_3 -თვის და 0,06 ევ - γ - Nd_2S_3 -თვის.

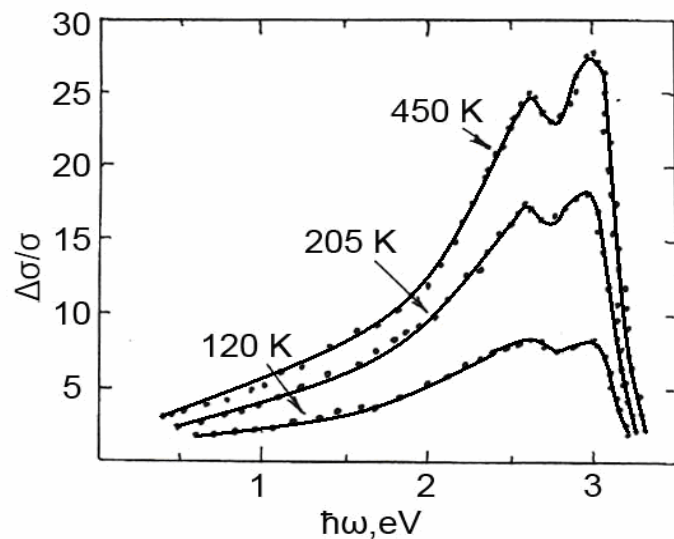


ნახ.4.15. ფგ-ის სპექტრში ნაზი სტრუქტურა γ - Pr_2S_3 -ის ტყვიით ლეგირებული ფირებისთვის 120 K ტემპერატურისას

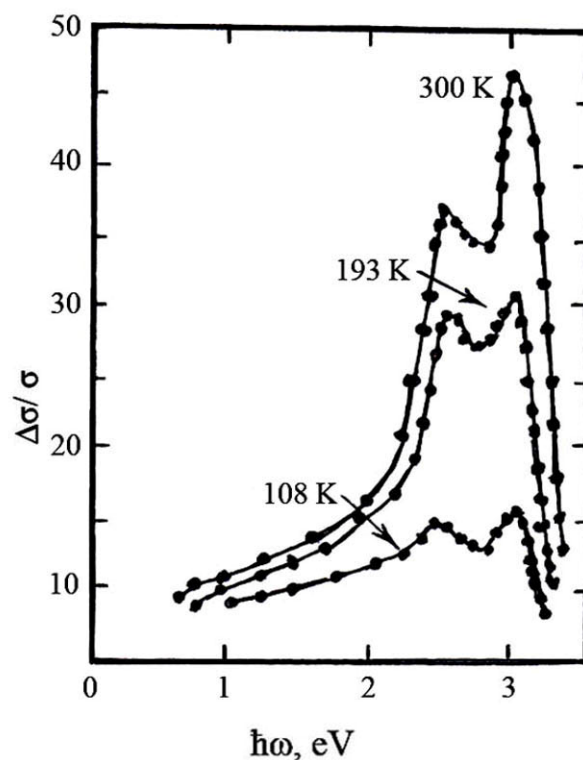


ნახ. 4.16. ნაზი სტრუქტურა ტყვიით ლეგირებული γ - Nd_2S_3 თხელი ფირის ფოტოგამტარებლობის სპექტრში 115 K-ზე.

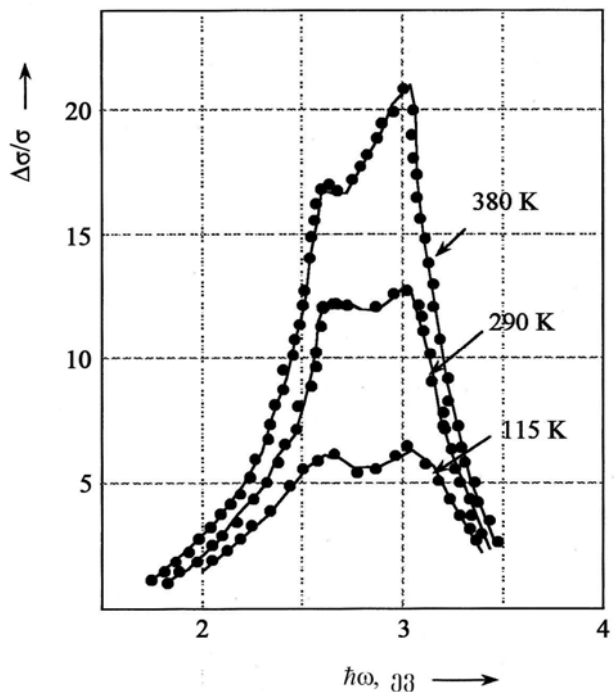
ნახაზებზე 4.17, 4.18 და 4.19 მოყვანილია კადმიუმით ლეგირებული θ - Tm_2S_3 -ის, γ - Pr_2S_3 -ისა და γ - Nd_2S_3 -ის თხელი ფირების ფოტოგამტარებლობის სპექტრალური დამოკიდებულებები. ფოტომგრამნობიარობის სპექტრალური დამოკიდებულება გრძელტალდოვან კიდესთან მიგვანიშნებს, რომ ამ შენაერთებში შთანთქმის კიდის ფორმირებაში ელექტრონების პირდაპირი ზონათაშორისი გადასვლები მონაწილეობას არ იღებენ. ფოტოგამტარებლობის სიხშირული დამოკიდებულება ექსპონენციალურთან ახლოსაა, რაც კარგად ეთანხმება ოპტიკური პარამეტრების სპექტრალური დამოკიდებულებების კვლევების შედეგებს. თუ გავითვალისწინებთ იმას, რომ ფირებში ტყვიისა და კადმიუმის მინარევების დიფუზიის სიჩქარე საკმაოდ მაღალია და ლეგირების შემდეგ ფირებს გააჩნიათ ელექტრონული გამტარებლობა, გარდა ამისა ფირების გამოწვისას ადგილი აქვს საწყისი მაღალი კუთრი წინადობის აღდგენას, შეიძლება ვიფიქროთ, რომ როგორც კადმიუმის, ისე ტყვიის მინარევული ატომები ლეგირების შემდეგ განლაგდებიან კრისტალური მესრის კვანძებში.



ნახ.4.17. ფგ-ის სპექტრალური დამოკიდებულება
სხვადასხვა ტემპერატურებზე $Tm_2S_3:Cd$ ფირებში.

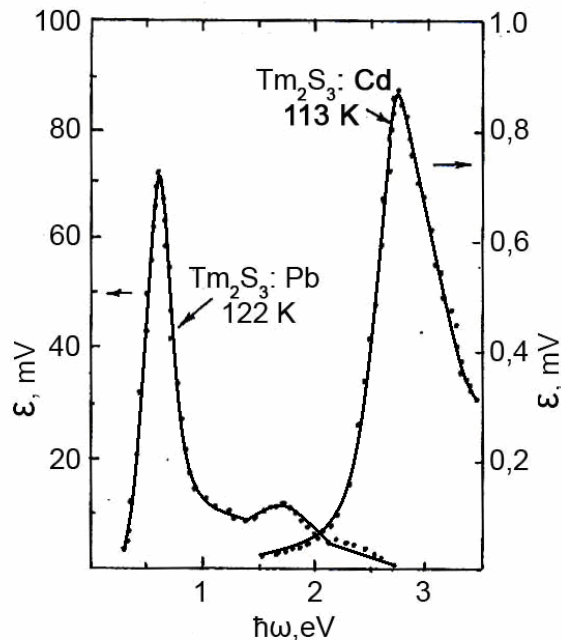


ნახ. 4.18. ფოტოგამტარებლობის სპექტრალური დამოკიდებულება
სხვადასხვა ტემპერატურებზე კადმიუმით ლეგირებული γ - Pr_2S_3 ფირისათვის



ნახ.4.19. ფოტოგამტარებლობის სპექტრალური დამოკიდებულებები სხვადასხვა ტემპერატურებზე კადმიუმით ლეგირებული γ - Nd_2S_3 თხელი ფირისათვის.

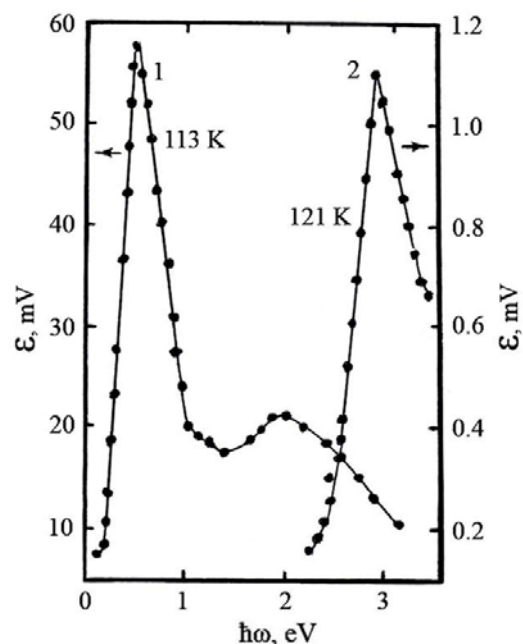
ნახ.4.20-ზე წარმოდგენილია ფოტო ემს-ს სპექტრალური დამოკიდებულება ტყვიით და კადმიუმით ლეგირებულ Tm_2S_3 ფირებში შესაბამისად 122 K და 113 K ტემპერატურებზე.



ნახ. 4.20. ფოტო-ემს-ს სპექტრალური დამოკიდებულება $\text{Tm}_2\text{S}_3:\text{Pb}$ და $\text{Tm}_2\text{S}_3:\text{Cd}$ ფირებში შესაბამისად 122 K და 113 K ტემპერატურებზე

ნახ. 4.21-ზე კი იგივე დამოკიდებულება Pr_2S_3 -ის ტყვიითა და კადმიუმით ლეგირებულ ფირებში შესაბამისად 113 K და 121 K ტემპერატურებზე. აღსანიშნავია, რომ განსაკუთრებით კადმიუმით ლეგირებულ ფირებში მაღალი ფოტომგრძნობიარობა შეინიშნება და ეს იმაზე მეტყველებს, რომ იმე-ის ერთნახევრიანი სულფიდები წარმოადგენენ პერსპექტიულ მასალებს ფოტომგრძნობიარე სტრუქტურების შესაქმნელად.

ფგ-ისა და ფოტო-ემბ-ს სპექტრალური დამოკიდებულებები არსებითად განსხვავდება კადმიუმითა და ტყვიით ლეგირებიბული ფირებისათვის, რაც ალბათ დაკავშირდებულია იმასთან, რომ კადმიუმი ქმნის თხელ დონორულ დონეს, რაზეც მიუთითებს ის ფაქტი, რომ რაიმე სტრუქტურის აღმოჩენა სპექტრის გრძელტალდოვან უბანში 0.2 ევ ენერგიამდე ვერ მოხერხდა, რაც მაზე მეტყველება, რომ შესაბამისი მაქსიმუმი ძევს ღრმა ინფრაწითელ უბანში და ამდენად შეიძლება დავუშვათ, რომ დაბალ ტემპერატურებზეც კი ადგილი აქვს კადმიუმის დონორული მდგომარეობის იონიზაციას და მისი ძირითადი როლი ფოტოპროცესებში მდგომარეობს აქცეპტორების კომპენსაციაში, ე.ი. ფოტომატარებლების სიცოცხლის ხანგრძლივობის გაზრდასა და ფოტომგრძნობიარების გაზრდაში საკუთარი სპექტრის უბანში, როგორც ეს კარგად ჩანს ექსპერიმენტალური მონაცემებიდან.



ნახ. 4.21. ტყვიით (1) და კადმიუმით (2) ლეგირებულ ფირებში ფოტო-ემბ-ს სპექტრალური დამოკიდებულება

შესწავლით იქნა ფგ და ფოტო-ემბ-ზე ტემპერატურის გავლენა ნიმუშზე დაცემული გამოსხივების ფიქსირებული ტალღის სიგრძის დროს სპექტრის როგორც მინარეულ, ისე საკუთარ უბანში. აღსანიშნავია, რომ ყველა ფირისათვის ადგილი პქონდა ტემპერატურისაგან ფოტომგრძნობიარობის ჩვეულებრივ, ექსპონენციალურთან მიახლოებულ დამოკიდებულებას.

4.5. ხანბრძლივი რელაშესაცია კადმიუმით ლაბირენტზე ტულიუმის ერთნახვრიანი სულფიდის თხელ ვირებში

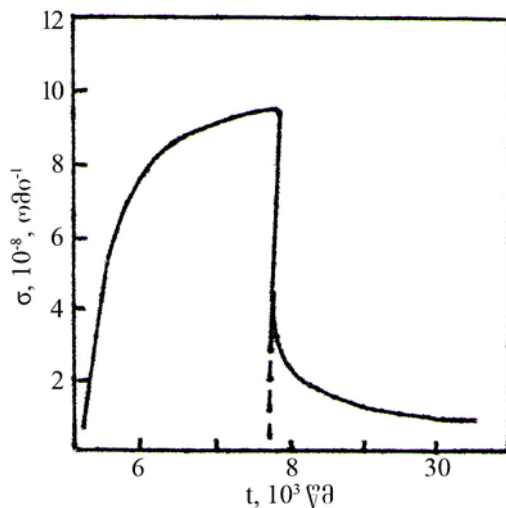
მაღალომიანი, ფართოზონიანი ნახევარგამტარები, რომელთა რიცხვსაც მიეკუთვნება იმე-ს ერთნახევრიანი სულფიდები, წარმოადგენენ საინტერესო მასალებს ოპტოელექტრონული ტექნიკისთვის [61]. ამ შენაერთებში აღმოჩენილია რიგი საინტერესო ეფექტებისა [27,28,62], მათ შორის ფოტოგამტარებლობის ეგერეთ წოდებული ხანგრძლივი რელაქსაცია (ხრ). მიჩნეულია, რომ ხრ-ის მიზეზს წარმოადგენს ნიმუშში პოტენციური ბარიერების არსებობა, რაც დაკავშირებულია გარკვეულ არაერთგაროვნებასთან. როგორც ცნობილია იმე-ის ერთნახევრიანი სულფიდები ხასიათდებიან კათიონურ ქვემესერში საკუთარი სტატისტიკურად განაწილებული სტრუქტურული დეფექტების არსებობით. ამ მხრივ ისინი უდაო ინტერესს იმსახურებენ.

ჩვენს მიერ შესწავლით იქნა ფგ-ის ხრ-ის ზოგიერთი კანონზომიერებები კადმიუმით ლეგირებულ თ-Tm₂S₃ ფირებში.

III თავში აღწერილი მეთოდით მიღებული ფირების კუთრი წინადობა ლეგირებამდე შეადგენდა $\sim 10^{10}$ ომ.მ, ლეგირების შემდეგ კი კუთრი წინადობა ტოლი იყო 40 ომ.მ.

წინადობის ტემპერატურული, სპექტრალური, დროითი და ლუქსამპერული დამოკიდებულებების შესწავლა სწარმოებდა მიკრო ეგმ-ით აღჭურვილ KCBY-23 დანადგარზე. ეგმ-ით სწარმოებდა ექსპერიმენტის მართვა და მიღებული შედეგების დამუშავება.

როგორც კადმიუმით ლეგირებული თ-Tm₂S₃ -ის ფგ-ს შესწავლამ აჩვენა, (ნახ.4.22) ხანგრძლივდროიანი პროცესები დაიმზირება როგორც მონოქრომატული განათების გამორთვის, ისე ჩართვის დროს.



ნახ. 4.22. ფგ-ის კინეტიკა $T=110$ დროს ($\lambda=470$ ნმ, $J=150$ მგტ/ნმ 2)
(პუნქტირი შეესაბამება განათების შეწყვეტას)

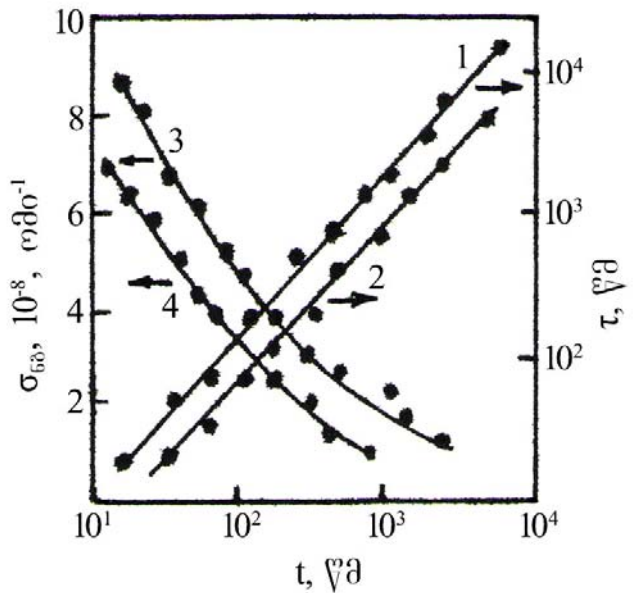
როგორც ცნობილია, ხრ-ს საფუძვლად უდევს მუხტის არაწონასწორული მატარებლების სივრცული განცალკევება მასალის არაერთგვაროვნებით გამოწვეული ელექტრული ველებით. აქედან გამომდინარე, ბუნებრივია, რომ რეკომბინაცია დაკავშირებულია პოტენციური E_p ბარიერის გადალახვასთან და მუხტის არაწონასწორული მატარებლების სიცოცხლის ხანგრძლივობა გამოითვლება ფორმულით

$$\tau = \tau_0 \exp(E_p/kT) \quad (4.2)$$

ხოლო სტაციონარული კონცენტრაცია ფორმულით –

$$\Delta n = \alpha \beta J \tau \quad (4.3)$$

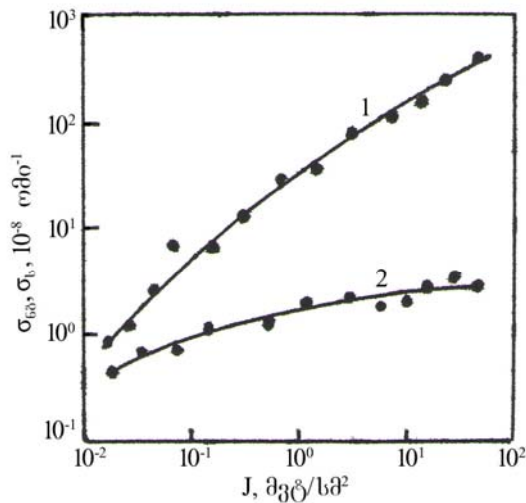
სადაც α - შთანთქმის კოეფიციენტია, β - ქვანტური გამოსავალი, J - სინათლის ინტენსივობა. ცხადია, მუხტის მატარებელთა განცალკევება იწვევს ელექტრული ველების გაჩენას, რომლებიც აკომპენსირებენ მასალის არაერთგვაროვნებებს, რის გამოც E_p Δn ზრდასთან ერთად შემცირდება. ამიტომ რელაქსაციის მყისიერი დროები უნდა იზრდებოდნენ წრფივად დროის მიხედვით [64]. რელაქსაციის მყისიერი დროები ჩვენს მიერ განსაზღვრულ იქნა რელაქსაციის მრუდების მხებების დახრის კუთხეების მეშვეობით (ნახ. 4.23).



ნახ. 4.23. რელაქსაციის (1) და ფგ-ის სტაციონარული მნიშვნელობის დადგენის (2) მახასიათებლები. ნგ-ის რელაქსაციური მრუდები $T=115$ K (3), $T=125$ K (4)

როგორც ნახაზიდან ჩანს, ამ ორი პროცესის მახასიათებელ მყისიერ დროებს გააჩნიათ ერთმანეთთან ახლოს მყოფი მნიშვნელობები. τ -ს მაღალი მნიშვნელობა ($\tau > 10^5$ წმ-ს) იწვევს იმას, რომ სინათლის წყაროს გამორთვიდან რამოდენიმე წამში ფირის გამტარებლობა პრაქტიკულად წყვეტს ცვლილებას, რჩება რა არსებითად მეტი მის ბნელურ მნიშვნელობაზე. ეს მოვლენა [7]-ში ($\sigma^* > \sigma_0$) განხილულია, როგორც ნარჩენი გამტარებლობა (ნგ) ან როგორც სპექტრალური მეხსიერება (ვინაიდან σ^* სიდიდე დამოკიდებულია გამოსხივებული ტალღის სიგრძეზე).

ნახ.4.24-ზე ნაჩვენებია $Tm_2S_3:Cd$ -ის ფირის ფგ-ისა და ნგ-ის ლუქს-ამპერული მახასიათებლები. თეორიის მიხედვით [64] განათების მცირე ინტენსივობების შემთხვევაში ფგ და ნგ წრფივად იზრდება, ხოლო დიდი განათებისას (როცა Δn მნიშვნელოვნად ცვლის E_p -ს), ფგ-ის სტაციონარული მნიშვნელობა ავლენს სუბტრფივ ხასიათს, ხოლო ნგ – მიისწრაფვის გაჯერებისაკენ.



ნახ.4.24. ფგ (1) და ნგ (2) დამოკიდებულება გამოსხივების ინტენსივობაზე 110 K დროს ($\lambda = 470$ ნმ)

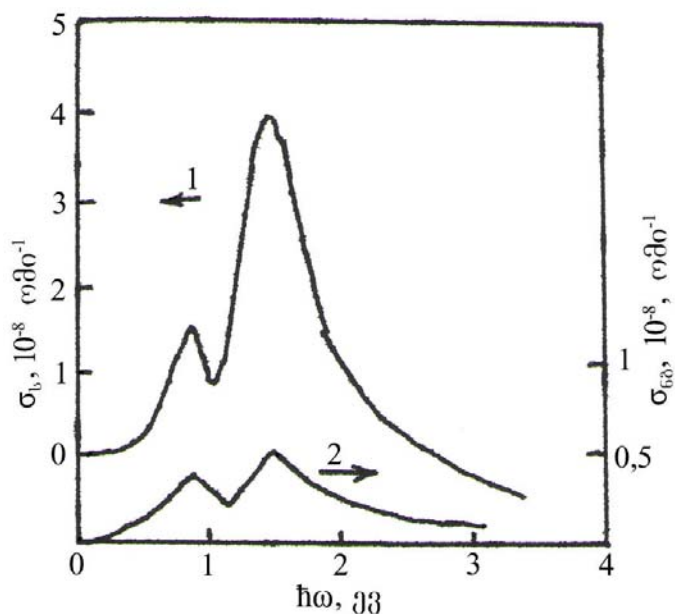
სხვადასხვა ტემპერატურებზე გაზომილი ნგ-ის რელაქსაციური მრუდების ანალიზით შესაძლებელი რელაქსაციური ბარიერის სიდიდის შეფასება

$$E_p = [T_1 T_2 k \ln \tau_1 / \tau_2] : [T_2 - T_1] \quad (4.4)$$

რელაქსაციის პროცესში ის იღებს მნიშვნელობებს 0,12–0,28 კვ. ცხადია, რომ E_p -ს ბნელური მნიშვნელობა კიდევ უფრო მაღალია.

$Tm_2S_3:Cd$ -ის ფგ და ნგ გაზომვები ჩატარდა ფოტონების ენერგიათა 0,6–6 ევ ინტერვალში 110 K ტემპერატურაზე (ნახ.4.25). ფოტოგამოძახილზე მაღალი ფონი შეიმჩნევა $\hbar\omega > 1,6$ ევ-დან. მთელს სპექტრში შეიმჩნევა ფგ-ის და ნგ-ს ერთნაირი ჯერადობა.

ფგ-ის გრძელტალდოვან კიდეს ჩვენ ვუკავშირებთ ელექტრონების გადასვლას კომპენსირებული დრმა აქცეპტორული დონეებიდან მინარეულ ზონაში. ფგ-ის პიკი 2,65 ევ-ზე, როგორც ჩანს, გამოწვეულია მუხტის მატარებელთა აღგზნებით სავალენტო ზონიდან დონორულ ზონაში. ამ გადასვლის და ფოტომგრძნობიარობის წითელი საზღვრის ენერგეტიკული მდგომარეობის ანალიზით შეფასებულ იქნა ტულიუმის ვაკანსიებით შექმნილი აქცეპტორული დონეების იონიზაციის ენერგია. ის ტოლი აღმოჩნდა $\sim 0,9$ ევ-ის.



ნახ. 4.25. ფგ-ის (1) და ნგ-ის (2) სპექტრი 120 K ტემპერატურაზე (ფგ ნირმირებულია ფოტონების ერთიდაიგივე რაოდენობაზე $J=0,065 \text{ м}^3/\text{s}^2$)

სტრუქტურა 2.95 ევ-ზე განპირობებულია ელექტრონების ზონათაშორის გადასვლებით და ენერგეტიკული მდგომარეობით კარგად ეთანხმება ოპტიკური კვლევის შედეგებს [48].

4.6. IV თავის დასპენები

ამ თავში აღწერილი იმე-ის ერთნახევრიანი სულფიდების ოპტიკური, ფოტოელექტრული და ელექტროფიზიკური თვისებების კვლევის შედეგად შეიძლება გაგაკეთოთ შემდეგი დასკვნები:

1. პირველადა შესწავლილია $\theta\text{-Tm}_2\text{S}_3$ -ის, $\gamma\text{-Pr}_2\text{S}_3$ -ისა და $\gamma\text{-Nd}_2\text{S}_3$ -ის არეავლისა და შთანთქმის სპექტრები 0,2–5,2 ევ ენერგიათა უბანში.

ნაჩვენებია, რომ $\theta\text{-Tm}_2\text{S}_3$ ფირების შთანთქმის კიდის ფორმირებაში მონაწილეობას იღებენ ელექტრონების პირდაპირი და არაპირდაპირი ზონათაშორისი გადასვლები შესაბამისად 1.2 ევ და 2.5 ევ ენერგიებზე.

$\gamma\text{-Pr}_2\text{S}_3$ -ისა და $\gamma\text{-Nd}_2\text{S}_3$ -ის ფირების შთანთქმის კოეფიციენტების სისშირული ანალიზით შეფასებულია მათი აკრძალული ზონის სიგანე – შესაბამისად 2.8 ევ და 2.9 ევ.

2. პირველად შესწავლილია θ - Tm_2S_3 -ის, γ - Pr_2S_3 -ისა და γ - Nd_2S_3 -ის კადმიუმით და ტყვიით ლეგირებული ფირების ფოტოგამტარებლობისა და ფოტო ემან-ს სპექტრალური და ტემპერატურული დამოკიდებულებები. ნაჩვენებია, რომ ფოტომგრამობიარობაში ძირითად როლ თამაშობენ აქცეპტორული დონეები, რომლებიც წარმოიქმნებიან კათიონურ ქვემესერში მათი კომპენსაციით კადმიუმის ან ტყვიის მინარევის შეყვანის დროს.

3. კადმიუმით ლეგირებულ θ - Tm_2S_3 -ის ფირებში შესწავლილია ფოტოგამტარებლობის ხანგრძლივდროიანი რელაქსაცია. შეფასებულია რელაქსაციური ბარიერის სიდიდე – 0.12-0.28 ევ. დადგენილია ტულიუმის გაკანსიით შექმნილი აქცეპტორული დონის იონიზაციის ენერგია.

V თავი

ტულიშმის, პრაზეოდიშმისა და ნეოდიშმის ერთნახევრიანი სულვიდების თხელი ფირმების ფარდობითი მექანიკური სიმტკიცე

თხელი ფირების ოპტიკური და ელექტრული თვისებებისადმი ინტერესის პარალელურად დიდია დაინტერესება მათი მექანიკური თვისებების მიმართაც.

ფირების მექანიკური თვისებების შესასწავლად აუცილებლად შესწავლილ უნდა იქნეს კვლევის შედეგების კავშირი ფირების სტრუქტურასთან. ცნობილია, რომ ფირის ადგეზიის მახასიათებლები დამოკიდებულია ფირის ზრდის საწყის ეტაპზე მიმდინარე პროცესებზე. ამიტომ საინტერესოა ჩანასახის წარმოქმნის მექანიკური შესწავლა, რათა უკეთ იყოს გააზრებული ფირის შემდგომი ზრდის პროცესი. დანარჩენი მექანიკური თვისებები ძირითადად ფირის ზრდის შემდგომ პროცესებში განისაზღვრება – ამორფულობა, პოლიკრისტალურობა თუ მონოკრისტალურობა, რაც დიდადაა დამოკიდებული ფირის მიღების მეთოდები.

ფირების ადგეზიის შესწავლის ორი მეთოდი შეიძლება განვიხილოთ: მექანიკური და ჩანასახის წარმოქმნის.

ადგეზიის მექანიკური მეთოდის (ცხრ.5.1) შესწავლისას [67] ეს უკანასკნელი განიხილება როგორც მთელი ფირის მექანიკური თვისება, მაგრამ ფირის მოშორება ფუძეშრიდან დაკავშირებულია სუბჟექტისა და ფირის ცალკეული ატომების დაცილებასთან, აქედან გამომდინარე მიკროადგეზია შეიძლება აისხნას ცალკეული ატომების ატომურ ძალთა ჯამური მოქმედებით. შესაბამისად შესაძლოა მოიძებნოს ფუძეშრის ცალკეული ატომების ადსორბციულ ენერგიასა და ფირის საერთ ადგეზიას შორის ურთიერთკავშირი, ამავე დროს კი ცალკეული ატომების

ადსორბციის ენერგია ერთდროულად განსაზღვრავს ფუძეშრეზე კონდენსირებული ატომების ქცევას, მასზეა დამოკიდებული ის დროის ინტერვალი, რომელშიც ადსორბირებული ატომი ზედაპირიდან აორთქლდება და აკონტროლებს ჩანასახის წარმოქმნას ფუძეშრეზე.

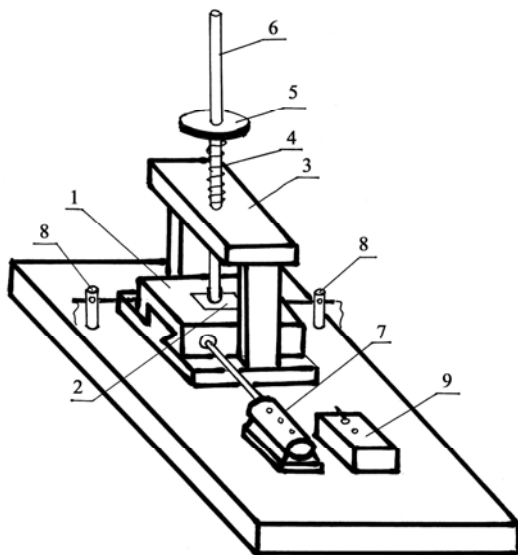
(ცხრილი 5.1.

თხელი ფირების ადგეზიის გაზომვის მექანიკური მეთოდები

მეთოდი	პრინციპი
1	2
გადალუნვა	ფუძეშრეს გადალუნავენ ფირის მოშორებამდე
შეკუმშვა	ფუძეშრეს კუმშავენ ფირის მოშორებამდე
გახეხვა	ფირს ხეხავენ მის სრულ მოშორებამდე ფუძეშრიდან
გახურება და მოშვება	გახურება შემდგომი მოშვებით შესაძლებლობას იძლევა ფირი მოშორდეს ფუძეშრეს წარმოქმნილი თერმული დაძაბულობების გამო
გაკაწვრა	ზონდით კაწრავენ ფირს. პარალელურ არხებს შორის მანძილს ამცირებენ მანამ სანამ ფირი არ მოშორდება ფუძეშრეს
დარტყმა	დარტყმით ტეხავენ ფუძეშრეს და აშორებენ ფირს
ჩაზნექვა	ფუძეშრეს ჩაზნექავენ ფირის საწინააღმდეგო მხარეს. ჩაზნექისას ფირი იბზარება და შეიძლება ის მოშორდეს ფუძეშრეს
აშრევება	ფირს მოწყვეტენ ფუძეშრისაგან სპეციალური ადგეზიური ლენტით
გადატვრითვა	ფირს ფუძეშრესთან ერთად ანიჭებენ დიდ აჩქარებას, ამ დროს ადგილი აქვს გადატვირთვებს რაც იწვევს ფირის აძრობას
ამობერვის გაჩენა	ფირს აფენენ ფუძეშრეზე ისე, რომ გარკვეულ უბნებზე ადგილი არ ჰქონდეს ადგეზიას, შემდეგ ამ უბნებში შეყავთ პაერი და ზომავენ იმ წევას, რომლის დროსაც ადგილი აქვს ფირის აძრობას

ადსორბციის ენერგიის სიდიდე შესაძლოა მიღებულ იქნეს ჩანასახის წარმოქმნის საწყის სტადიაზე ზრდის პროცესზე ელექტრონული მიკროსკოპული დაკვირვებით. ჩანასახის წარმოქმნის მეთოდი საკმაოდ რთული განსახორციელებელია, რადგან საჭიროებს ელექტრონული მიკროსკოპის ქვეშ კუნძულების სიმკვრივის დათვლას, რაც გულისხმობს ფუძეშრიდან კუნძულების მოცილების შესაძლებლობას მათი ერთმანეთისადმი წანაცვლების საშიშროების გარეშე.

ჩვენს ნაშრომში ადგენის შესასწავლად სამარტივისათვის შერჩეულ იქნა მექანიკური – სრული გახეხვის მეთოდი. ფირების მექანიკური სიმტკიცესა და მათი ფუძეშრეზე მიკრობადობის ხარისხზე შეიძლება ვიმსჯელოთ იმ სამუშაოს მიხედვით, რაც აუცილებელია დაიხარჯოს, რათა ფუძეშრიდან მთლიანად გადაიხეხოს მასზე დაფენილი ფირი. მეთოდის განსახორციელებლად ჩვენს მიერ აწყობილ იქნა დანადგარი (ნახ.5.1) რომელიც ანალოგიურია [68].

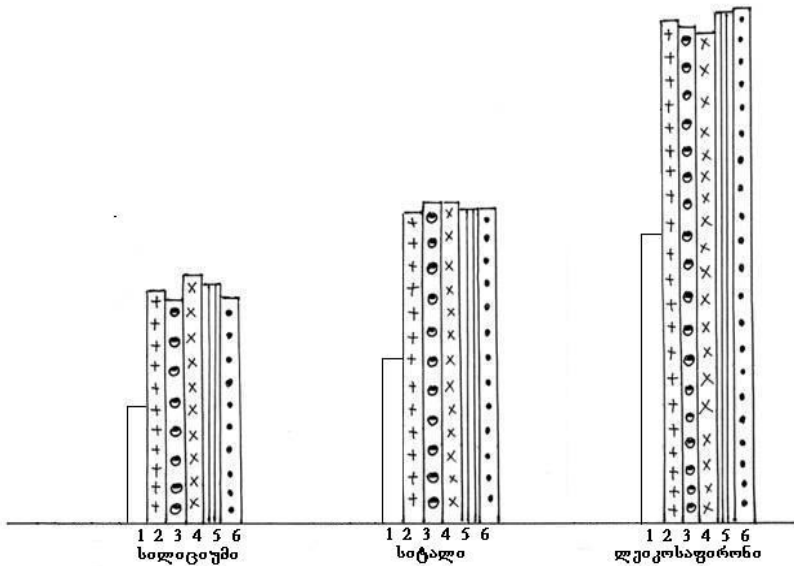


ნახ. 5.1 ფირების ფარდობითი მექანიკური სიმტკიცის გასაზომი დანადგარის სქემა

მასიური ფილა (1), რომელზეც მაგრდება საკვლევი ნიმუში (2) ელექტრომოტორით (7), ნელა მოძრაობს წინ და უკან. ფილის შუა ნაწილში II-ს მაგვარ (3) სადგარში გადაადგილდება (6) ღერო, რომლის ქვედა

ნაწილზე დამაგრებულია ფირზე მოხახუნე ხელსაწყოს მუშა უბანი, ხოლო ზედაზე (5) დისკი, რომელზეც თავსდება საჭირო წონის ტვირთი. დისკსა და სადგარს შორის ჩამაგრებულია ზამბარა (4), რომელიც ისეა შერჩეული, რომ დერო ეხება ფირის ზედაპირს, მაგრამ არ აწვება მას. (8) ელექტროსაცეცებია, რომელთანაც შეხებისას ფილა იცვლის მიძრაობის მიმართულებას. (9) ყუთში ჩამონტაჟებულია ხელსაწყოს ელექტრული კვების სქემა. (6) ღერძის ქვედა ბოლოზე დამაგრებულია ზამშის რამოდენიმე ფენა სისქით არაუმეტეს 1 მმ. ზამშის ფენა ასრულებს წამშლელი ფენის როლს, რომელსაც პურიოდულად, რამოდენიმე გასმის შემდეგ წაესმება სპეციალური პასტა. დატვირთვა ღეროზე შეირჩევა ისე, რომ არამტკიცე ფირიც კი წაიშლება რამოდენიმე ათეული გასმის შემდეგ, რადგან გასმის ძალიან დიდი რიცხვის შემთხვევაში, გაზომვის ცდომილება ცხადია მცირდება.

ფირის სიმტკიცე ხელსაწყოს მოხახუნე ზედაპირზე გასმათა რიცხვის დათვლით იზომება. ეს ფირის სრული წაშლისთვისაა საჭირო. იმის გამო, რომ ამ მეთოდში მთავარ როლს ფირის სისქე თამაშობს, ყველა ჩვენს მიერ გამოკვლეული ფირი ერთიდაიგივე სისქისაა 0.8 მკმ.



1. TmSb 3 - DyS 5 - θ - Tm₂S₃
2 - γ - Pr₂S₃ 4 - θ - Yb₂S₃ 6 - γ - Nd₂S₃

ნახ.5.2. სილიციუმის, სიტალისა და ლეიკოსაფირონის ფუძეშრეზე
მიღებული ზოგიერთი იმუნიტატურული დევის ანთიმონიდებისა და სულფიდების თხელი
ფირების ფარდობითი მექანიკური სიმტკიცე.

ნახ.5.2-ზე ნაჩვენებია სილიციუმის, სიტალის და ლეიკოსაფირონის ფუძეშრეებზე მიღებული ზოგიერთი იმუს ანთიმონიდისა და სულფიდების თხელი ფირების ფარდობითი მექანიკური სიმტკიცის ამსახველი დიაგრამა. ფირების სისქე 0.8 მკმ, ხოლო დატვირთვა დეროზე 0.5 კგ. შესამჩნევია, რომ მიუხედავად დაფენილი მასალისა, დაბალი ფარდობითი მექანიკური სიმტკიცით გამოირჩევა სილიციუმის ფუძეშრეებზე დაფენილი ფირები. ყველაზე მაღალი მექანიკური სიმტკიცით კი გამოირჩევა ლეიკოსაფირონი, რაც შესაძლოა განპირობებულია ფირების მასალების სითბური გაფართოების კოეფიციენტის მიახლოებით ფუძეშრეების მასალების სგკ-თან (ცხრ.5.1).

ცხრილი 5.2.

**ზოგიერთი იშვიათმიწა ელემენტის სულფიდების ფუძეშრის მასალის
(სილიციუმი, სიტალი, ლეიკოსაფირონი) სითბური გაფართოების
კოეფიციენტები)**

შენაერთი	სითბური გაფართოების კოეფიციენტი, $\alpha \cdot 10^6$, გრად ⁻¹	საშუალო მნიშვნელობა ტემპერატურათა ინტერვალისათვ ის, K	ლიტერატუ რა
1	2	3	4
LaS	11,62	300-1350	[69]
CeS	12,37	"	"
PrS	14,3	"	"
NdS	15,35	"	"
EuS	14,2	"	[70]
Tm ₂ S ₃	9,8	"	[69]
Ce ₂ S ₃	13,2	"	"
Pr ₂ S ₃	12,09	"	"
Nd ₂ S ₃	12,9	"	"
Sm ₂ S ₃	11,8	300-800	[71]
სილიციუმი	2,54-4,75	300-1050	[72]
სიტალი	4-6	298-573	[73]
ლეიკოსაფირო ნი	7-10	298-573	"

მაშასადამე, ტულიუმისა და ნეოდიუმის ერთნახევრიან სულფიდების თხელი ფირების ფარდობითი მექანიკური სიმტკიცის წრფივად ზრდა განპირობებულია ფირების მომზადების პროცესში ფუძეშრის ტემპერატურის ზრდით. ყველა შესწავლული ფირისთვის ეს პარამეტრი დამოკიდებულია ფუძეშრის მასალაზე და იზრდება სილიციუმი-სიტალი-ლეიკოსაფირონი მიმდევრობით.

5.1. V თავის დასპპნა

1. სრული გახეხვის მეთოდით შესწავლილია θ - Tm_2S_3 -ის, γ - Pr_2S_3 -ისა და γ - Nd_2S_3 -ის ფირების ფარდობითი მექანიკური სიმტკიცე. ნაჩვენებია, რომ ფირების მიღების პროცესში ფუძეშრის ტემპერატურეს გაზრდა იწვევს მექანიკური სიმტკიცის ზრდას. დადგენილია, რომ გამოყენებული ფუძეშრის მასალა (სილიციუმი, სიტალი, ლეიკოსაფირონი) არსებით გავლენას ახდენს დაფენილი ფირების ფარდობით მექანიკურ სიმტკიცეზე.

ნაშრომში ჩატარებული სამუშაოს შედეგები შეიძლება ჩამოვაყალიბოთ შემდეგი დასკვნების სახით:

დ ა ს პ პ ნ ბ 0

1. ჩატარებულია EYBH 75P3 და ВУП-5 მარკის ვაკუუმური დანადგარების მოდერნიზაცია კომპონენტების ორი დამოუკიდებელი წყაროდან და დისკრეტული ვაკუუმურ-თერმული აორთქლების მეთოდით იშვიათმიწა ელემენტების სულფიდებისა თხელი ფირების მისაღებად. შექმნილია ორიგინალური კონსტრუქციის ფუძეშრის გამახურებელი და კომპონენტების ამაორთქლებლები ჯოულის სითბოთი და ელექტრონულ-სხივური გახურებით.

2. პირველად დამუშავებულია θ ფორმის (კუბური სინგონია, სტრუქტურული ტიპი Tl_2O_3) Tm_2S_3 და γ ფორმის (კუბური სინგონია, სტრუქტურული ტიპი Th_3P_4) Pr_2S_3 თხელი ფირების მიღების ტექნოლოგია

კომპონენტების ორი დამოუკიდებლი წყაროდან ვაკუუმურ-თერმული აორთქლების მეთოდით და γ ფორმის Nd_2S_3 თხელი ფირის მიღების ტექნოლოგია წინასწარ სინთეზირებული შენაერთის დისკრეტული ვაკუუმურ-თერმული აორთქლების მეთოდით.

3. პირველად ჩატარებულია θ - Tm_2S_3 -ის, γ - Pr_2S_3 -ისა და γ - Nd_2S_3 -ის ფირების ლეგირება კადმიუმისა ატომებით ორთქლის ფაზიდან და ტყვის ატომებით მყარი ფაზიდან.

4. რენტგენოდიფრაქციული და ელექტრონოგრაფიული მეთოდებით ჩატარებულია მიღებული ფირების ფაზური შემადგენლობისა და მესრის კრისტალური სრულყოფის კონტროლი. გათვლილია მესრის პარამეტრის მნიშვნელობები, რენტგენული მიკროანალიზით დადგენილია ფირების ქიმიური შემადგენლობა, რომელმაც აჩვენა, რომ ისინი შეესაბამება სტექიომეტრიას. რენტგენის სხივებში შესწავლილია იმპ-ს და გოგირდის ზედაპირული განაწილება და ნაჩვენებია, რომ კომპონენტები ფირების ზედაპირზე განაწილებულია თანაბრად.

5. შესწავლილია θ - Tm_2S_3 -ის, γ - Pr_2S_3 -ისა და γ - Nd_2S_3 -ის არეკვლის, შთანთქმისა და გამჭვირვალობის სპექტრები. ნაჩვენებია, რომ θ - Tm_2S_3 ფირების შთანთქმის კიდის ფორმირებაში მონაწილეობას იღებენ ელექტრონების პირდაპირი და არაპირდაპირი ზონათაშორისი გადასვლები შესაბამისად 1.2 ევ და 2.5 ევ ენერგიებზე, γ - Pr_2S_3 -ისა და γ - Nd_2S_3 -ის შთანთქმის კოეფიციენტების სიხშირული ანალიზით შეფასებულია მათი აკრძალული ზონის სიგანე შესაბამისად არანაკლებ 2.8 ევ და არანაკლებ 2.9 ევ.

6. პირველად შესწავლილია θ - Tm_2S_3 -ის, γ - Pr_2S_3 -ისა და γ - Nd_2S_3 -ის კადმიუმით და ტყვიით ლეგირებული ფირების ფოტოგამტარებლობისა და ფოტო ემბ-ს სპექტრალური და ტემპერატურული დამოკიდებულებები. ნაჩვენებია, რომ ფოტომგრძნობიარობაში ძირითად როლ თამაშობენ აქცეპტორული დონეები, რომლებიც წარმოიქმნებიან კათიონურ ქვემესერში მათი კომპენსაციით კადმიუმია ან ტყვიის მინარევის შეყვანის დროს.

7. კადმიუმით ლეგირებულ θ - Tm_2S_3 -ის ფირებში შესწავლილია ფოტოგამტარებლობის ხანგრძლივდორიანი რელაქსაცია. შეფასებულია რელაქსაციური ბარიერის სიდიდე – 0.12-0.28 ევ, დადგენილია ტულიუმის გაკანსით შექმნილი აქცეპტორული დონის იონიზაციის ენერგია.

8. კადმიუმით ლეგირებულ θ - Tm_2S_3 -ის ფირებში შესწავლილია ფოტოგამტარებლობის ხანგრძლივდორიანი რელაქსაცია. შეფასებულია რელაქსაციური ბარიერის სიდიდე – 0.12-0.28 ევ, დადგენილია ტულიუმის გაკანსით შექმნილი აქცეპტორული დონის იონიზაციის ენერგია.

9. სრული გახევის მეთოდით შესწავლილია θ - Tm_2S_3 -ის, γ - Pr_2S_3 -ისა

და γ - Nd_2S_3 -ის ფირების ფარდობითი მექანიკური სიმტკიცე. ნაჩვენებია, რომ ფირების მიღების პროცესში ფუძეშრის ტემპერატურეს გაზრდა იწვევს მექანიკური სიმტკიცის ზრდას. დადგენილია, რომ გამოყენებული ფუძეშრის მასალა (სილიციუმი, სიტალი, ლეიკოსაფირონი) არსებით გავლენას ახდენს დაფენილი ფირების ფარდობით მექანიკურ სიმტკიცეზე და იზრდება თანმიმდევრობით სილიციუმი-სიტალი-ლეიკოსაფირონი.

სამეცნიერო ლიტერატურაში არსებული მონაცემებისა და მოცემულ ნაშრომში შესრულებული სამუშაოს შედეგების ანალიზი საშუალებას იძლევა დაისახოს იმე-ს ერთნახავრიანი სულფიდების პრაქტიკული გამოყენების პერსპექტივები. იმე-ს ერთნახევრიანი სულფიდები წარმოადგენენ დიელექტრიკებს მაღალი ოპტიკური გამჭვირვალობის უბნით. მათი ლეგირება განსაკუთრებით კადმიუმით მნიშვნელოვნად ზრდის ამ მასალების ფოტომგრამობიარობას და პერსპექტიულს ხდის მათ გამოყენებას შესაბამისი ფოტომგრამობიარე ხელსაწყოების შესაქმნელად. იმე-ს ერთნახევრიანი სულფიდები ასევე პერსპექტიული თერმოელექტრული მასალებია. ისინი ხასიათდებიან მაღალი თერმოელექტრული ეფექტურობით.

ნაშრომში მიღებული შედეგები უთუოდ ხელს შეუწყობს იმე-ის შენაერთების შესწავლას და მყარი ტანის ფიზიკის მრავალი საკითხის ახლებურ გააზრებას.

სამუშაოს ძირითადი შედეგები გამოქვეყნებულია შემდეგ პუბლიკაციებში:

1. 3. З.У. Джабуа, Т.С. Лочошвили, М.Г. Тетелошвили, К.Д. Давитадзе, Г.А. Мазмишвили, Л.Н. Глурджидзе. Приготовление тонких пленок полуторного сульфида тулия. Сообщения АН Грузии, т. 150, №1, с. 106-107, 1994.
2. A.V.Gigineishvili, Z.U.Dzhabua, K.D.Davitadze, L.N.Glurdzhidze. Optical properties of Tm_2S_3 thin films. Thin Solid Films, 261, 1995, p.248-250.
3. Z. Jabua, T. Dadiani, K. Davitadze, M. Stamateli. Mechanical strength of some rare earth sulphide and antimonide thin films. GEN, Novel Materials, p.26-30, 2006.

4. З.У.Джабуа, Т.О.Дадиани, А.В.Гигинеишвили, М.Ю.Стаматели, К.Д.Давитадзе, Г.Н.Илуридзе. Оптические и фотоэлектрические свойства нелегированных и легированных кадмием и свинцом тонких пленок полуторного сульфида неодима. ФТТ, т.48, вып.8, с.1397-1400, 2006.
5. K. Davitadze. Photoelectrical properties of cadmium- and lead-doped thulium sesquisulfide thin films. International conference “Spin electronics: Novel physical phenomenon and materials” Georgia, 2007.
6. К.Д. Давитадзе, Л.И. Лучков, З.У.Джабуа. Долговременная релаксация фотопроводимости в легированных кадмием пленках Tm_2S_3 . В печати.

ლ օ ბ յ რ ა ბ უ რ ა

1. Жузе В.П. Оптические свойства редкоземельных полупроводников.ЖВХО им. Д.И. Менделеева. 1981, т.ХХVI, №6, с.95-102
2. Миронов К.Е., Камарзин А.А., Соколов В.В., Васильева И.Г., Попова Е.Д. Сульфиды редкоземельных металлов. В кн.Редкоземельные полупроводники. Баку, ЭЛМ, 1981,с.52-92
3. Голубков А.В., Гончарев Е.В., Жузе В.П., Логинов Г.М., Сергеева В.М., Смирнов И.А. Физические свойства халькогенидов редкоземельных элементов. Л., Наука, 1973,260 с.
4. Голубков А.В., Сергеева В.М. О существовании областей гомогенности монохалькогенидов редкоземельных элементов. ЖВХО им.Д.И.Менделеева, 1981, т. .ХХVI, №6, с.45-53
5. Ярембаш Е.И., Елисеев А.А. Халькогениды редкоземельных элементов. Синтез и кристаллизация. М., Наука, 1975, с.258.
6. Елисеев А.А., Кузьмичева Г.М., Линде С.А. Синтез и рентгенографические исследования сульфидов иттербия. Труды МИТХТ им.М.В.Ломоносова, 1973, №3, вып.1, с.35-42.
7. Didchenko R., Gortsema F.P. Some electric and magnetic properties of rare earth monosulfides and nitrides. J.Phys.Chem.Solids. Pergamon press. 1963, v.24, p. 863-870.
8. Parapodits C., Suryanarayanan R. Preparation of rare earth chalkogenide thin films by the co-evaporation technique. J.Cryst.Growth., 1972, 13/14, p. 389-392.
9. Paparodits C. Preparation of rare earth chalkogenide thin films. J.Cryst.Growth., 1972, 13/14, p.106-109.
10. Suryanarayanan R., Ferre J., Briat B. Low-temperature optical absorption and magnetic circular dichroism of YbTe thin films. Phys.Rev (b), v.9, p.554-557.

11. Francillon M., Jerome A., Achard J.C., Melfait G. Pesistivitet proprietes optiques sous pression normale resistivite sous haut pression de monochalkogenures d'ytterbium divalent. *J.de Phys.*, 1970, t.31, p.709-717.
12. Guittard M., Chimie minerale-Domaines d'homogenete de type NaCl formes les monsulfures des terres rares. *Compt. rend. ac. sci. Paris*, 1995, t261, p. 2109-2114.
13. Радзиковская С.В., Марченко В.Н. Сульфиды редкоземельных металлов и актинидов. Киев. Наукова Думка, ИПМ АН УССР, 1966, с.140-145.
14. Гризик А.А., Елисеев А.А., Толстова В.А., Шмидт Е.В. Синтез и рентгенографические исследования сульфидов диспрозия. *ЖНХ*, 1992, т.17, с. 11-15.
15. Васильцев В.К., Камаргин А.А., Дорощенко Н.А. Способ приготовления полуторных сульфидов РЗЭ. Авторское свидетельство №167498, бюлл.№2, 1965.
16. Suryanarayanan R., Brun G. A compact multi-source multi-substrate evaporator for thin films studies of rare earth sulfides. *Thin Solid films*, 1976, v.35, p. 263-271.
17. Кехайов Т.Д. Приготовление тонких пленок моносульфида иттербия, диспрозия и полуторного сульфида самария, иттербия и диспрозия и исследование их некоторых физических свойств. Диссертация на соискание ученой степени кандидата физико-математических наук. Тбилиси, 1980, 192с.
18. Иванченко Л.А. Исследование некоторых оптических характеристик халькогенидов РЗЭ. Автореферат диссертации на соискание ученой степени кандидата технических наук. Киев, 1972, с.28.
19. Садовская О.А., Елисеев А.А., Павлов А.В. Получение пленок моносульфидов европия и иттербия и полуторного сульфида гадолиния. Тезисы докладов III Всесоюзной конференции по физике и химии редкоземельных полупроводников. Тезисы докладов. Тбилиси, 1983 г., с.111.
20. S. Harai, K. Suzuki, K. Shimakage, S. Nishimura, Y. Uemura, M. Mitomo. Preparation of $\text{-Pr}_2\text{S}_3$ and $\text{-Nd}_2\text{S}_3$ powders by sulfurization of Pr_6O_{11} and Nd_2O_3 powders using CS_2 gass, and their sintezing. *J.Japan Inst.Metals.* **67**, N1, (2003), p.15-21.
21. Н.В. Лугуева. Теплопроводность поликристаллов соединений A^2B^6 и сульфидов РЗЭ. Автореферат диссертации на соискание ученой степени кандидата физ.-мат. наук. Махачкала, 2006г.
22. Самсонов Т.В. Тугоплавкие соединения редкоземельных металлов с неметаллами. М., Металлургия, 1964, 244с.
23. Батиров Т.М., Верховская К.А., Карамзин А.А., Маловицкий Ю.М., Лисован В.И., Фридкин В.М. Объемный фотовольтаический эффект и фотопроводимость в сульфидах редкоземельных металлов. *ФТТ*. 1992, т.24, с.1313-1317
24. Шапшиева Н.Л., Кузьмичева Г.Л., Исканова Т.Г., Елисеев А.А. Термоэлектрические свойства сульфидов иттербия. *Изв.АН СССР. Неорг.мат.*, 1978, т.14, с.21-26.
25. Борисов С.В., Подберезская Н.В., Первухина Н.В., агариш С.А. Особенности кристаллического строения полиморфных модификаций Tm_2S_3 и близких по составу соединений. *ЖСХ*, 1998, т.39, №4, с.669-675.

26. Лугуев С.М., Лугуева Н.В., Соколов В.В. Теплопроводность с избыточным содержанием гадолиния. ФТТ, 2000, т.42, вып.6.
27. Ebisu S., Iijima Y., Iwasa T., Nagata S. Antiferromagnetic transition and electric conductivity in α -Gd₂S₃. J.Physics and Chemistry of solids, 2003, v65, N6, p.1113-1120.
28. Кричевцов Б.Б. Анизотропия линейного и квадратного по магнитному полю двупреломления света в редкоземельных полупроводниках γ -Ln₂S₃ (Ln =Dy, Pr, Gd, La). ЖЭТФ, 2001, т.119, вып.5, с.954.
29. Кертман А.В. Оптическая сульфидная керамика. СОЖ (Соросовский – Образовательный Журнал), 2000, №2, с.93-98
30. Suryanarayanan R. Valence related optical and other studies of Sm and Tm chalcogenides. Phys.Stat.Sol.(b), 1978, v.85, p.9-25.
31. Глурджидзе Л.Н., Гигинеишвили А.В., Бжалава Т.Л., Санадзе В.В. Оптические свойства тонких пленок полуторного сульфида иттербия у края фундаментального поглощения. ФТТ, 1982, т.24, с.1844-1848.
32. Жузе В.П., Калин М.Г., Сидоров К.К., Старцев Г.П., Шелых А.И. Оптические свойства и электронная структура моносульфида самария. ФТТ, 1978, т.20, с.3049-3054.
33. Гигинеишвили А.В., Кехайов Т.Д., Глурджидзе Л.Н., Санадзе В.В. Спектры отражения и прозрачности тонких пленок полуторного сульфида диспрозия. Тезисы докладов XI республиканской научно-методической конференции физиков высших учю зав. ГССР. Тбилиси, 1980, с.84
34. Henderson J.R., Muramoto, Loh E., Gruber J.B. Electronic structure of rare sesquisulphides crystals. J.Chem.Phys., 1967, v.47, p.3347-3356.
35. Henderson J.R., Muramoto, John B., Gruber J.B., Menzel R. Optical spectrum of crystals Nd₂S₃. J.Chem.Phys. 1970, v.52, p.2311-2314.
36. Марченко В.И., Сердюк В.Д. Получение и исследование свойств соединений РЗМ. Сборник трудов под редакцией Г.В.Самсона. Киев, 1975, с.38-64.
37. Kurnik S.W., Mayer C. Optical spectrum of Ce₂S₃. J.Phys. and Chem. Solids, 1964, v.25, p.15-19.
38. В.В.Слуцкая. Тонкие пленки в технике СВЧ. М., Советское радио, 1967, 456 с.
39. Рид С. Электронно-зондовый микроанализ. М., Мир, 1987, 423с.
40. Методы анализа поверхностей. Под ред. А.Зандерна, М., Мир, 1979, 240с.
41. გიგინეიშვილი ა.ვ. ზოგიერთი იშვიათმიწა შენაერთების ოპტიკური თვისებები და ზონური სტრუქტურის პარამეტრები. დისერტაცია ფიზიკა-მათემატიკის მეცნიერებათა დოქტორის სამეცნიერო ხარისხის მოსაპოვებლად. თბილისი, 1997წ, გვ.34-38.
42. Кордона М. Модуляционная спектроскопия. Пер. с английского языка под редакцией Н.А.Коплянского. М., Мир, 1972, 416 с.

43. Уханов Ю.Н. Оптические свойства полупроводников. М., Наука, 1977, 336 с.
44. Хирс Д., Паунд Г. Испарение и конденсация. Пер.с англ. М., Металлургия, 1966.
45. Холломон Д., Тарнбалл Д. Образование зародышей при фазовых превращениях. Успехи физики металлов. Пер.с англ., М., Металлургия, 1959, т.1, 304с.
46. Набока Н.М., Палатник Л.С., Шевченко В.Я. Структура и свойства тонких пленок на основе соединений РЗЭ. ЖВХО им. Д.И.Менделеева. т.XXVI, №6, 1981, с.31-39.
47. Джабуа З.У., Лочшвили Т.С., Тетелошвили М.Г., Давитадзе К.Д., Мазмишвили Г.А., Глурджидзе Л.Н. Приготовление тонких пленок полуторного сульфида туния. Сообщ.АН ГССР, 1994, т.150, с.107.
48. Gigineishvili A.V., Dzhabua Z.U., Davitadze K.D., Glurdzhidze L.N. Optical properties of Tm_2S_3 thin films. Thin Solid Films, 1995, v.261, p.148-150.
49. Кузмичева Г.М., Старина Е.И., Хлюстова С.Ю., Чернышев В.В. Кристаллическая структура $\Theta\text{-}Tm_2S_3$. Журнал неорганической химии, 1990, т.35, вып.4, С.869-873.
50. Jabua Z.U., Davitadze K.D., Dadiani T.O., Gigineishvili A.V., Stamateli M.I. Preparation, alloying, optical and photoelectric properties of Neodium sesquisulphides. GEN, 2004, N3, p.27-35.
51. Flahaut J., Guittard M., Patrie M. Les polisukfures des elements des terres rares. Bull. Soc. Chim. France. 1959, N11-12, p.1917-1920
52. Елисеев А.А., Успенская С.Н., Федоров А.А. О кристаллической структуре полуторных сульфидов РЗЭ. ЖСХ, 1972, т.13, с.77-80.
53. Жузе В.П., Камарзин А.А., Карин М.Г., Сидоркин К.К., Шелых А.Н. Оптические свойства и электронная структура сесквисульфатов редкоземельных металлов в области фундаментального поглощения. ФТТ, 1999, т.21, с.3410-3425.
54. Константинов В.Л., Скорняков Г.П., Камарзин А.А., Соколов В.В. Оптические свойства монокристаллов La_2S_3 . Изд. АН СССР, Неорг.мат., 1978, т.14, с.843-851.
55. Глурджидзе Л.Н., Кехайов Т.Д., Бжалава Т.Л., Джабуа З.У., Санадзе В.В. Оптические свойства тонких пленок полуторного сульфида свинция. ФТТ, 1979, т.21, №11, с.3496-3499.
56. Glurdjidze L.N., Kechaiov T.D., Gzirishvili D.G., Bzalava T.L., Sanadze V.V. Phys.Stat.Sol. (Russ), 1980, 22, 3, p.660.
57. Gzirishvili D.G., Tsivtsivadze D.M., Sanadze V.V., Glurdjidze L.N. Bull.Acad.Sci.Georgia, 1981, 104, 1, p.37.
58. Biub R. Fotoconductivity of status solidi (IL, Moscow, 1962).
59. Glurdjidze L.N., Gzirishvili D.G., Koshoridze S.I., Jabua Z.U., Sanadze V.V. Phys.Stat.Sol.(Russ.), 1982, 24, 5, p.1403.

60. Jabua Z.U., Dadiani T.O., Gigineishvili A.V., Stamateli M.I., Davitadze K.D., Iluridze G.N. Phys.Stat.Sol. (Russ.), 2006, 48, 6, p.1397.

61. Смирнов Н.А. Редкоземельные полупроводники – перспективные развития и применение. Журнал Всесоюзного химического общества им.Д.И.Менделеева, 1981, т.26, №6, с.602-611.

62. Жузе В.П., Камарзин А.А., Соколов В.В., Моловицкая Ю.Н., Бульченко В.П., Смирнов И.А., Шелых А.Н. Пьезоэлектрический эффект в Ln_2S_3 . Письма в ЖЭТФ. 1980, т.6, №23, с.1431-1432.

63. Джабуа З.У., Глурджидзе Л.Н., Дадиани Т.О., Санадзе В.В. Легирование тонких пленок полуторного сульфида кадмием. Сообщения АН ГССР, 1981, Т.104, №3, с.669-671.

64. Шенкман Ъ.К., Шик А.Я. Долговременные релаксации и щеффеочная проводимость в полупроводниках. Физика и технология полупроводников, 1976, т.10, №2, с.209-2033.

65. Физические свойства чфлькогенидов редкоземельных элементов. Наука, Л. (1973).

66. Глурджидзе Л.Н., Пзиришвили Д.Г., Вжфбуа З.У., Санадзе В.В. ФЕЕ, 25, 3, С.935 (1983).

67. Кембелл Д. Механические свойства тонких пленок. В кн.: Технология тонких пленок. т.2, М., «Советское радио», 1977, с.255-261.

68. Синельников К.Д., Шкляровская Н.Н. Зависимость механической прочности алюминевых покрытий от температуры стекло-подложки. Труды физического отделения физико-математического факультета Харьковского Государственного Университета им. А.М.Горького, 1950, т.2, с.9-15.

69. Марченко В.Н., Самсонов Г.В. Тепловое расширение некоторых сульфидов РЗМ. ФТТ, 1963, т.15, с.631-635.

70. Лашкарев Т.В., Дудкин Е.М., Падерно Ю.Б. Сб.:Химическая связь в полупроводниках и термодинамика. Минск, Наука и Техника, 1966, с.281-302.

71. Тауц Я. Оптические свойства полупроводников. М., Наука, 1977, с.366.

72. Новикова С.И. Тепловое расширение твердых тел. М., Наука, 1974, с.158,

73. Технология тонких пленок. т.1. Под Редакцией Л.Майселла, Р.Гленга. Перевод с английского под редакцией М.И.Елинсона, Г.Г.Смолка, М., Сов.радио, 1977, с.37-49.

74. Логинов Г.М., Сергеева В.М., Брыжина М.Ф. Антиферромагнетизм моносульфидов Gd, Dy и Er, ЖЭТФ, 1996, т.59, с.1948-1951.

75. Bader S.D., Phillips N.E., Machan D.B. Heat capacity and receptivity of metallic SmS at high pressure. Phys. rev. B., 1973, v.7, p.4686-4689.

76. Brixner L.H. Structure and electrical properties of some new rare earth arsenides, antimonides and tellurides. J.Inorg.Nucl.Chem., 2000, v.15, p.199-201.

77. Flahaut J., Domange L., Guittard M., Lories J. Les sulfures d'ytterbium. Bull Societe

Chim. France, 1962, t. 241, p. 102-105.

78. Eatough N. L., Webb W. A., Hall H. T. High pressure, Th_3P_4 type polymorphs of rare earth sesquichalcogenides. J. Inorg. Nucl. Chem. 1969. v. 8. p. 2069-2071.